

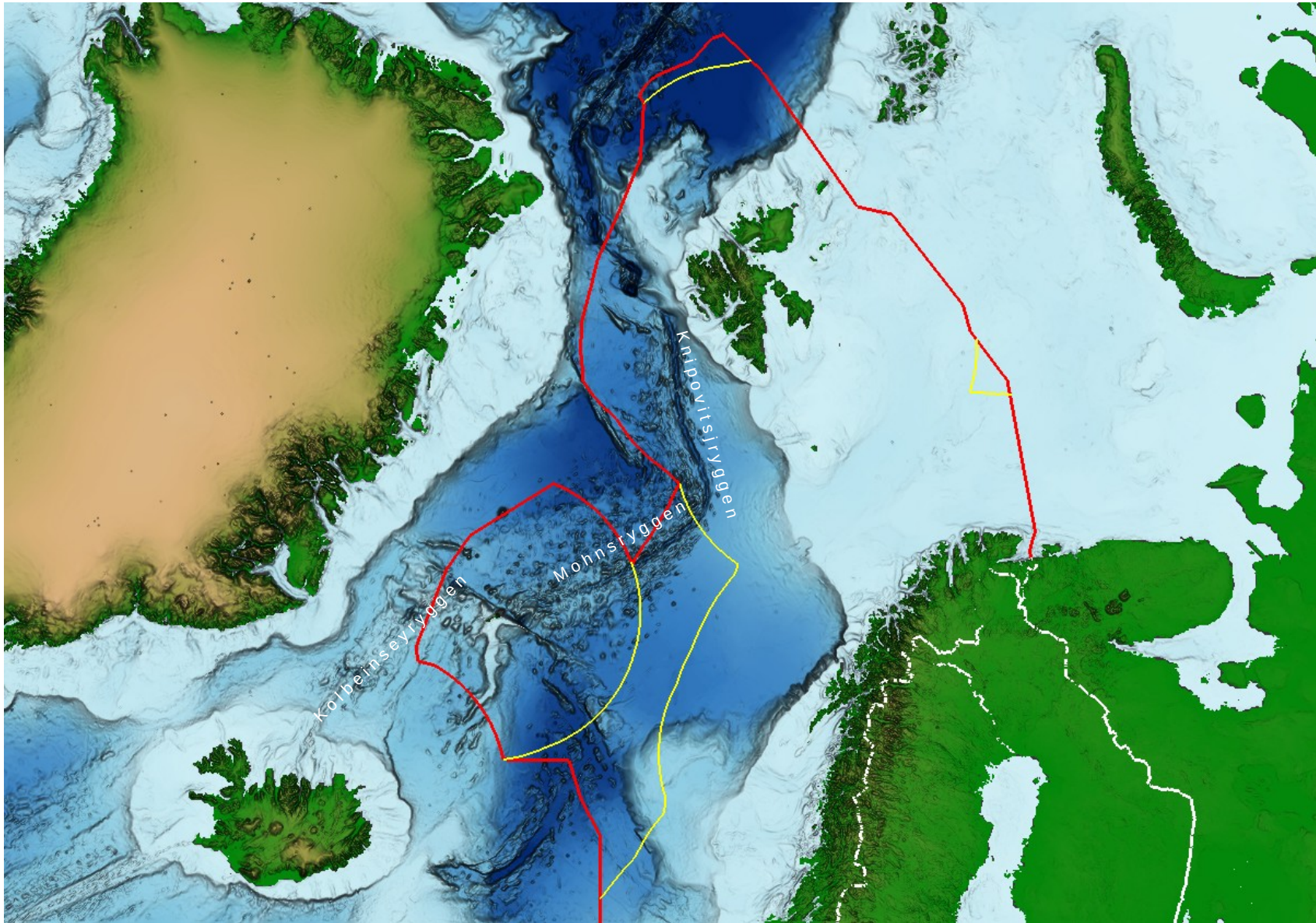


Geologiske modeller, betydning for ressursevaluering

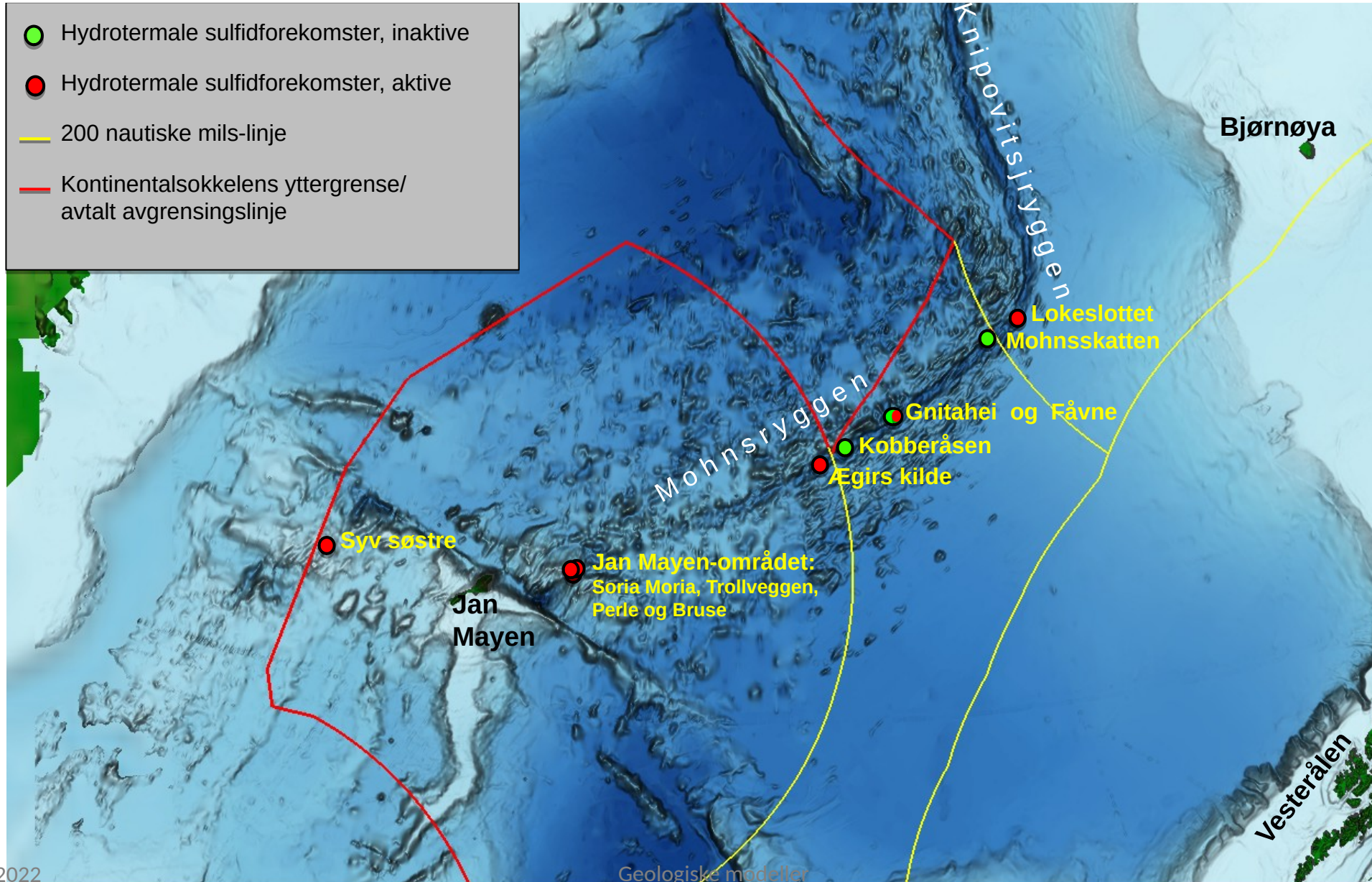


Harald Brekke, Oljedirektoratet, 2 juni 2022

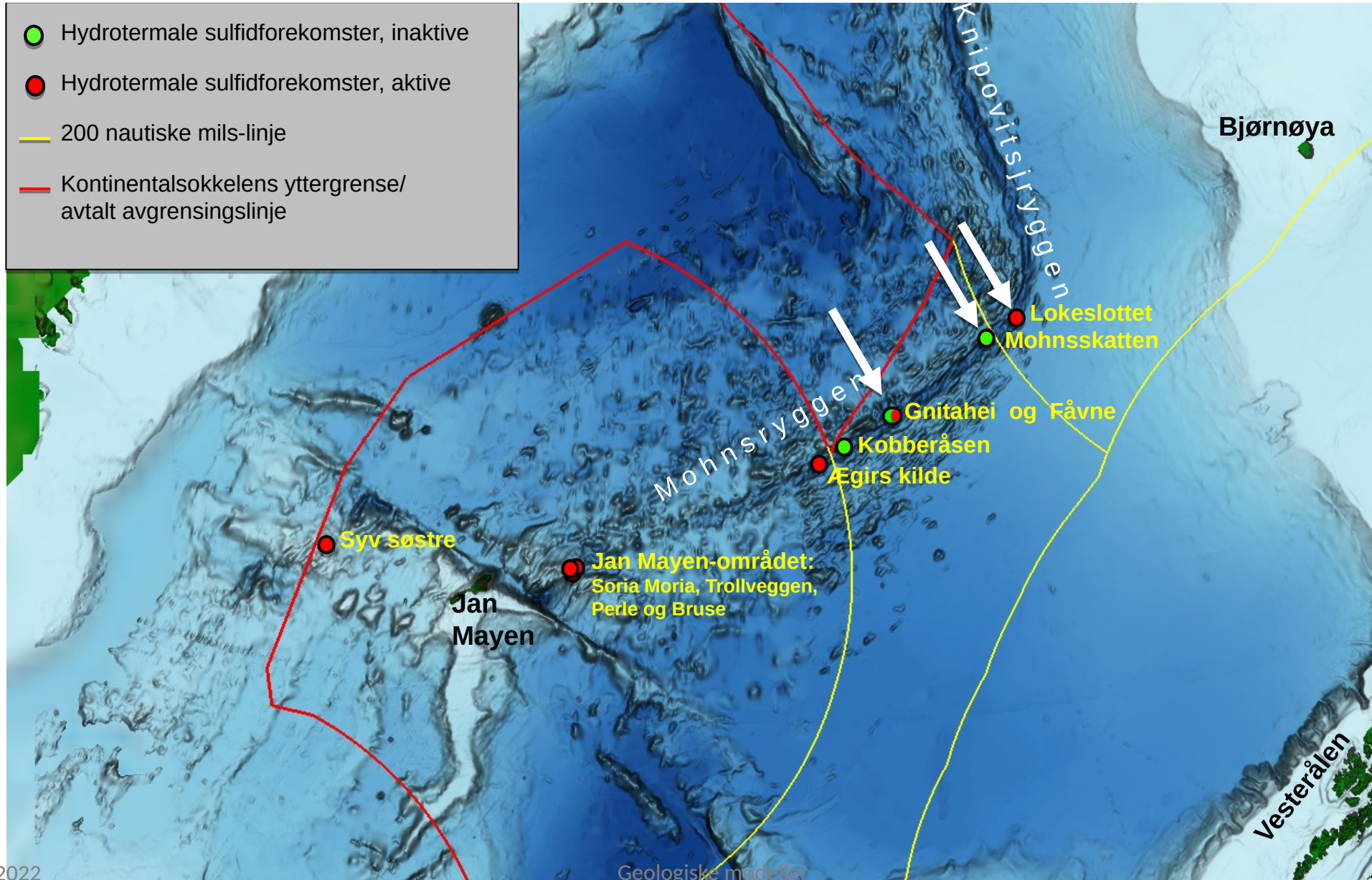
Spredningsrygger på norsk kontinentsokkel



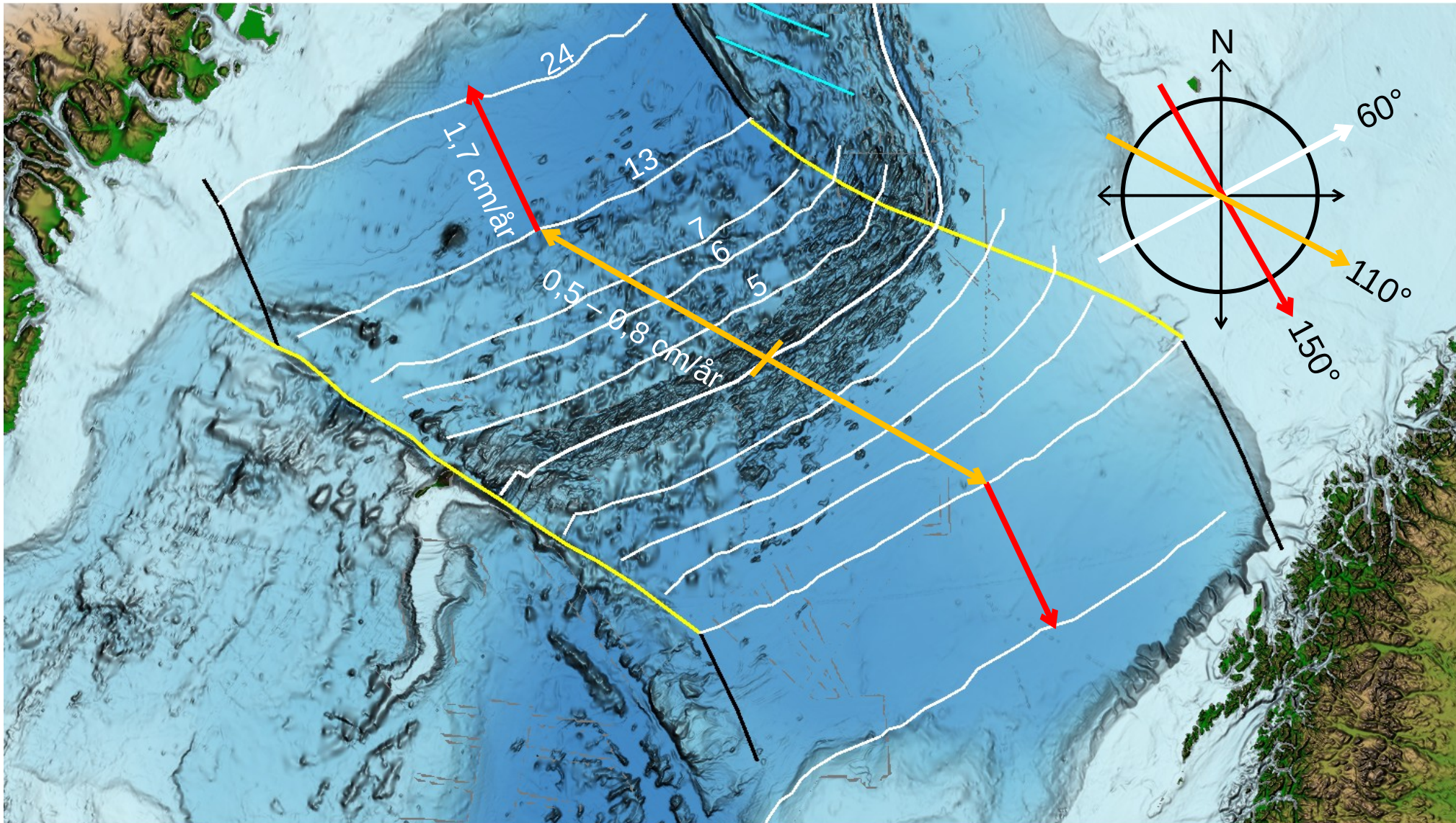
Kjente hydrotermalforekomster på norsk sokkel



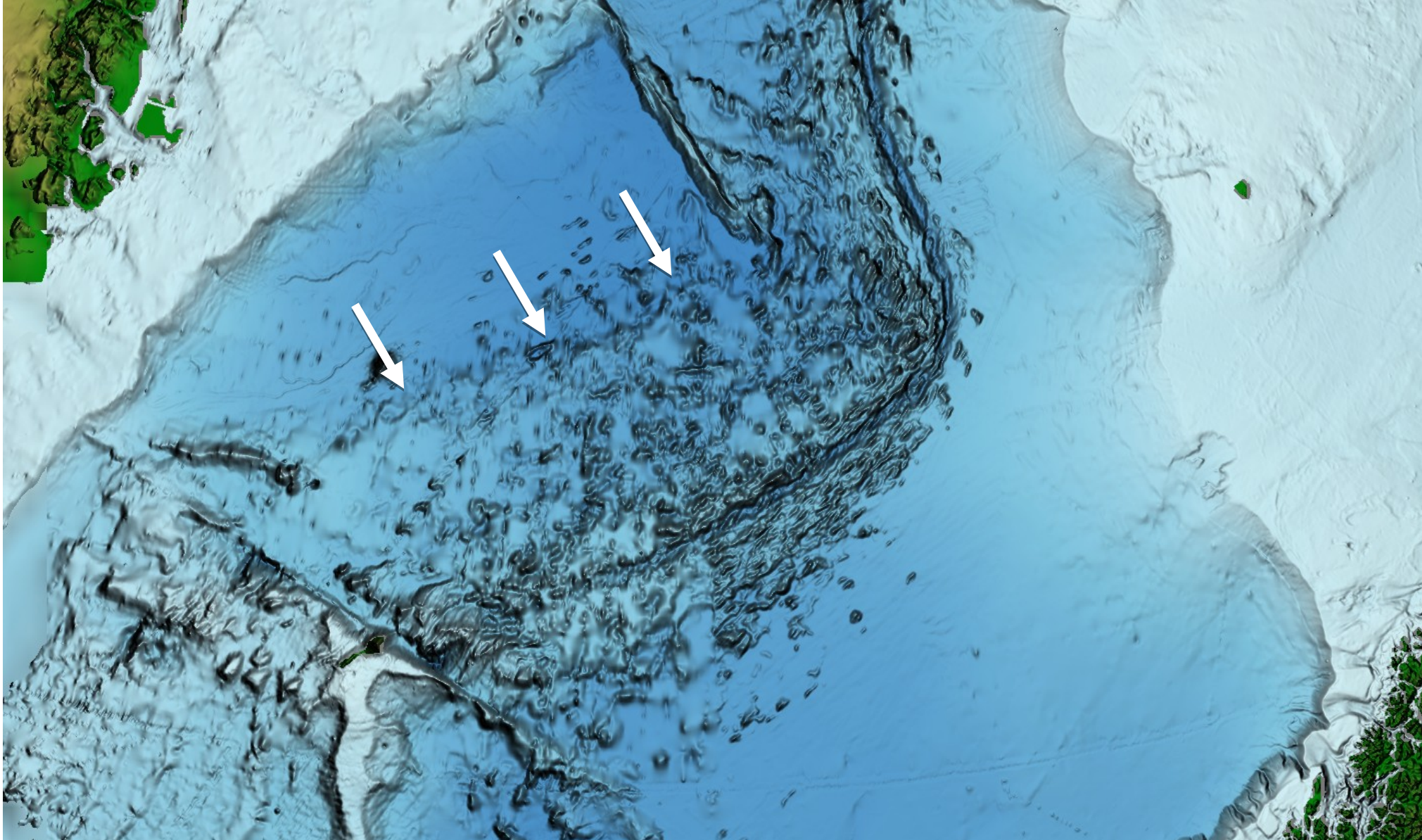
Kjente hydrotermalforekomster på norsk sokkel



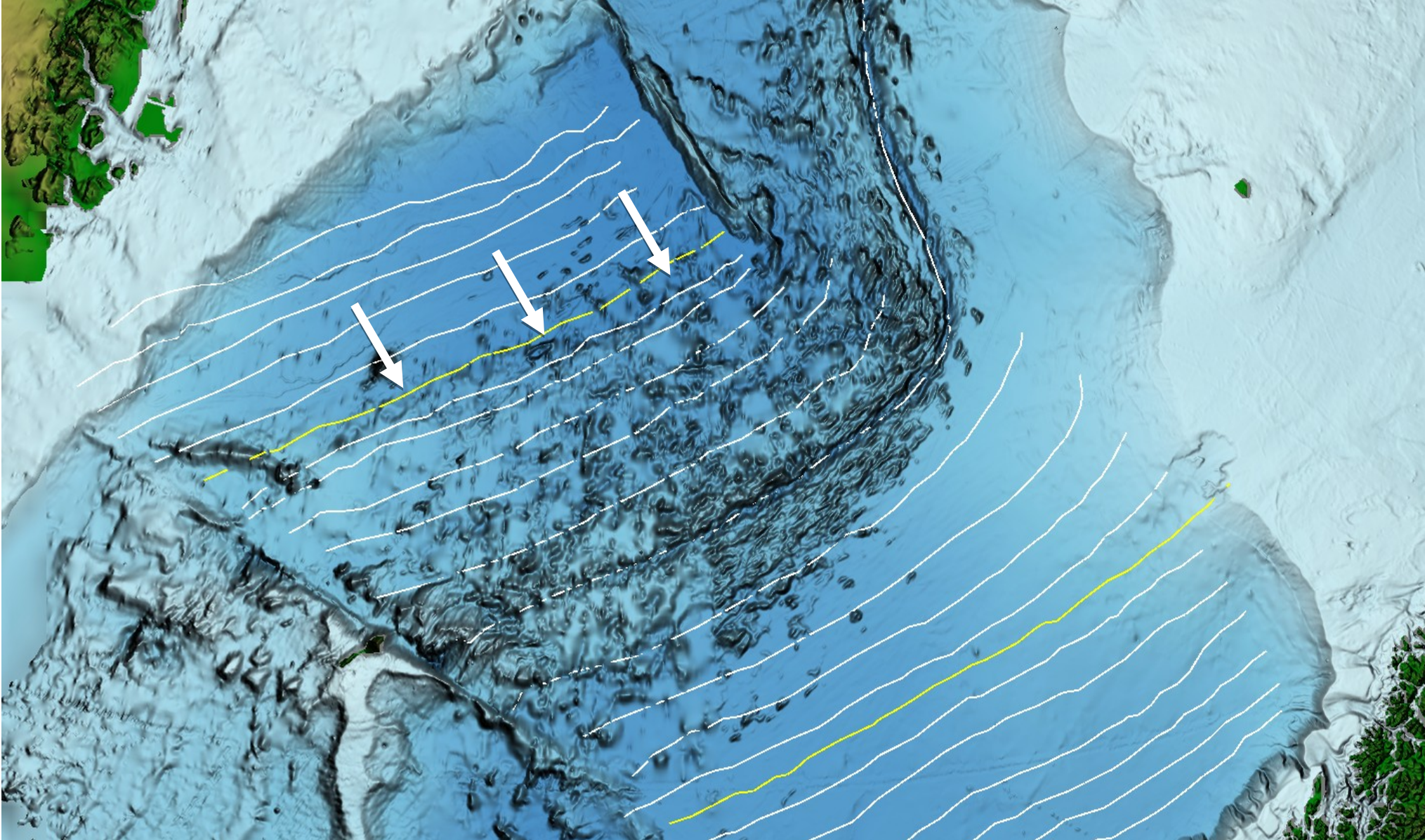
Spredningsretninger og hastigheter



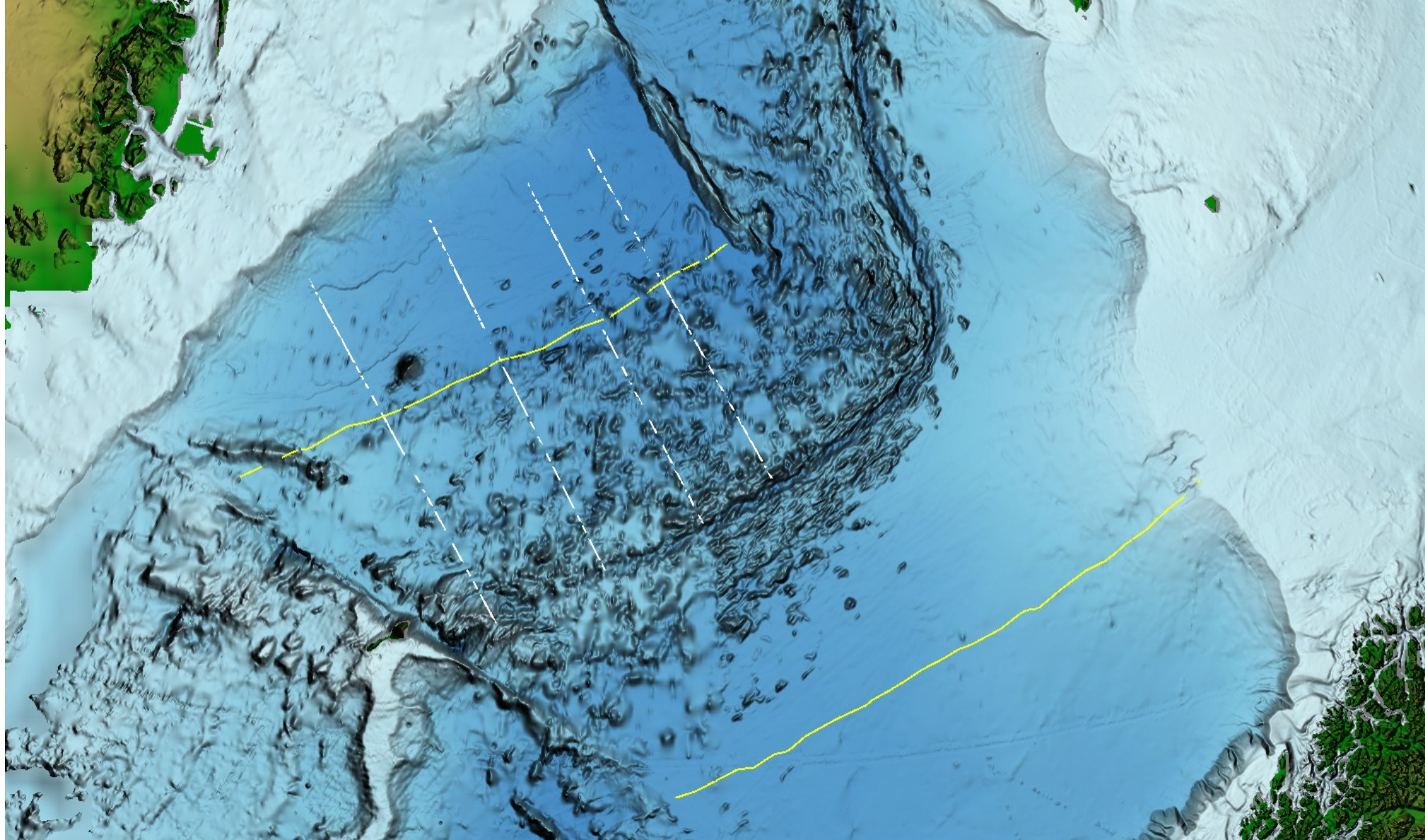
Havbunnstopografi og spredningshastighet



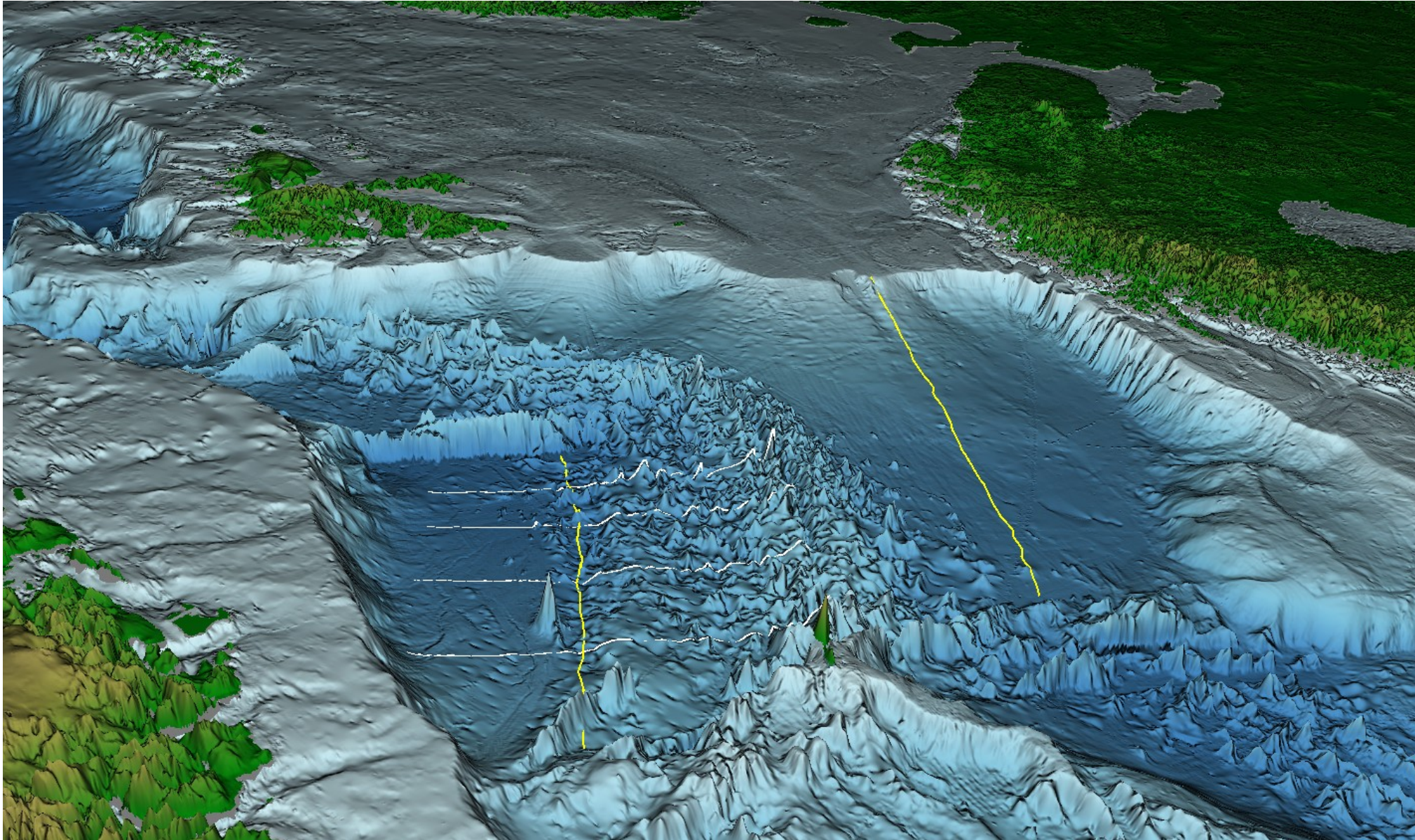
Havbunnstopografi og spredningshastighet



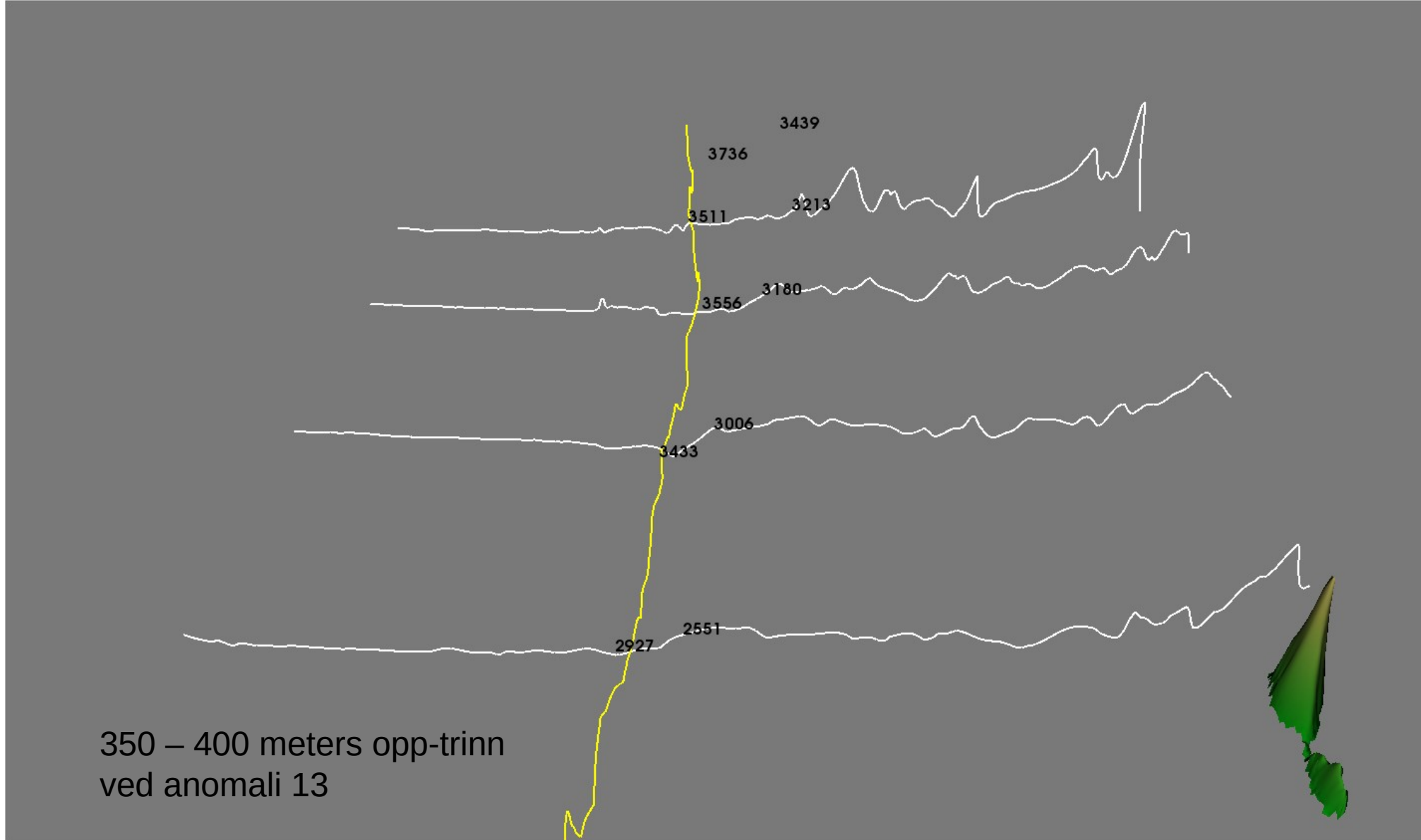
Endring av havbunnstopografi ved anomali 13



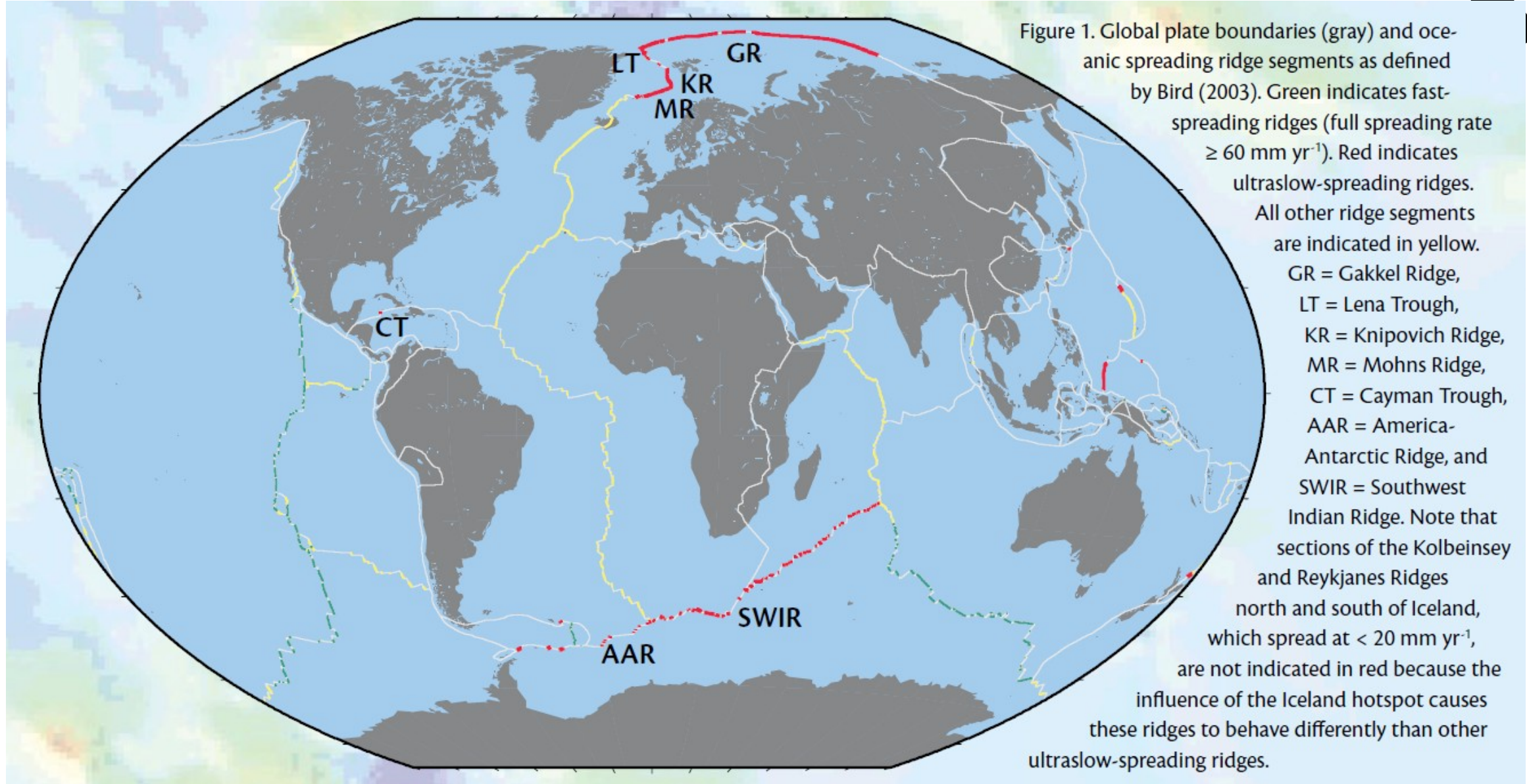
Endring av havbunnstopografi ved anomali 13



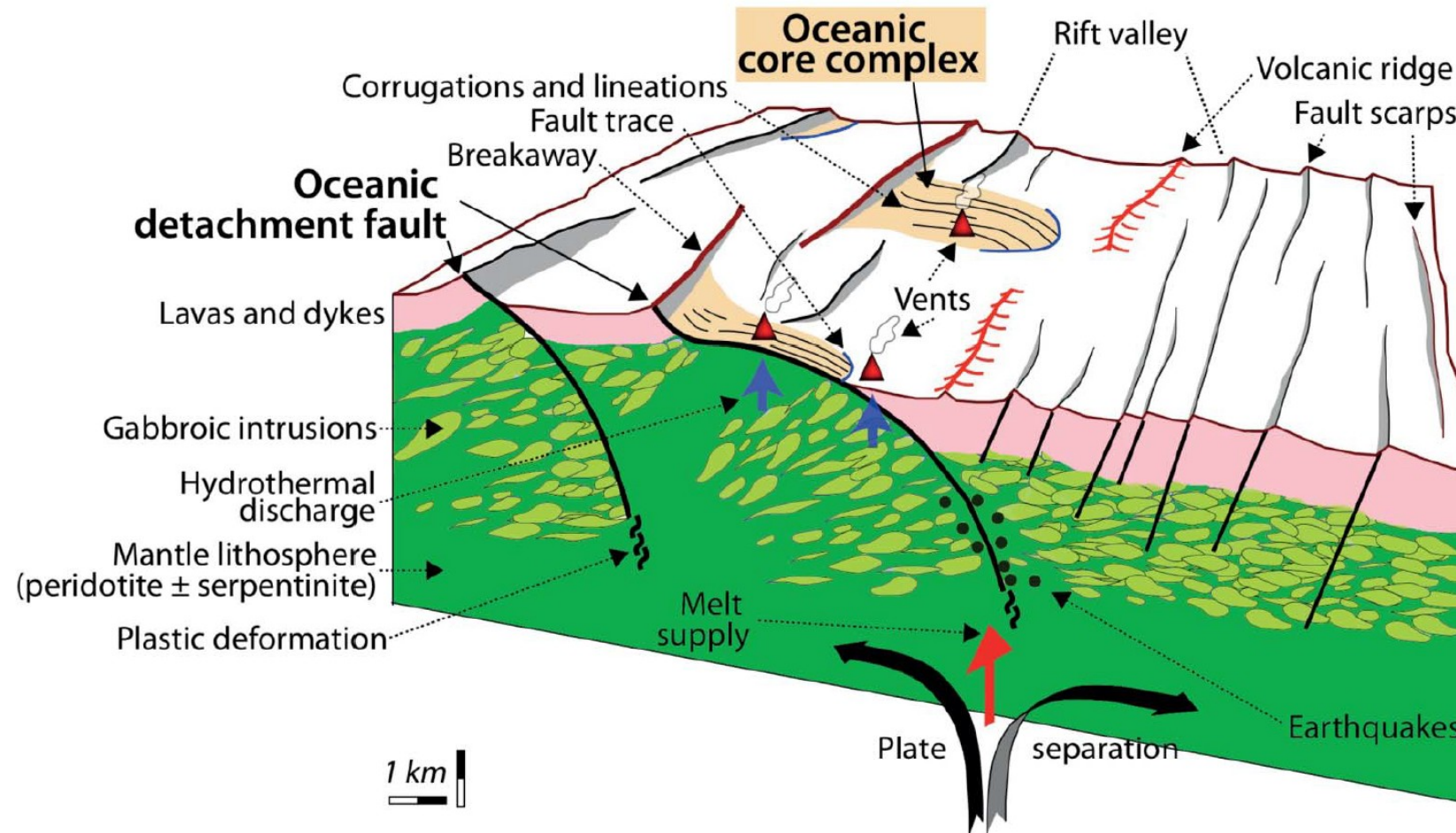
Endring av havbunnstopografi ved anomali 13



Midt-oseanske spredningshastigheter, globalt

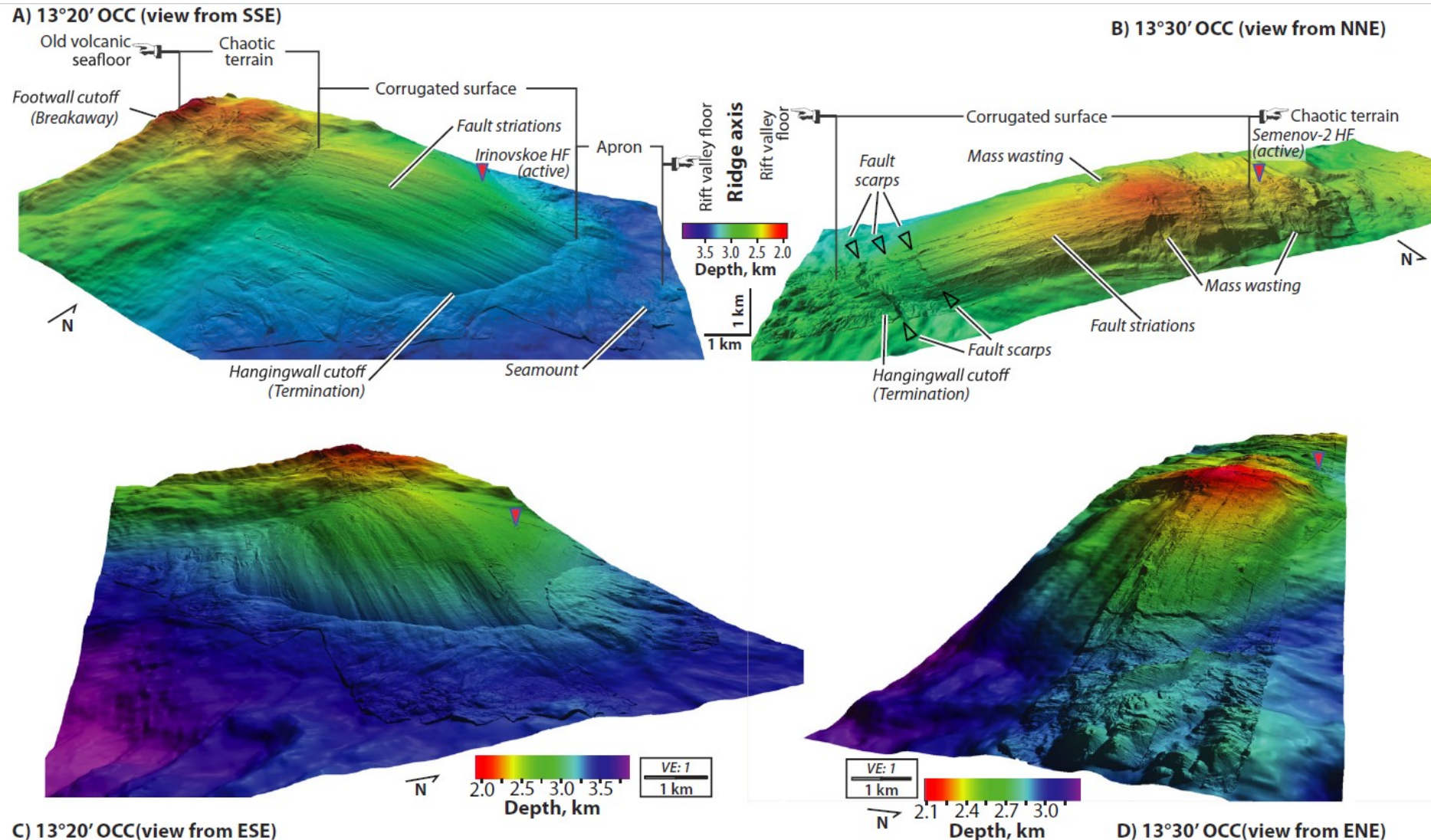


Ultra-sakte plate-spredning – “Chapman Model”

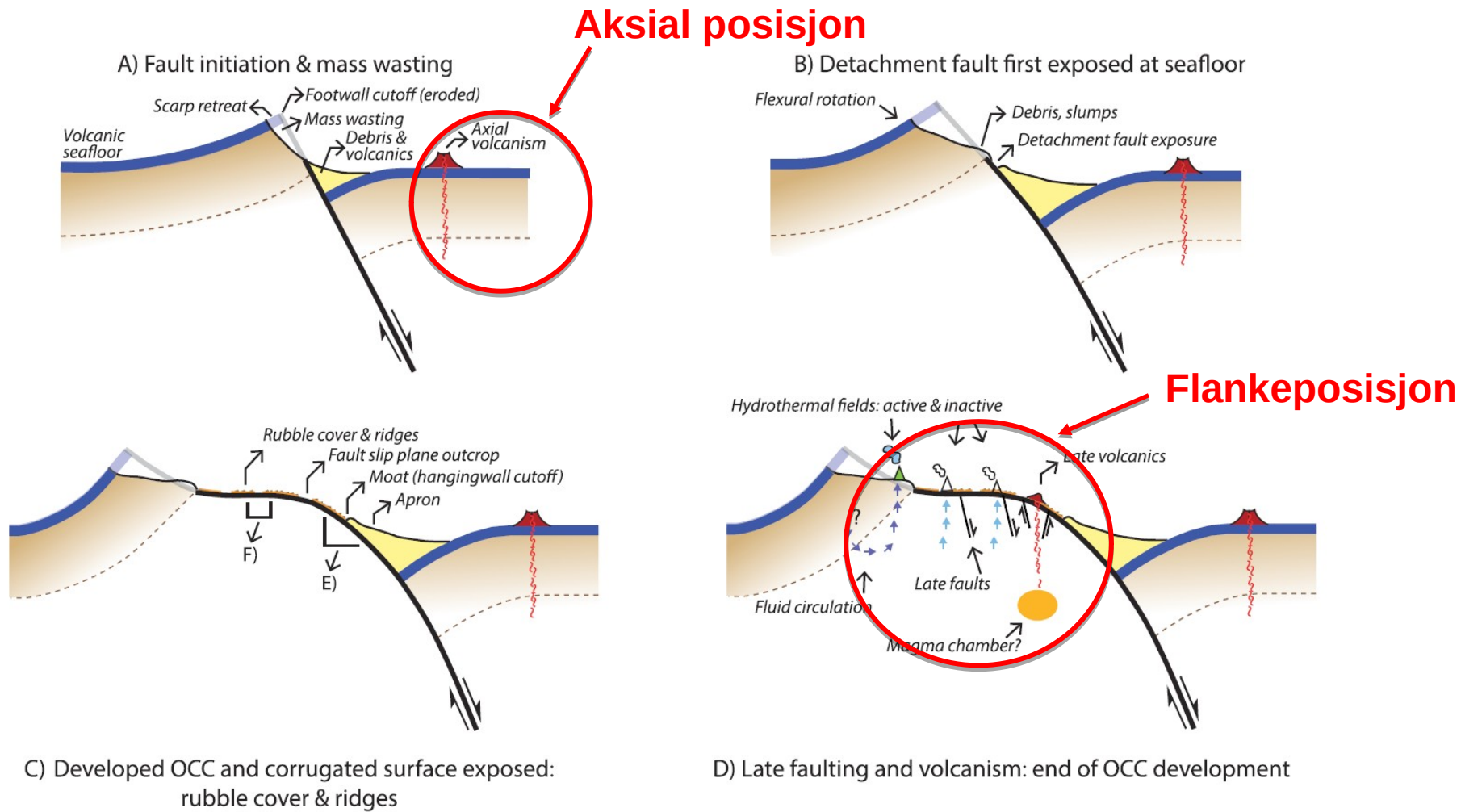


Maffione et al., 2013

Kjernekomplekser fra Den midt-atlantiske rygg

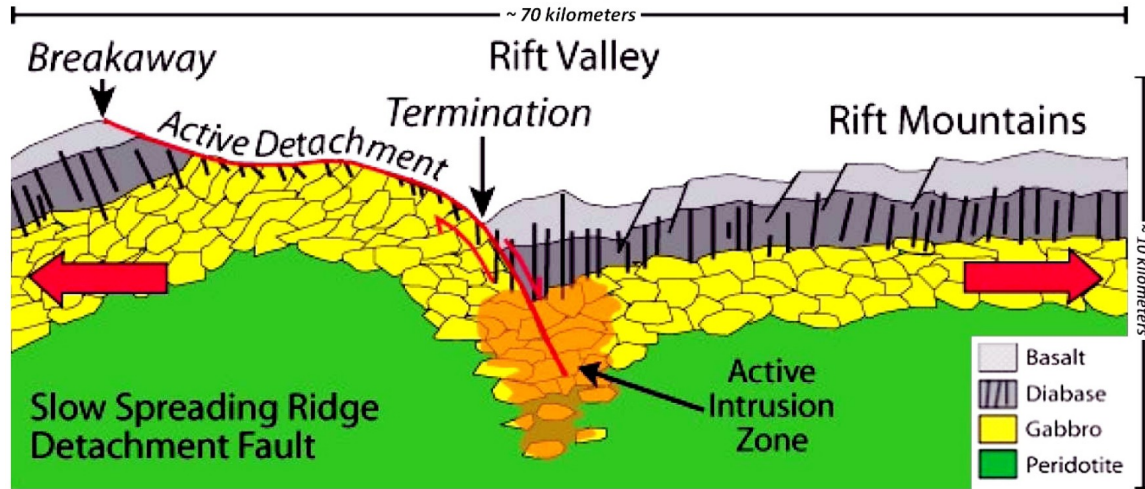


Tektoniske forhold rundt hydrothermal aktivitet

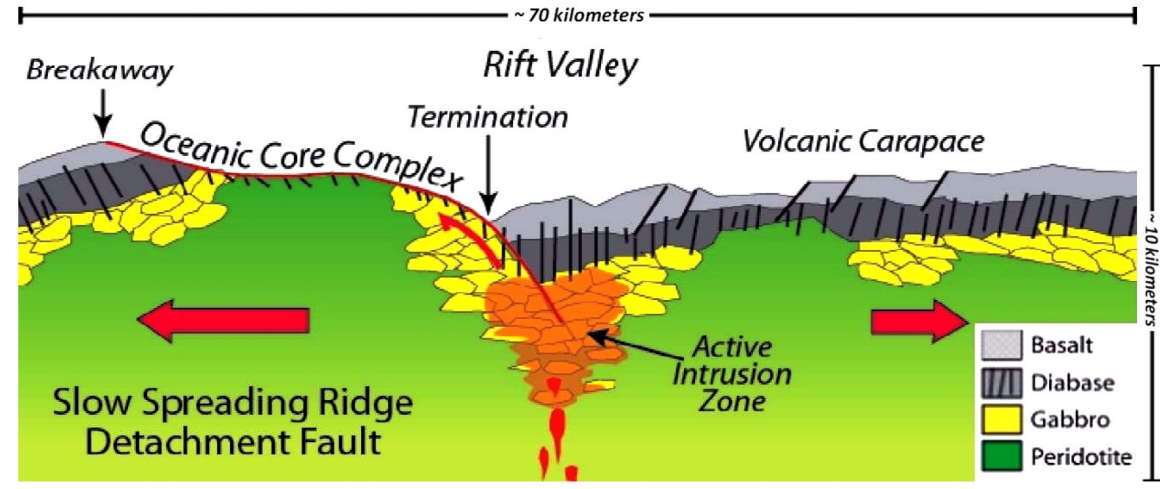


Escartin et al., 2017

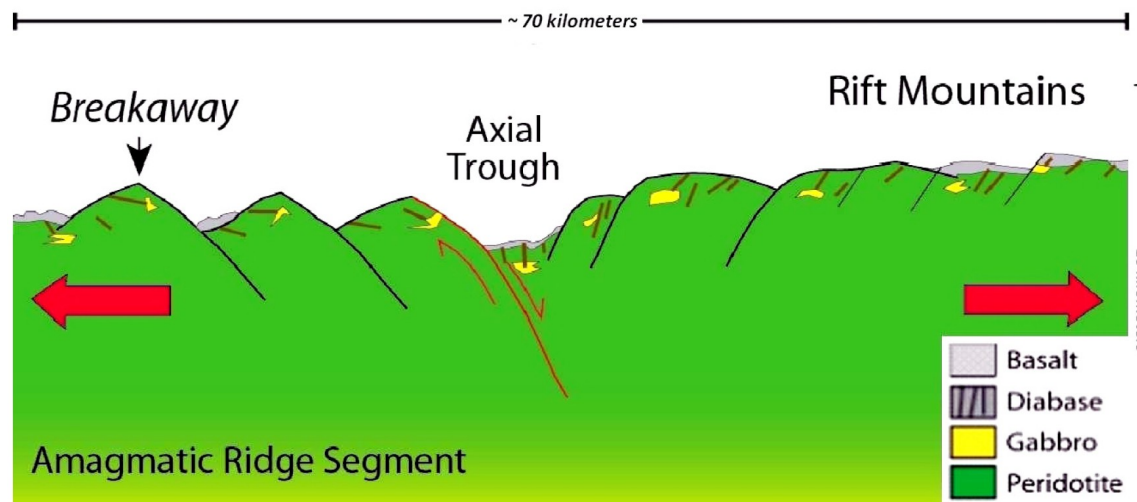
Sakte spredning og magmafluks



Høy magmafluks



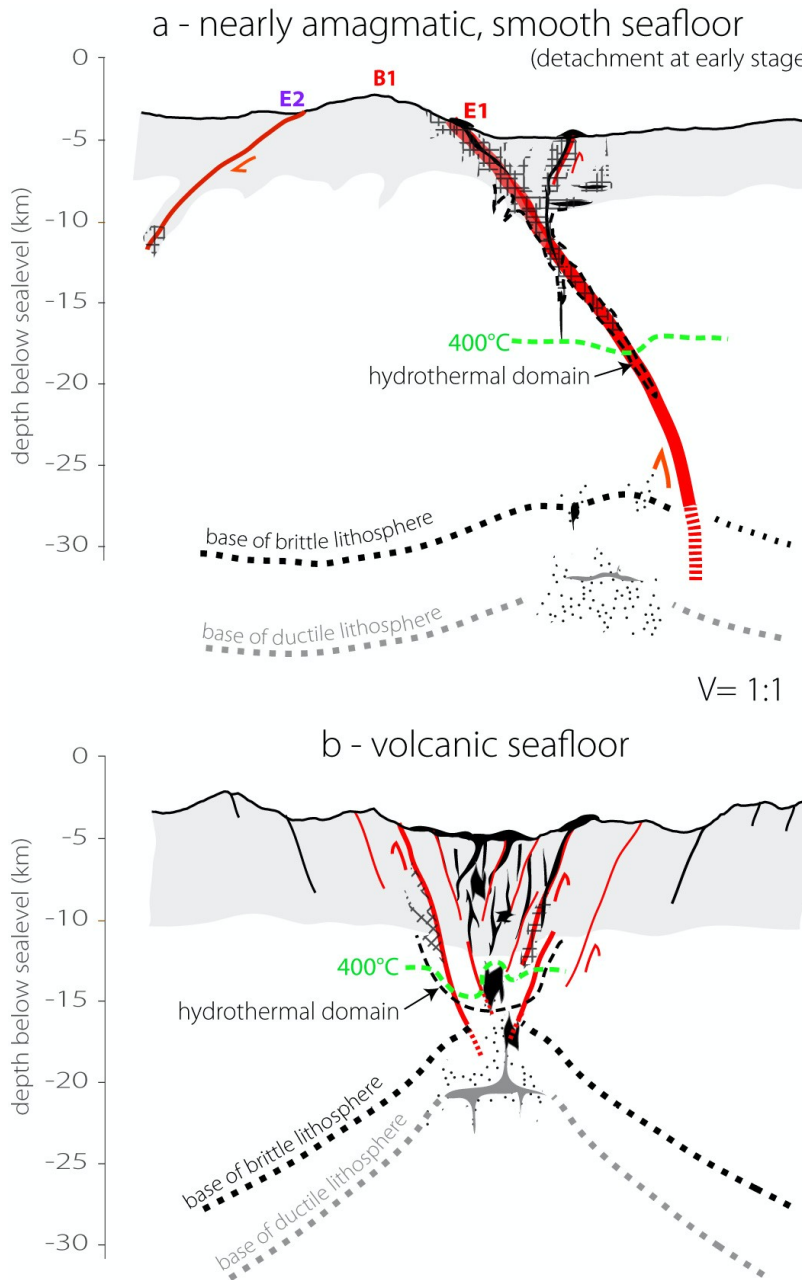
Intermediær magmafluks



Lav magmafluks

Henry J. B. Dick et al. 2019

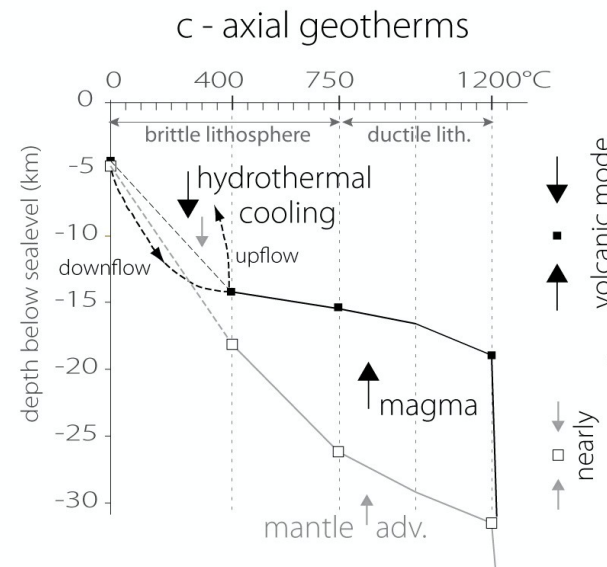
Ultrasakte platespredning - amagmatisk vs magmatisk tektonikk



composite crust (variable proportions of magmatic intrusions and serpentized peridotites)

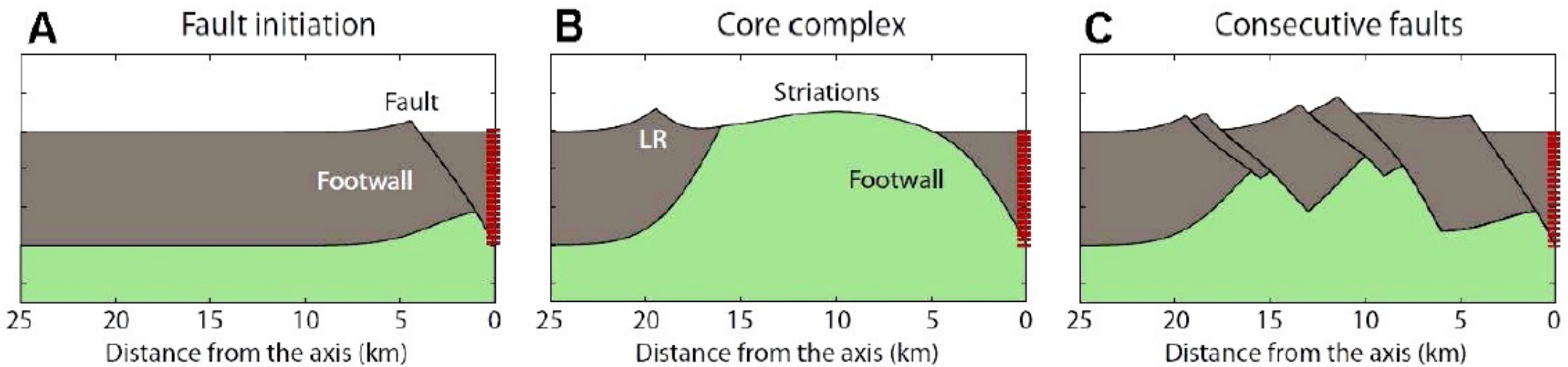
active faults and fault zones

active ductile to semi-brittle shear zones



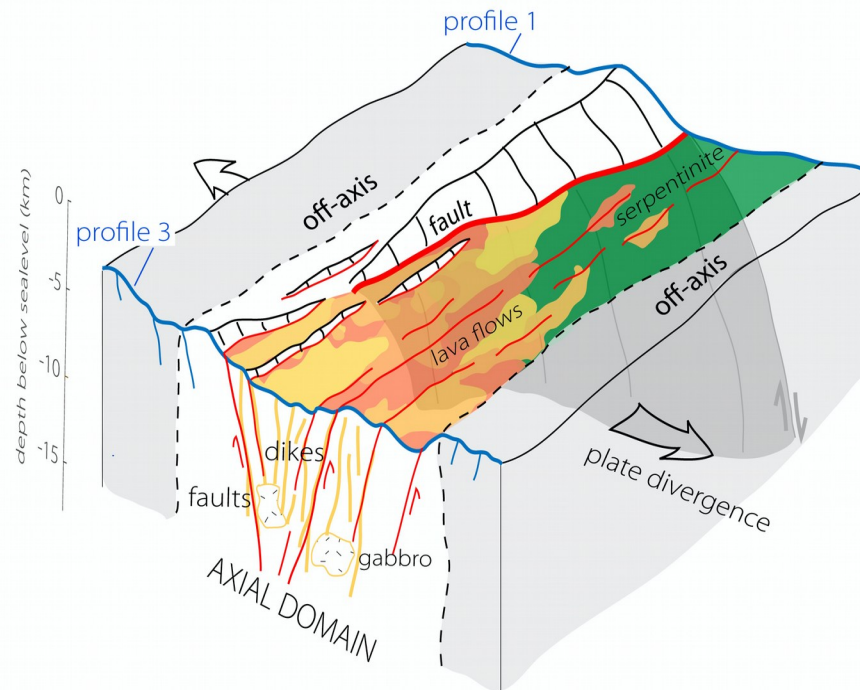
- recent lava flows and recent magmatic intrusions in axial lithosphere
- recent serpentinization
- recent melt infiltration and melt-mantle reaction zones in deep lithosphere
- melt pooled near base of axial lithosphere

Ekstensjon ved platespredning

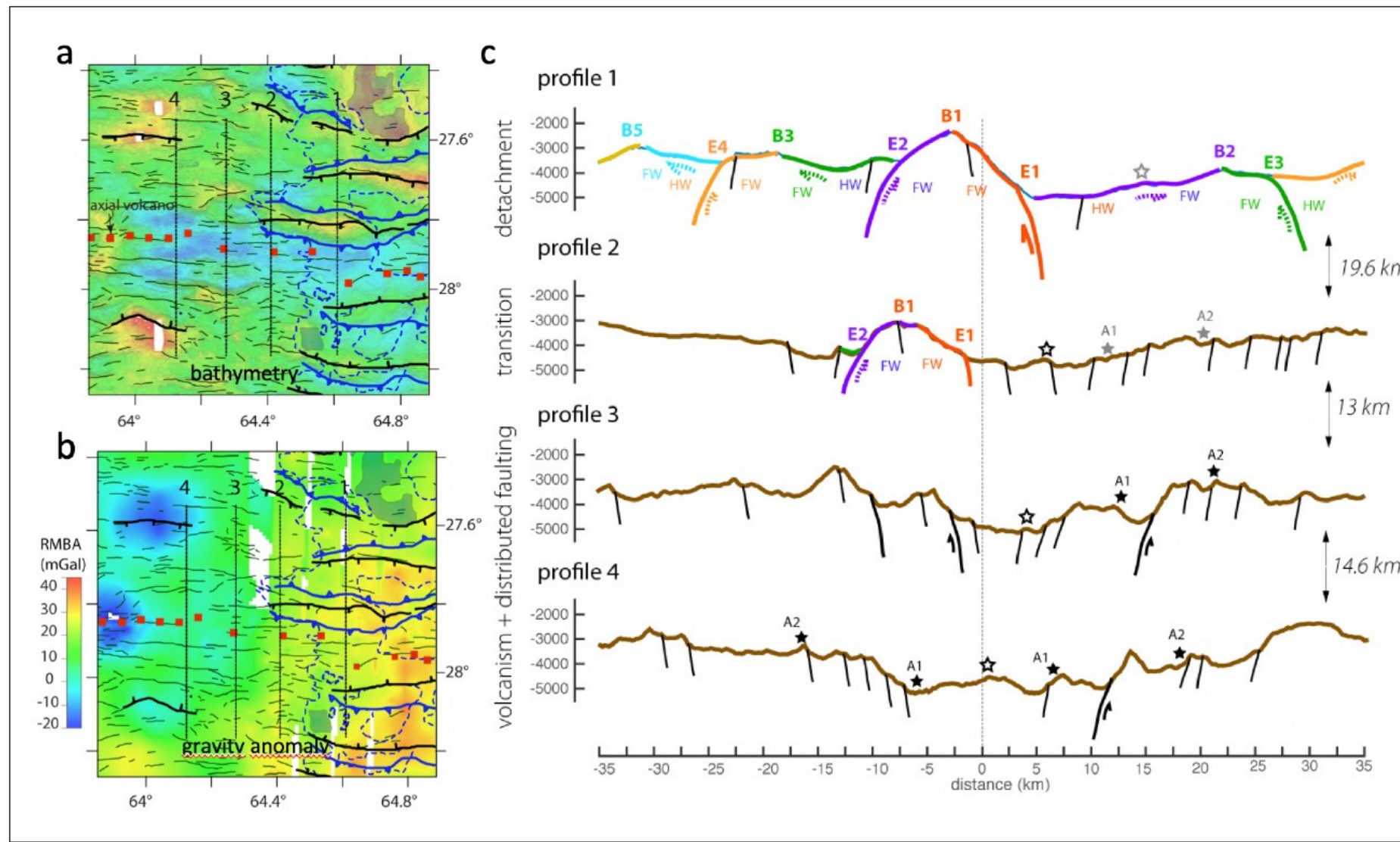


Ciazzola et al, 2015

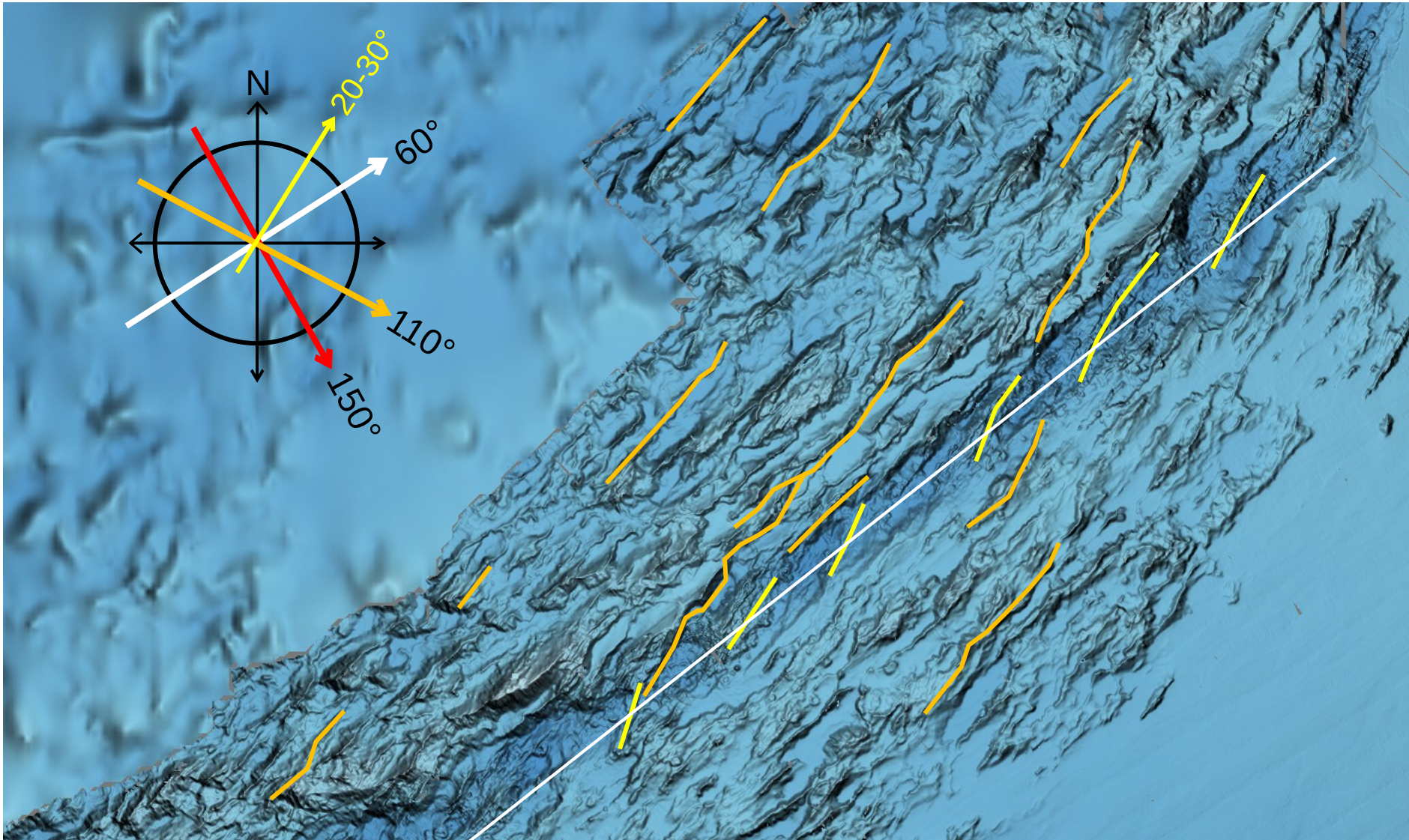
Lateral variasjon



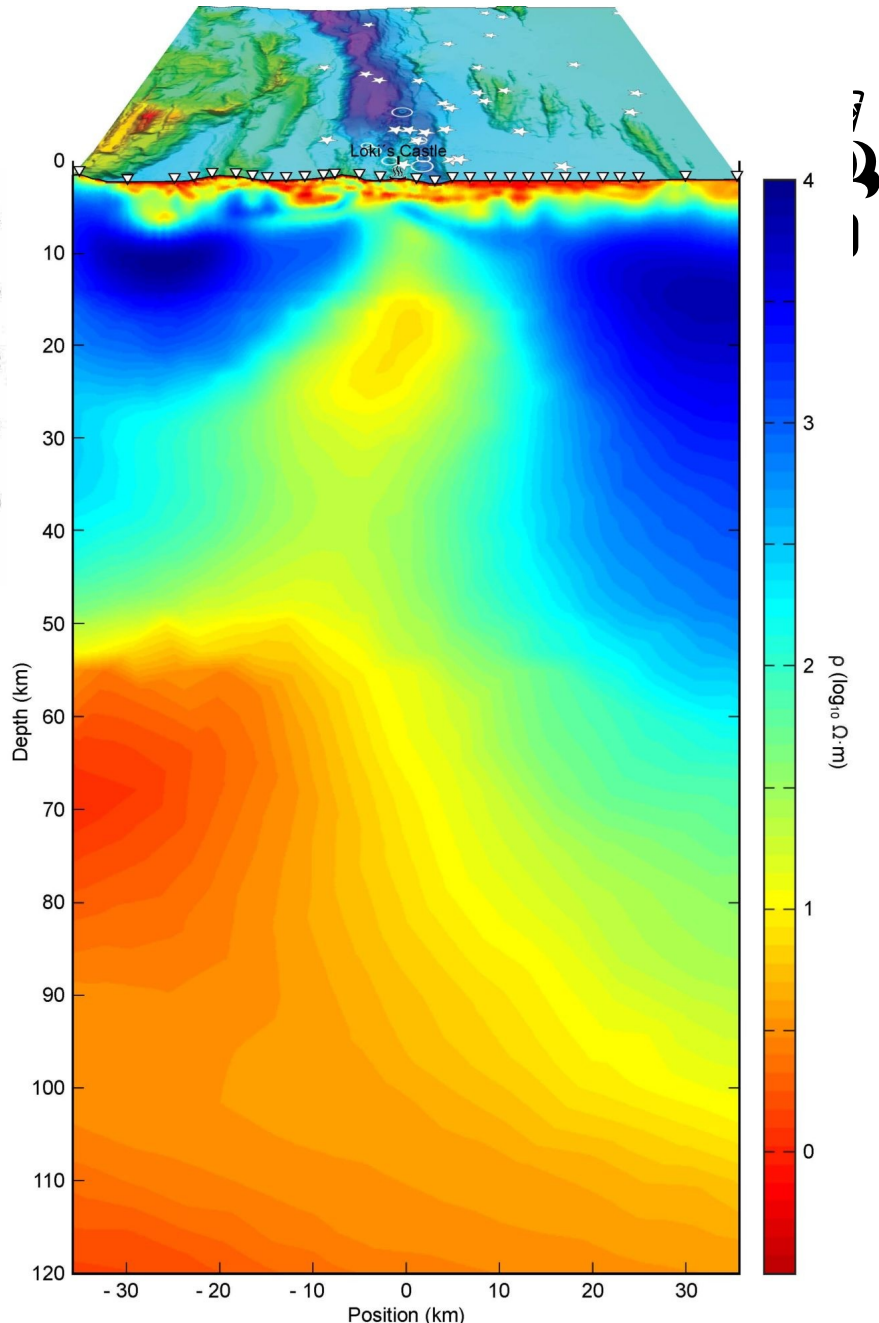
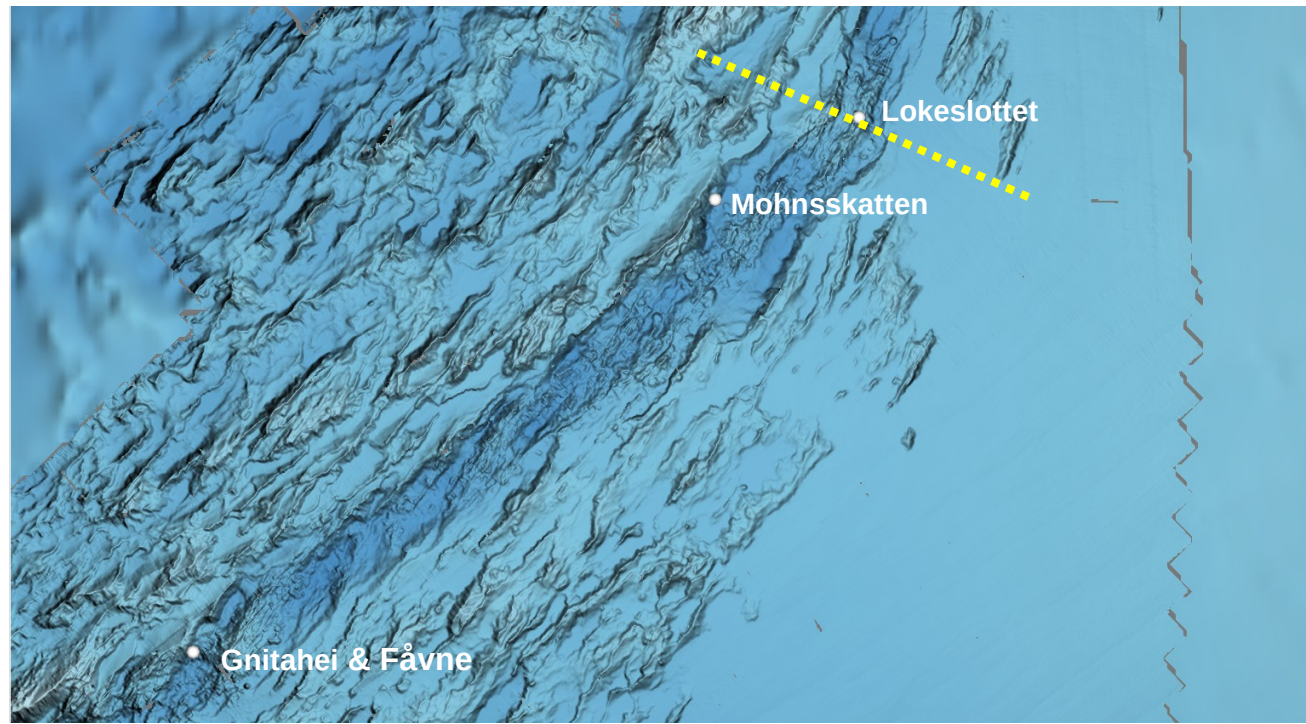
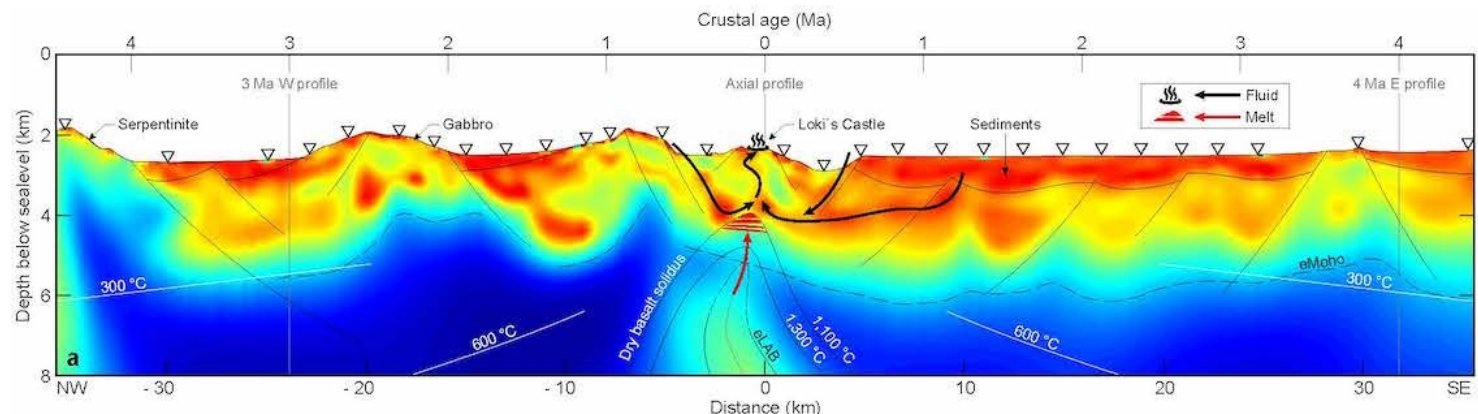
Lateral variasjon (SWIR)



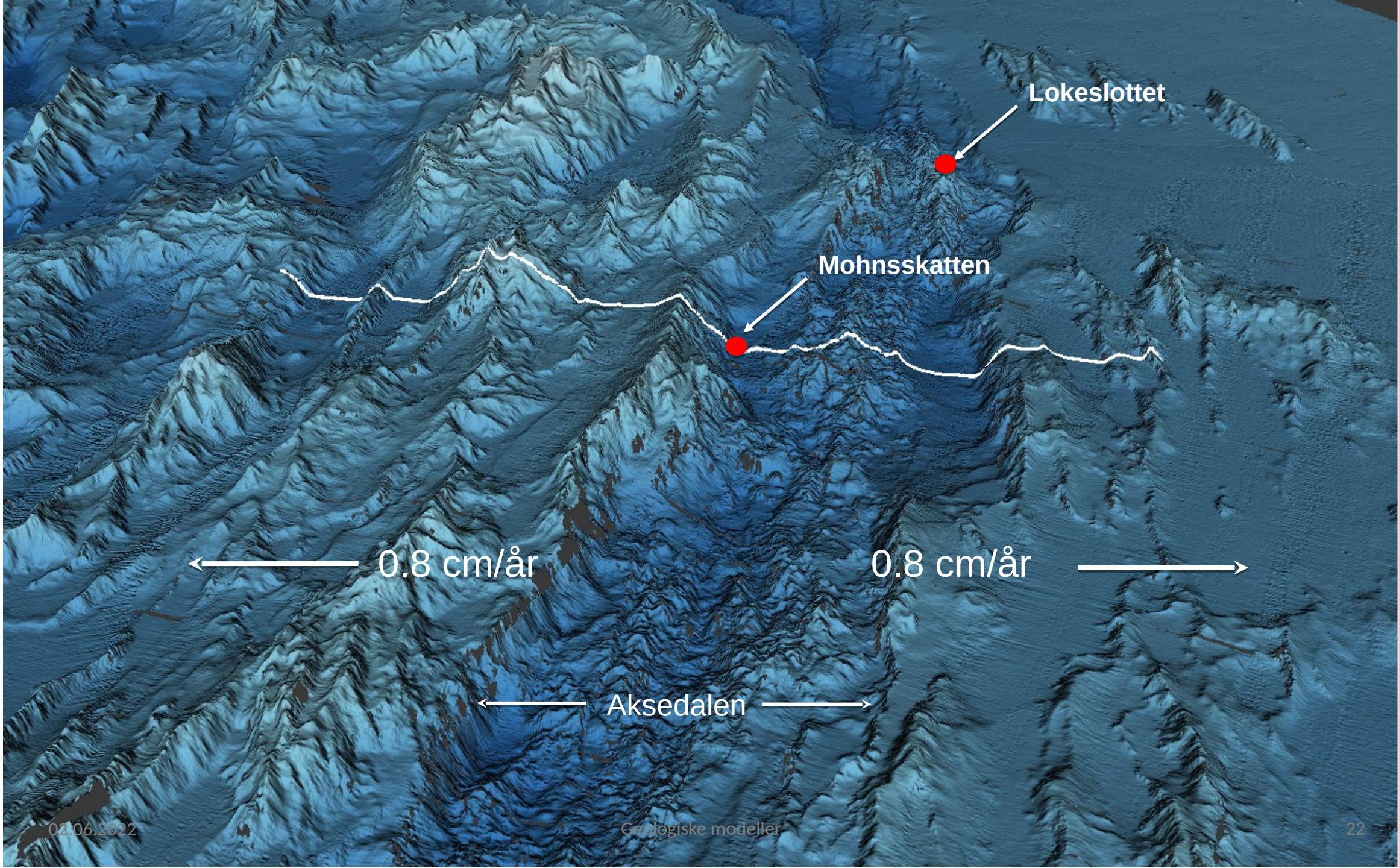
Spredning skeivt på aksedalen

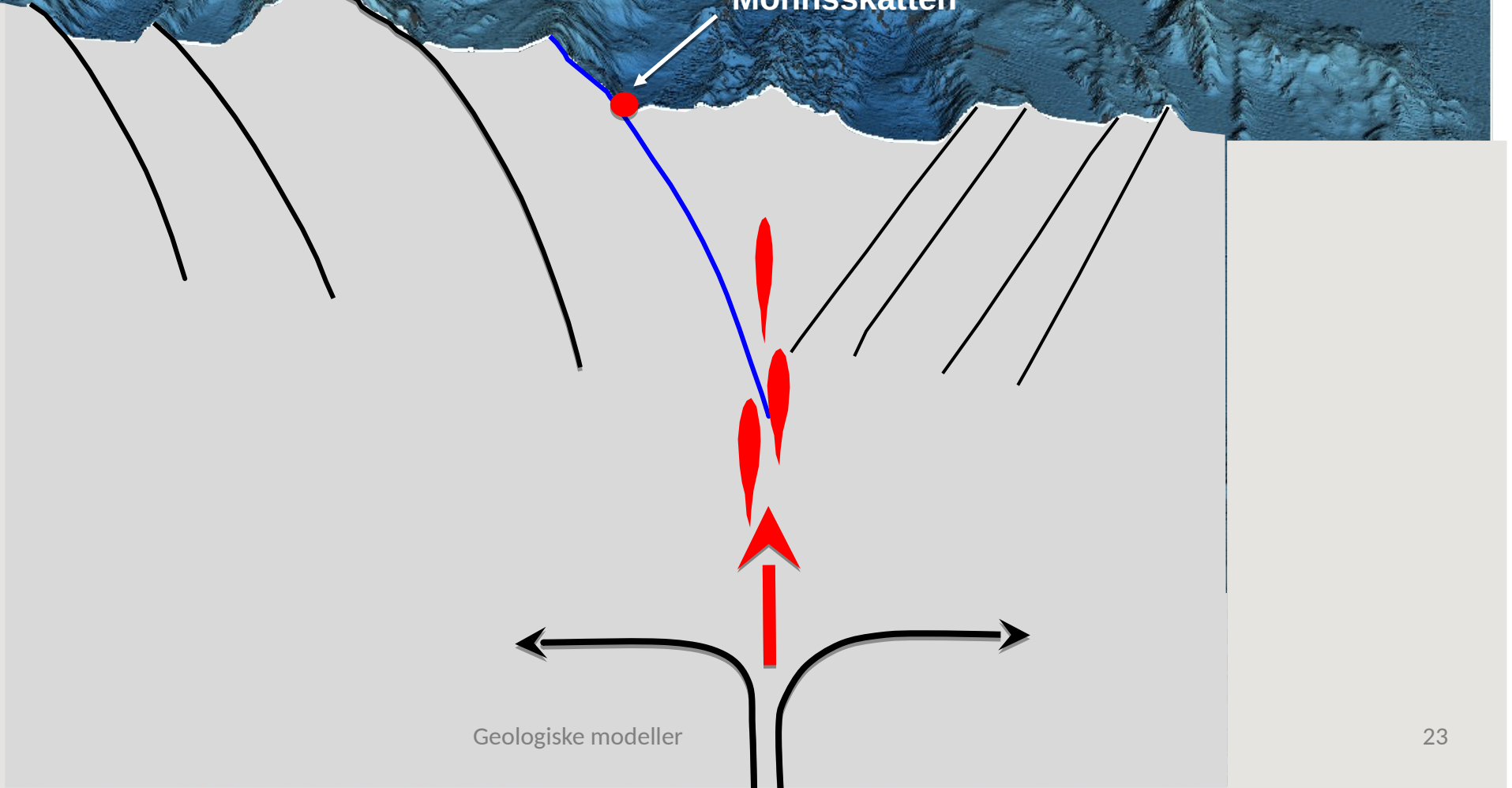
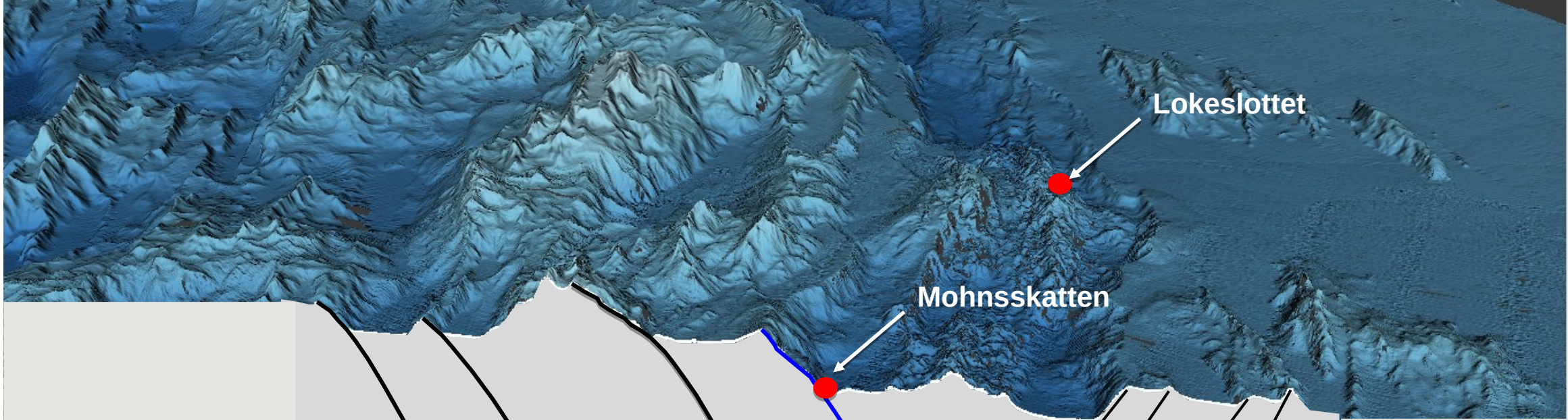


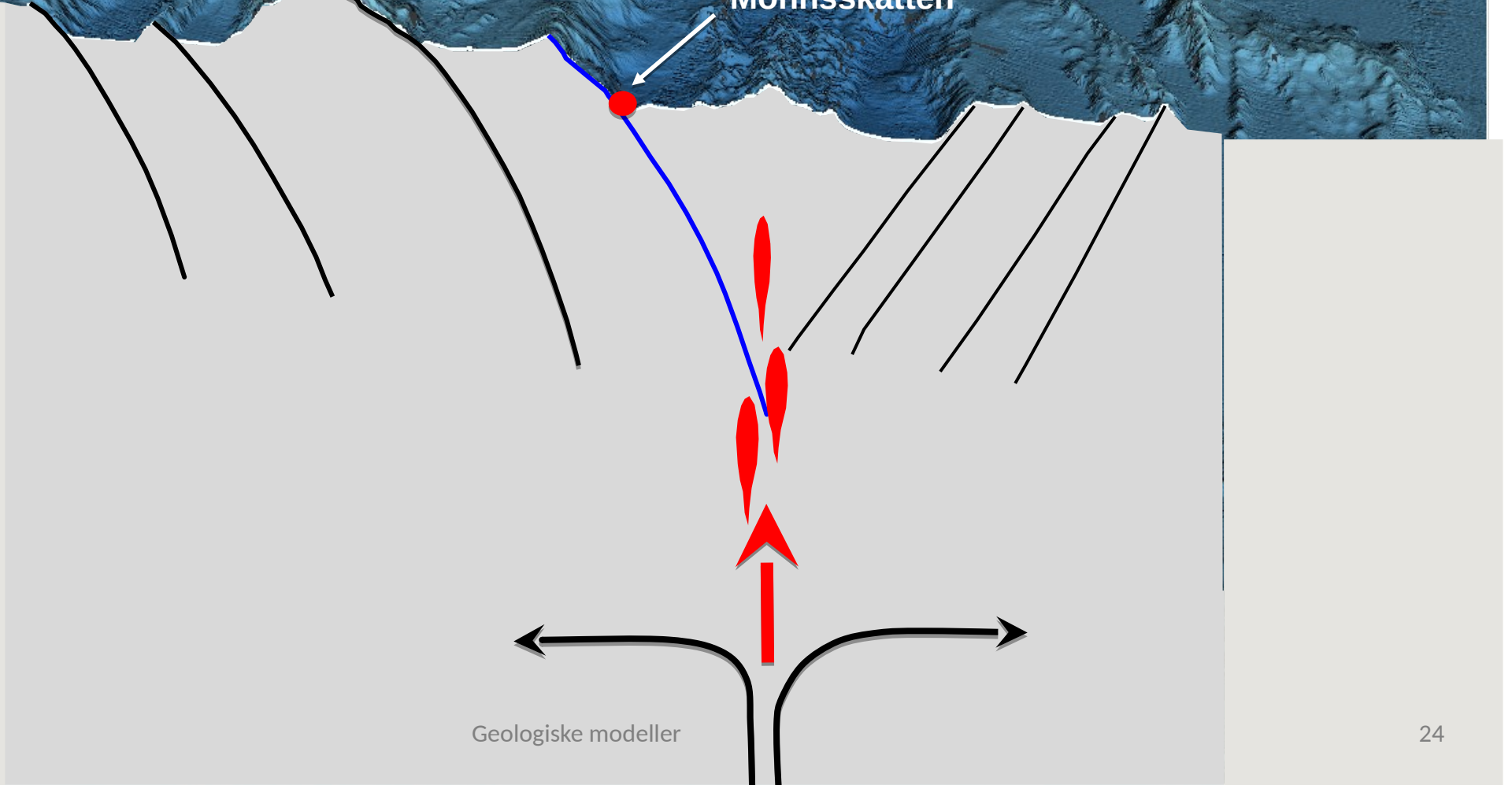
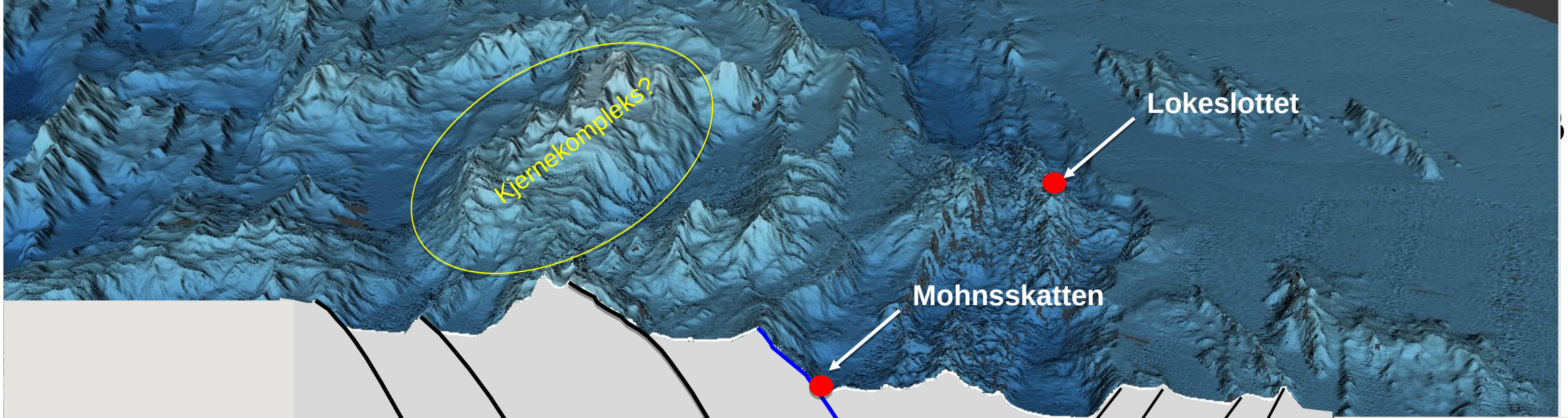
Skorpestruktur, CSEM-studie



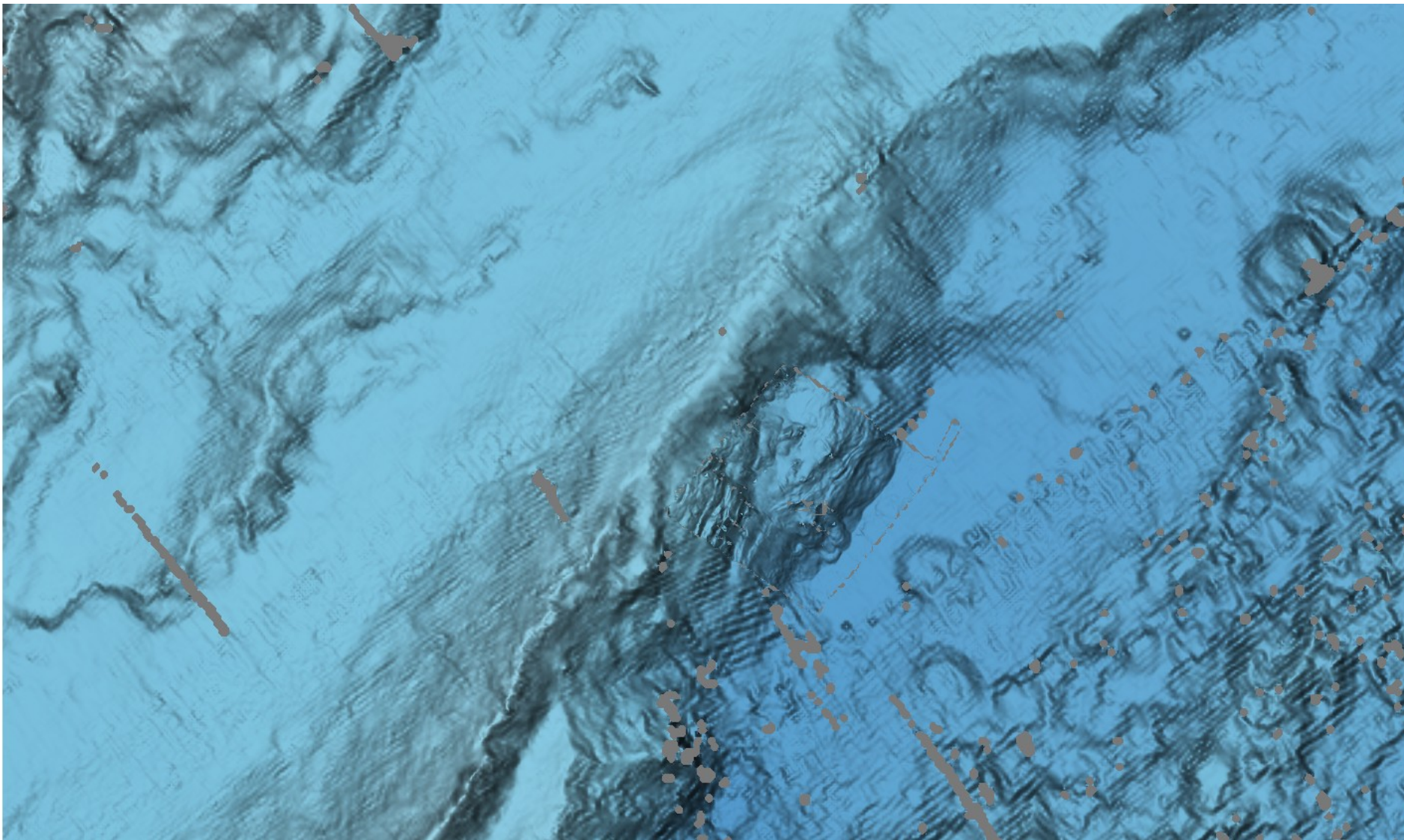
Johansen et al. 2019



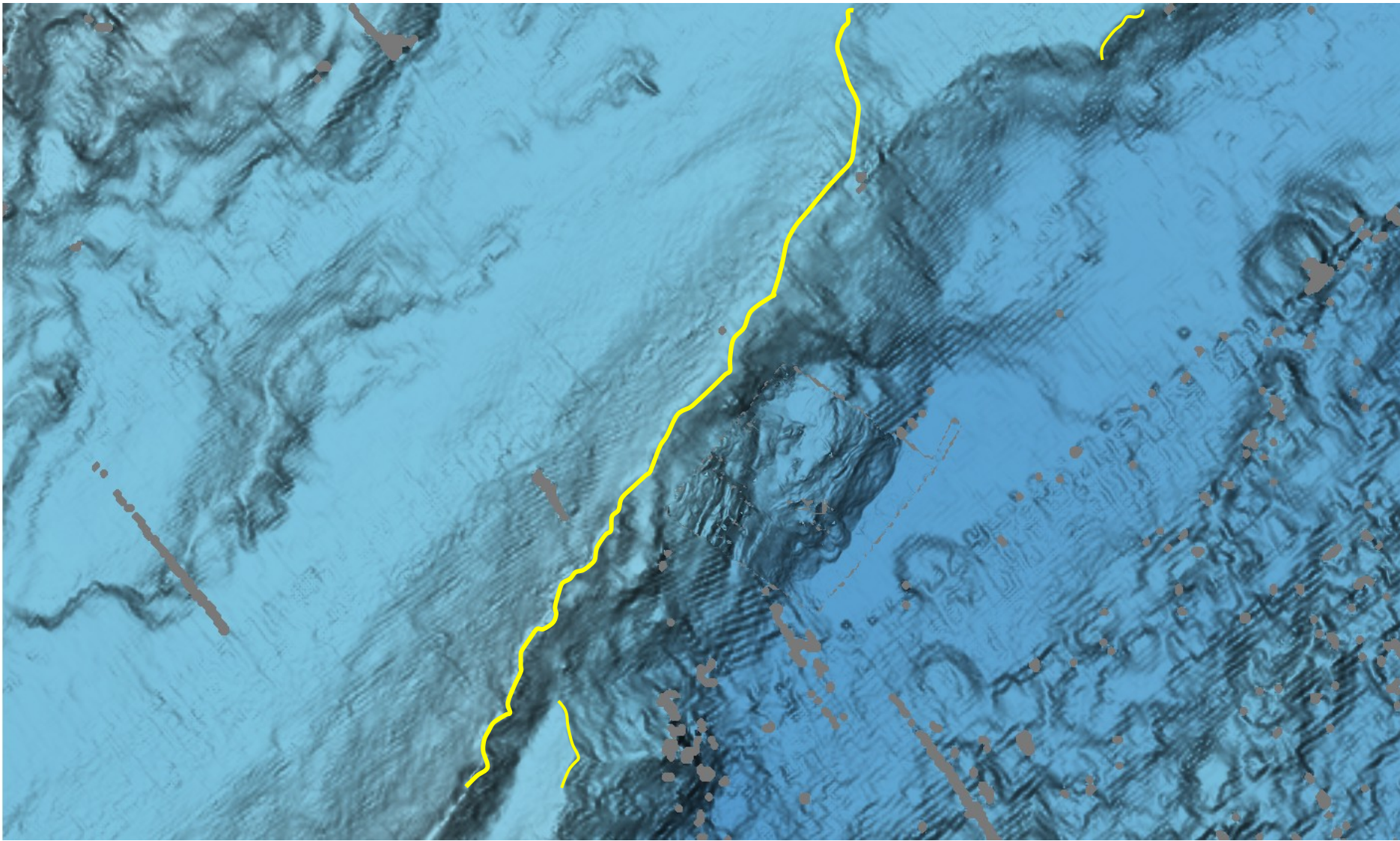




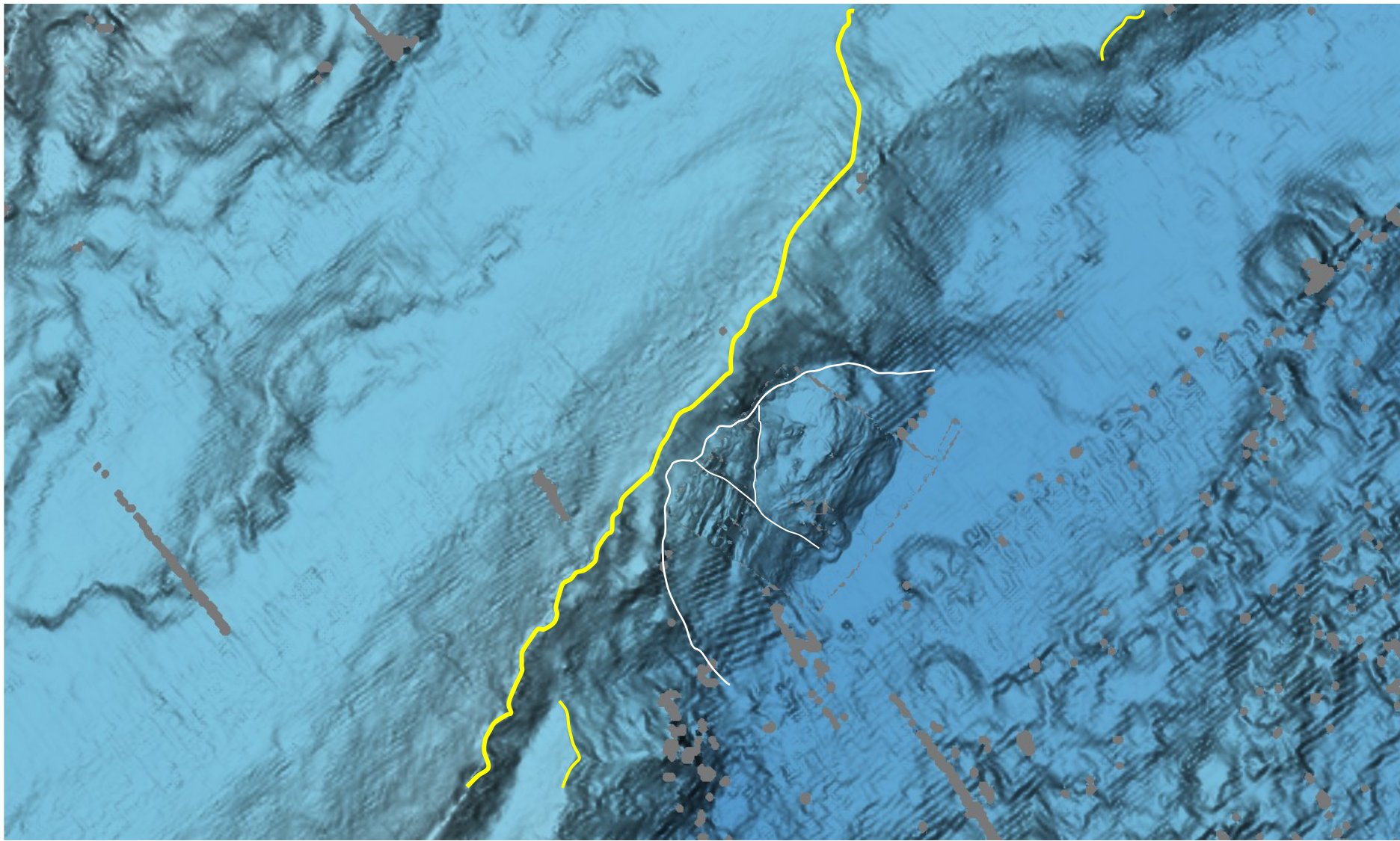
Grabenskrenten ved Mohnsskatten



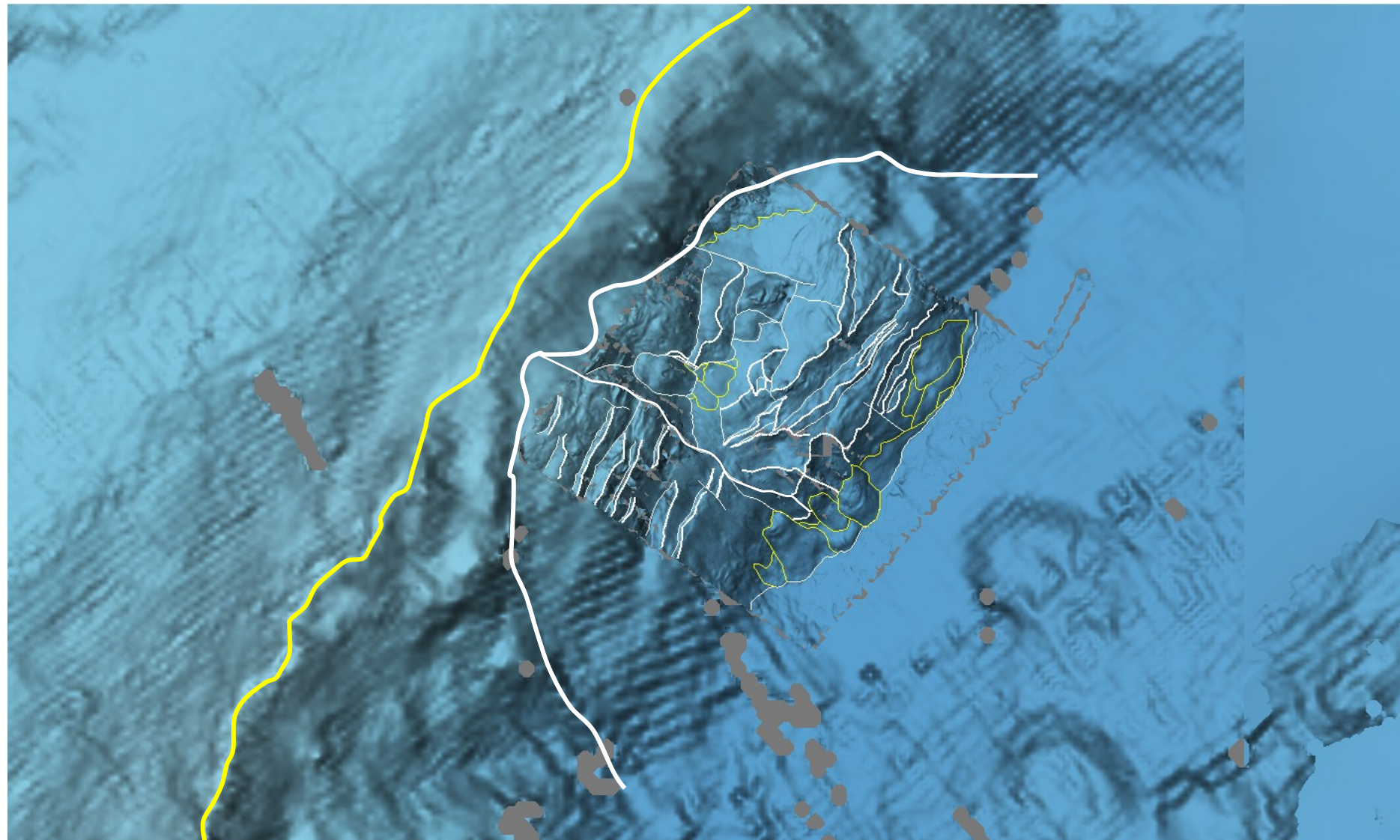
Reaktivering og modifisering av grabenskrenten



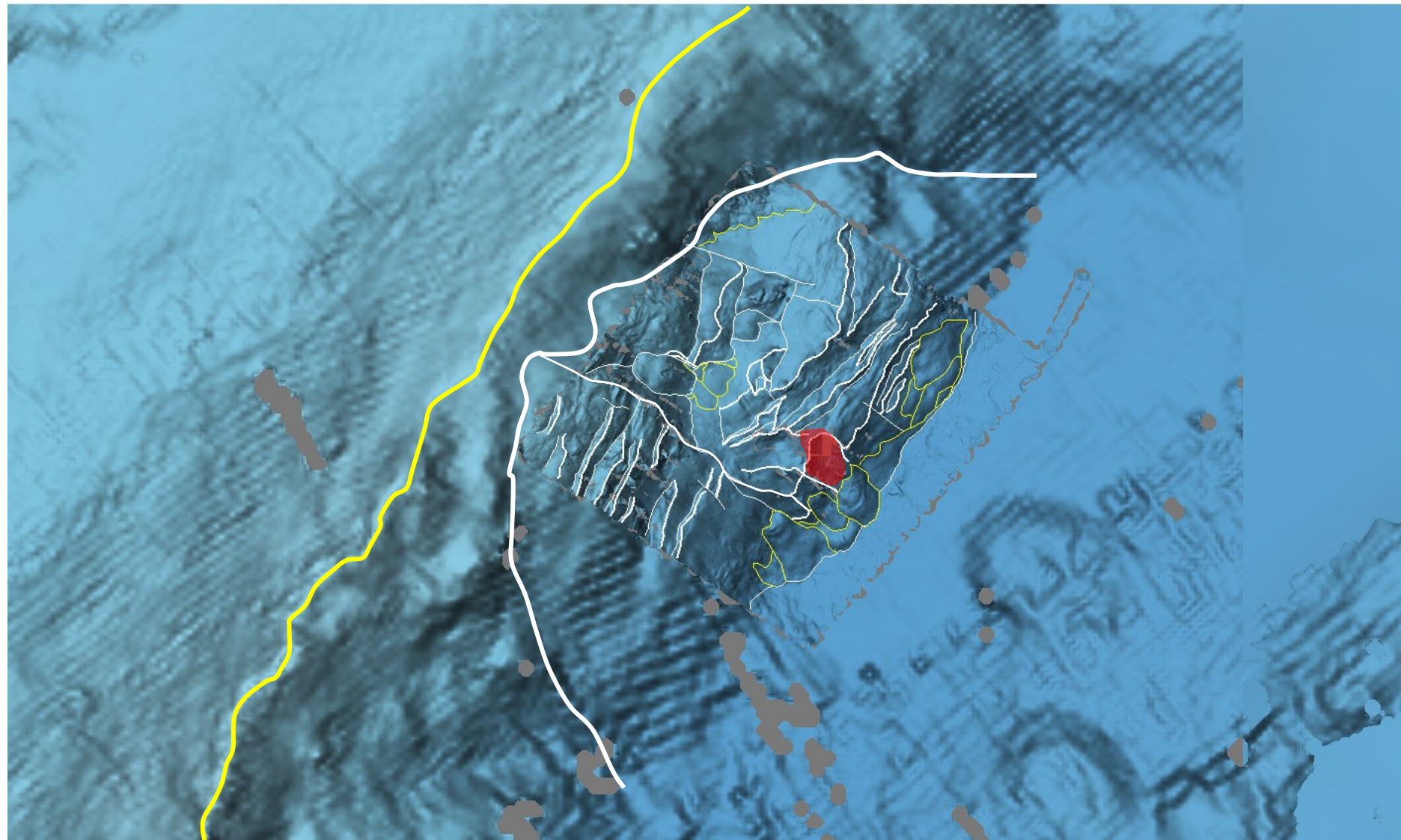
Reaktivering og modifisering av grabenskrenten



Reaktivering og modifisering av grabenskrenten, detaljer

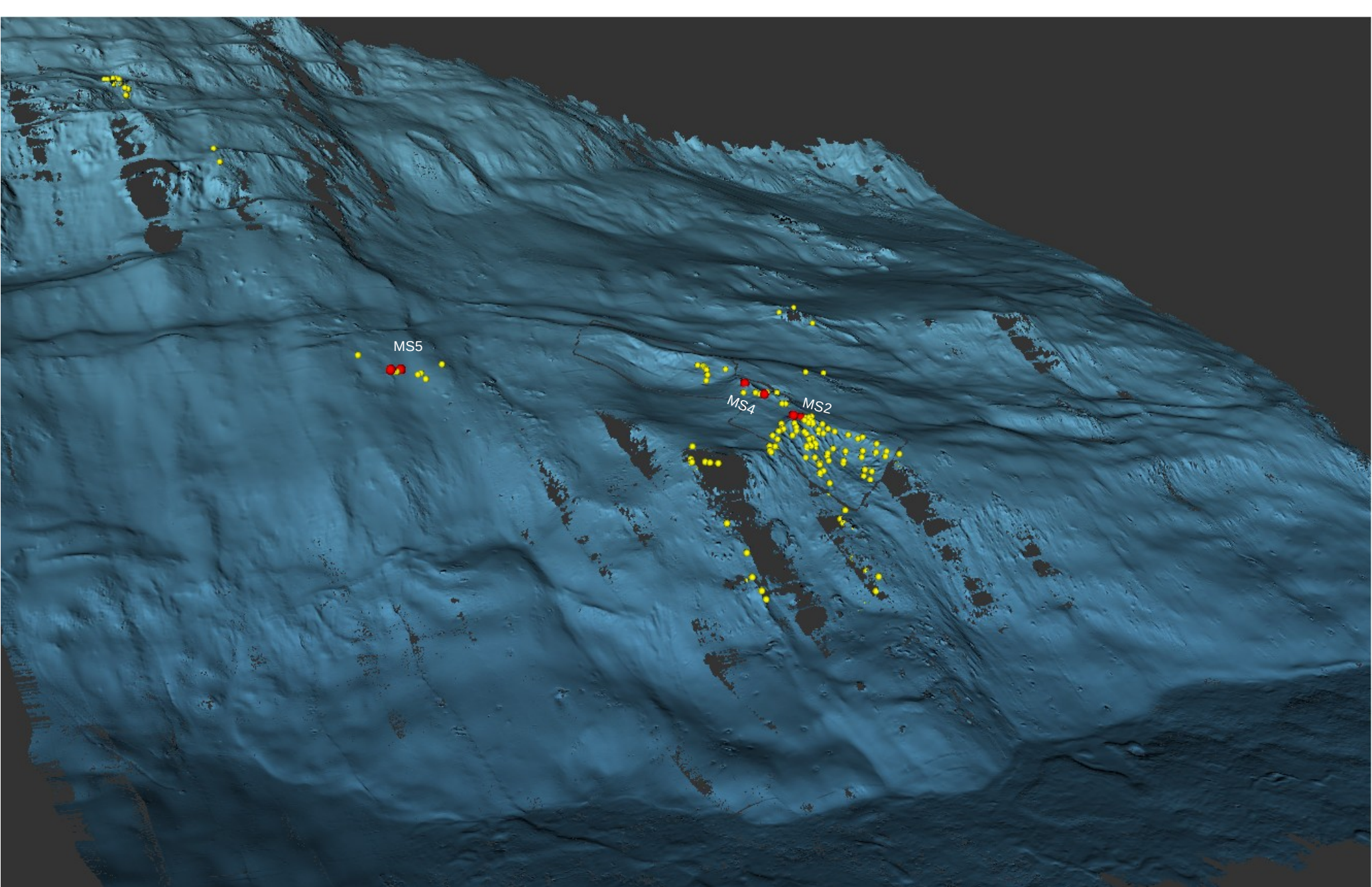


Reaktivering og modifisering av grabenskrenten, detaljer

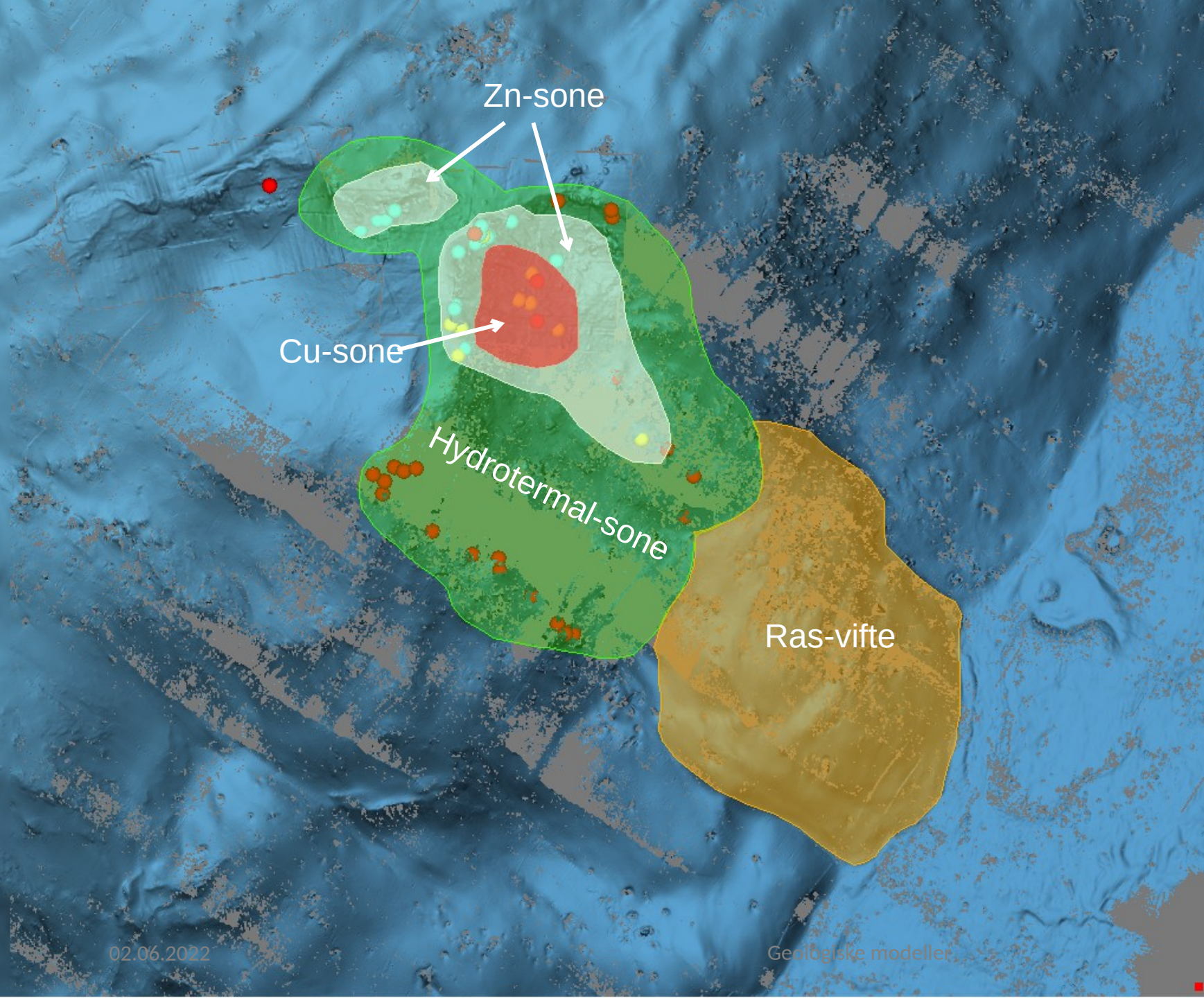




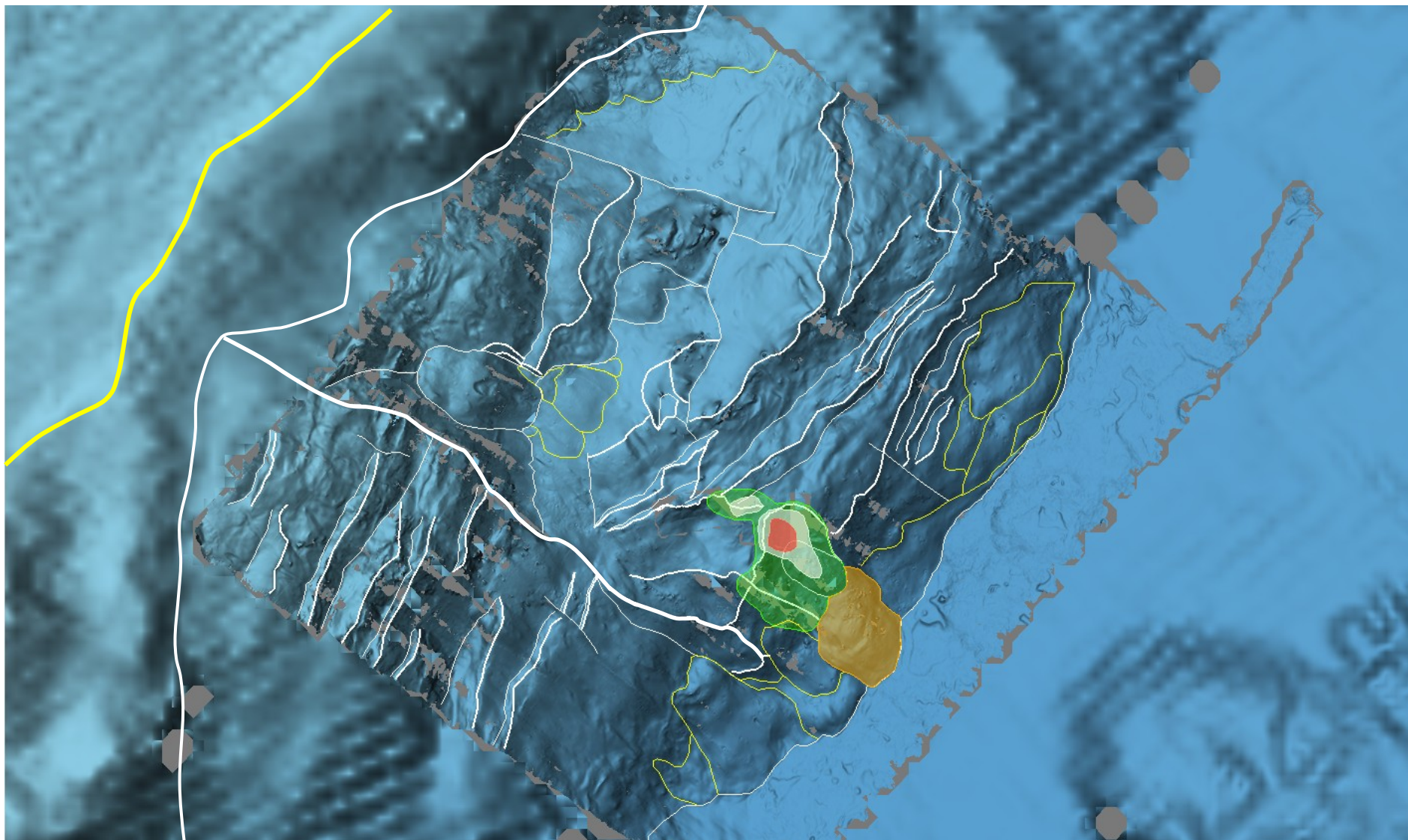
Prøvetaking på Mohnsksatten



Mohnsskatten

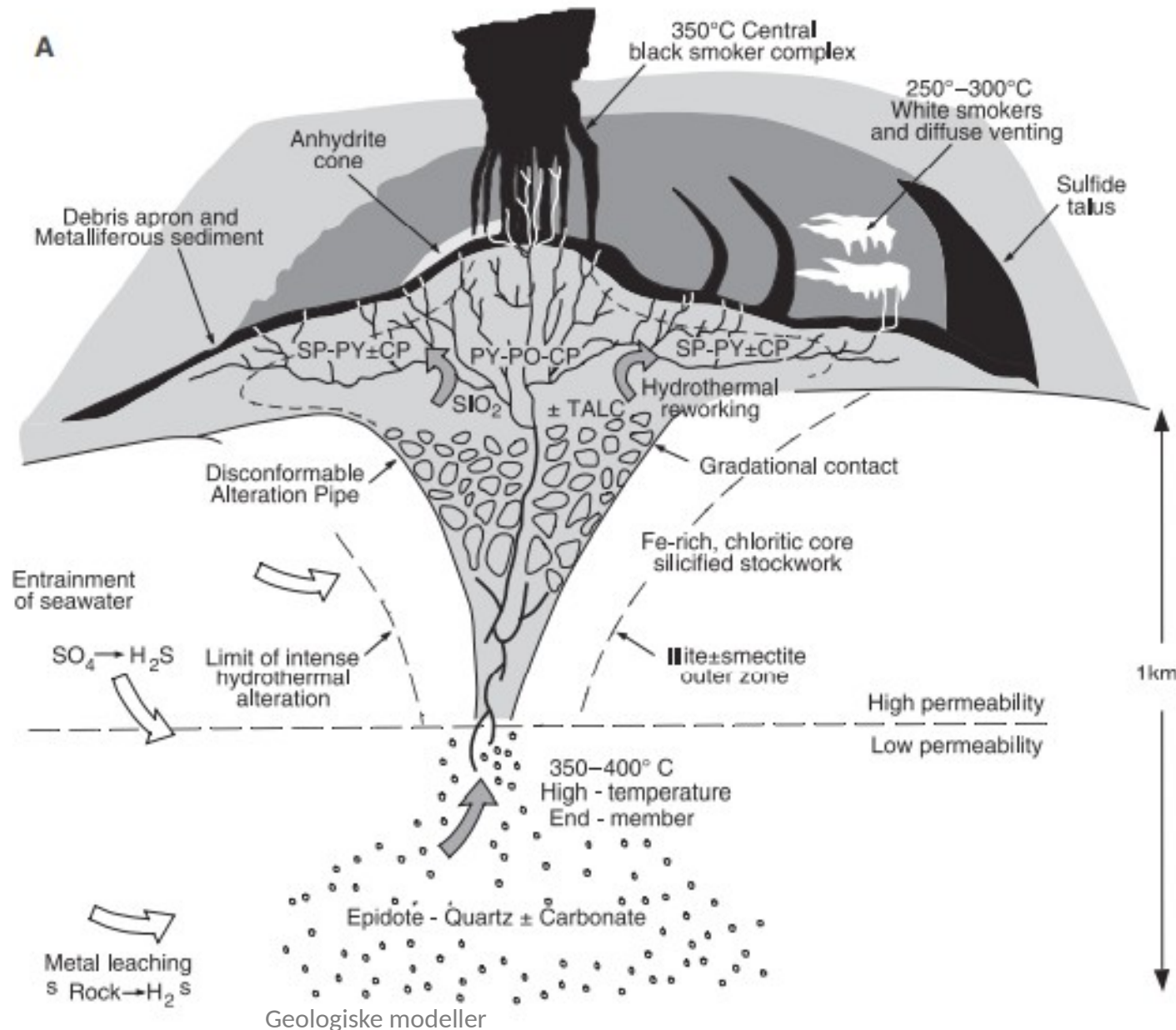


Tektoniske forhold rundt Mohnsskatten



Submarint hydrotermalsystem

607



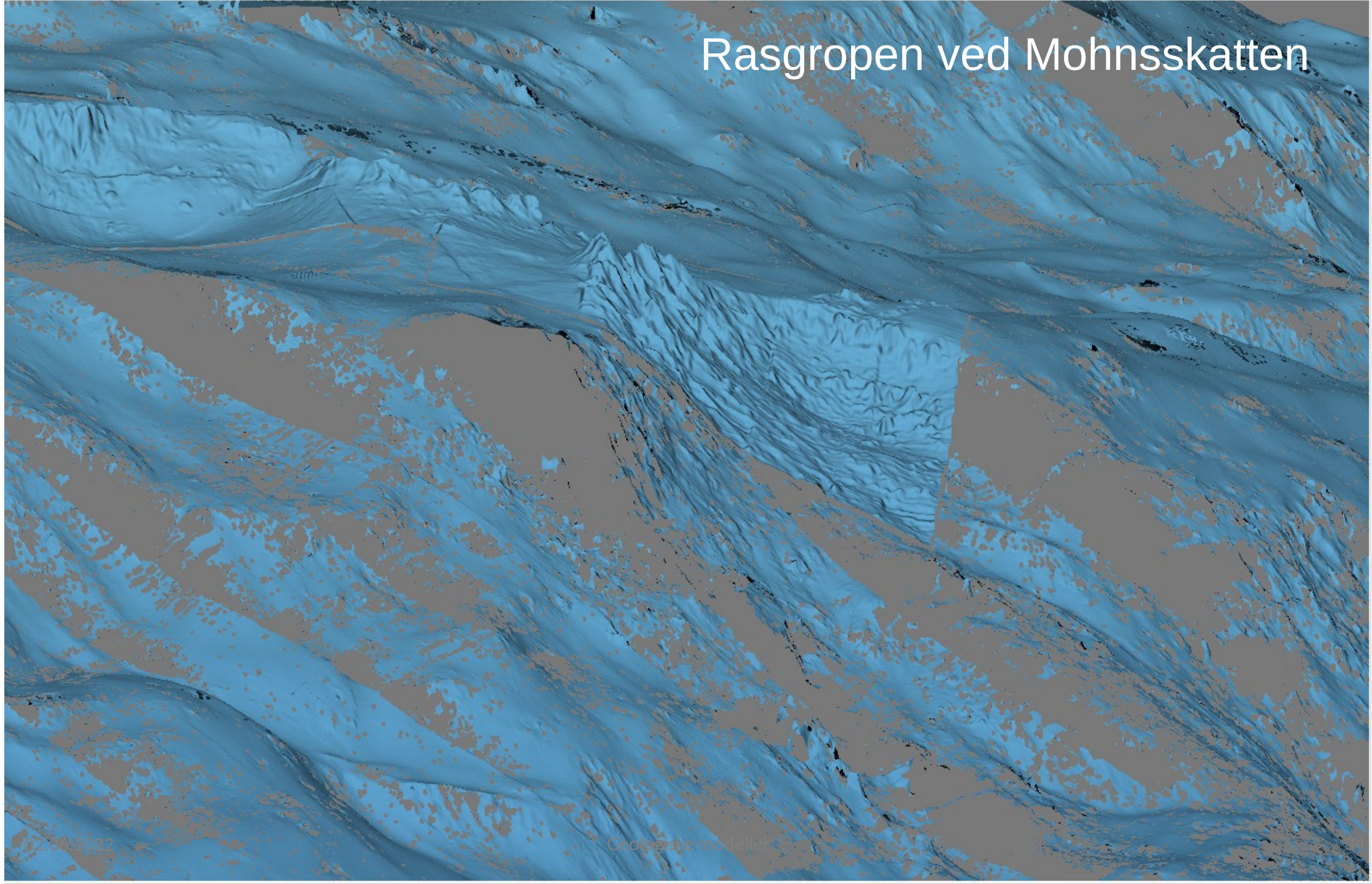
Fra Piranjo 2009, etter Hannington et al
1995

02.06.2022

33

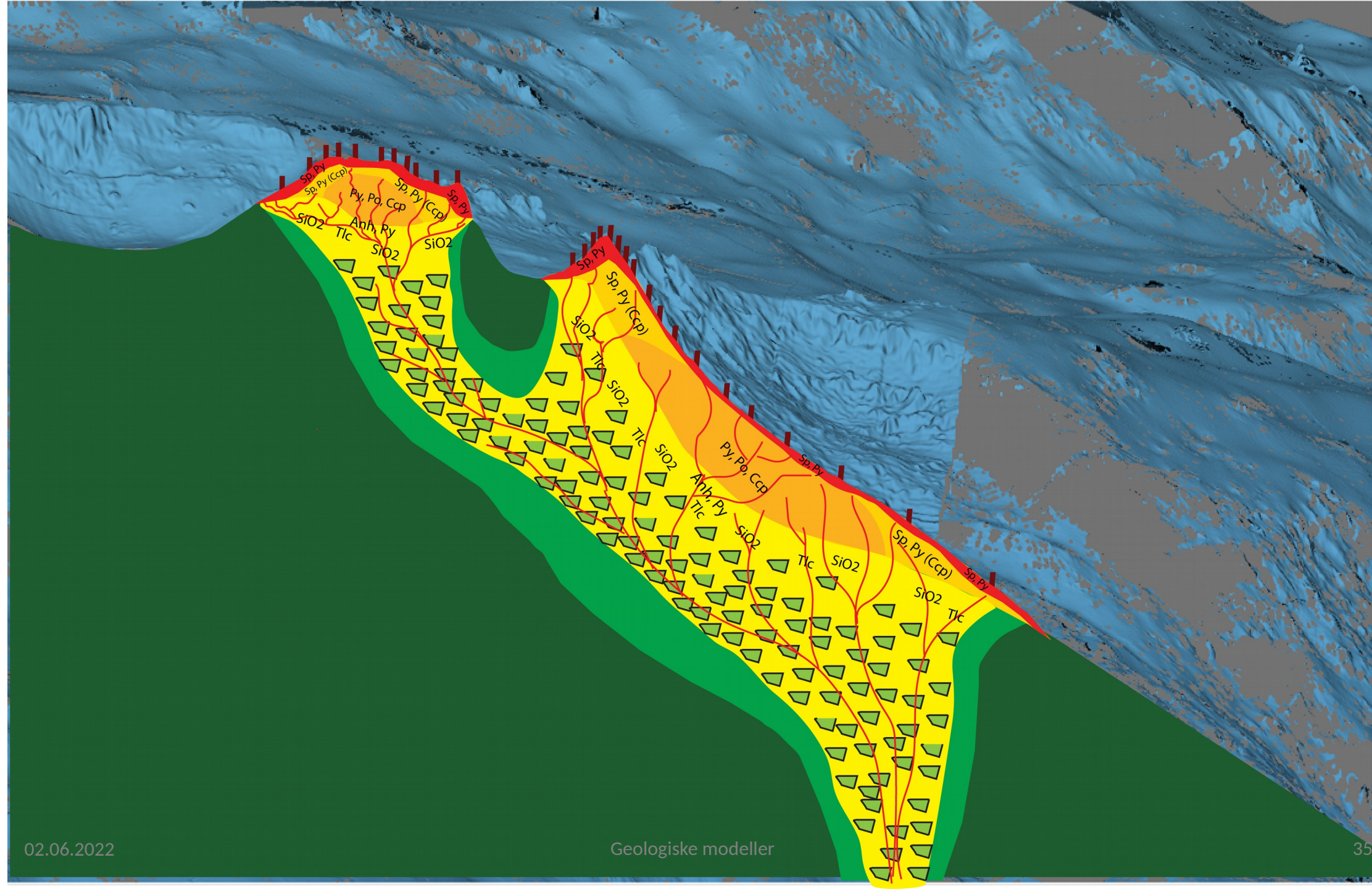
Rasgropen ved Mohnsskatten

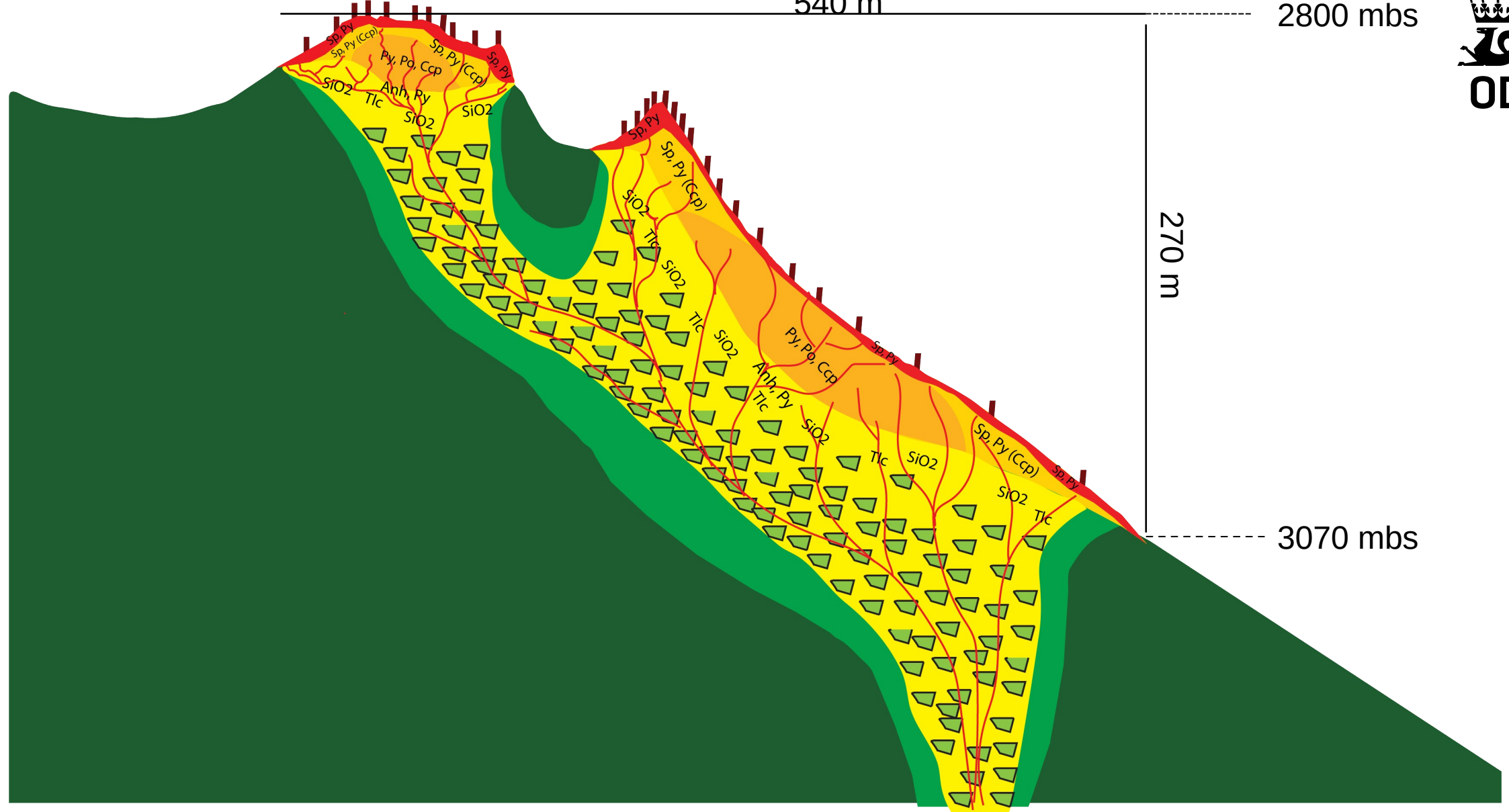
2D
3D



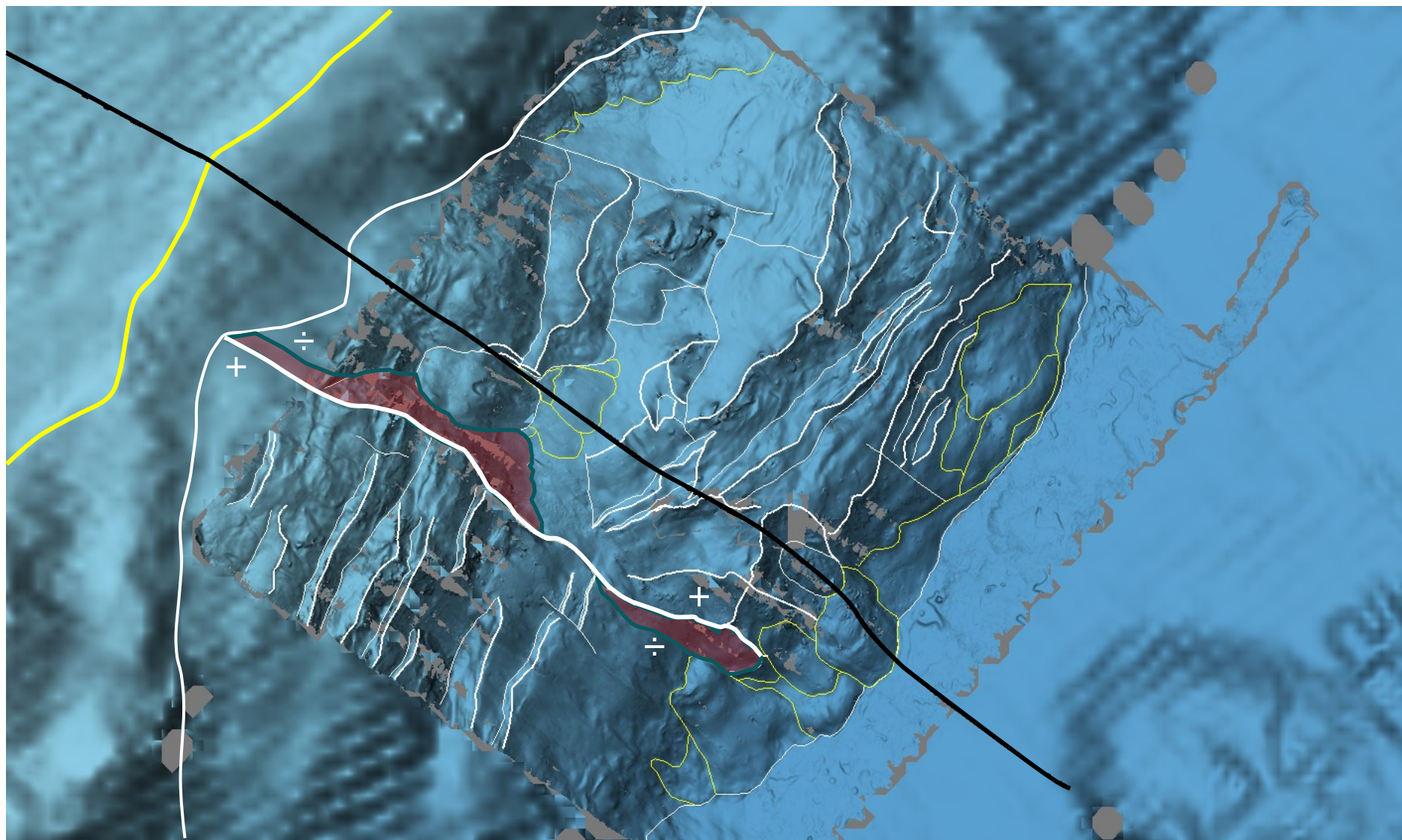
02.06.2022

Geologiske modeller

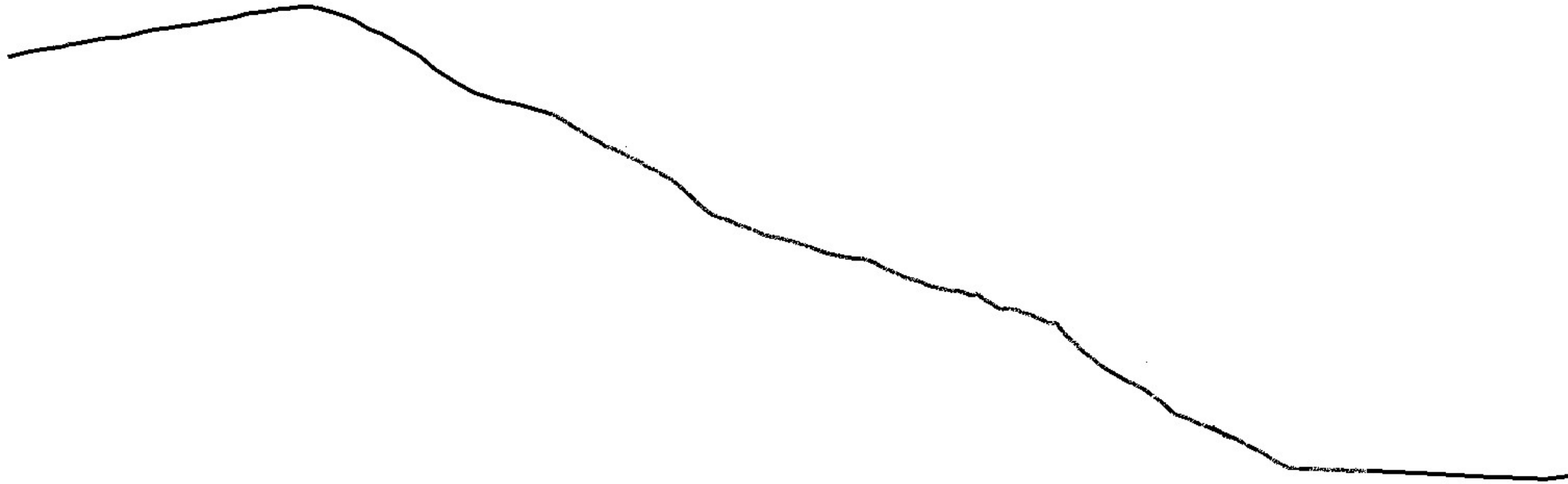




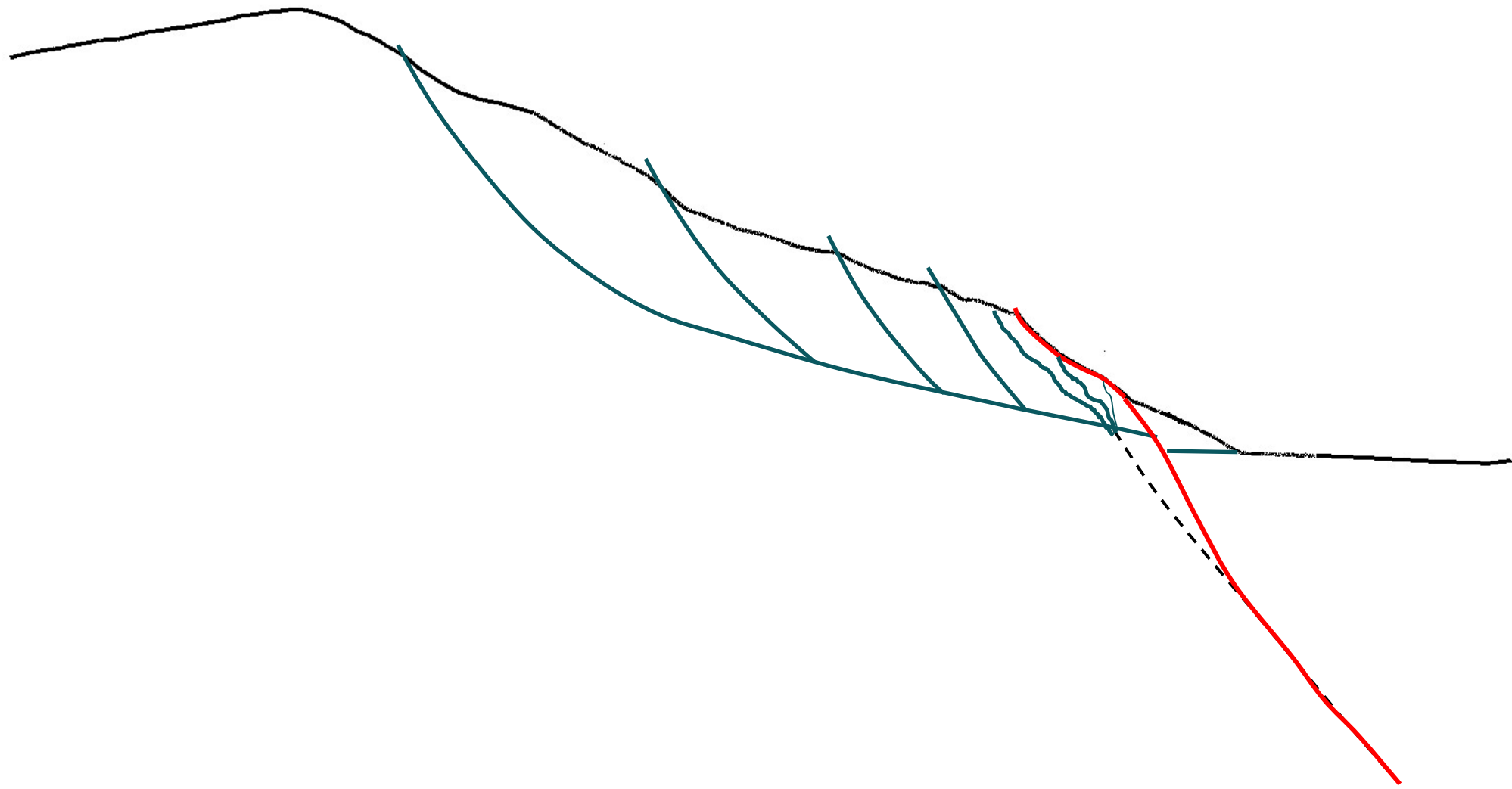
Modifisering av grabenskrenten, detaljer



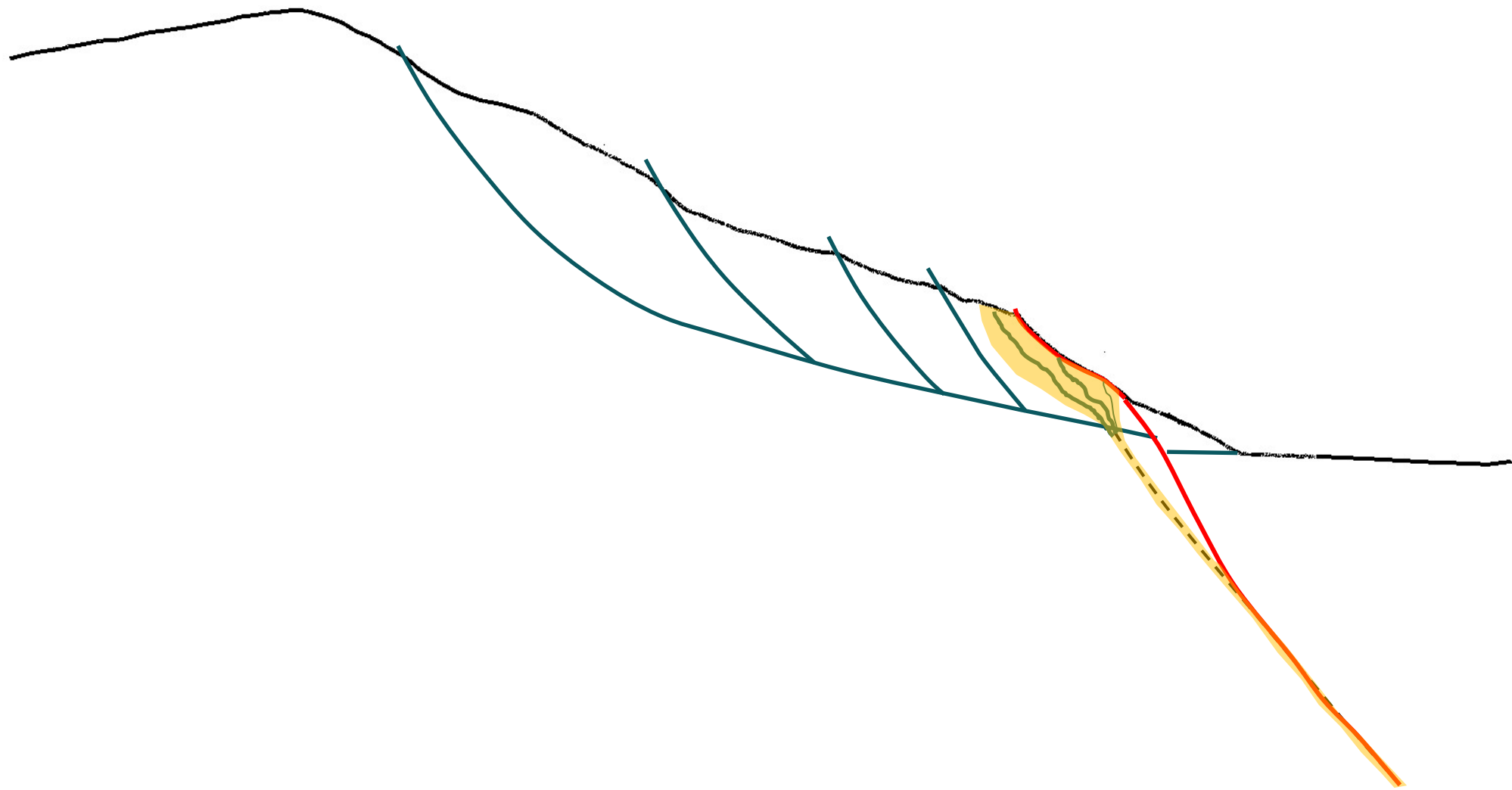
Grabenskrenten ved Mohnsskatten, batymetrisk profil



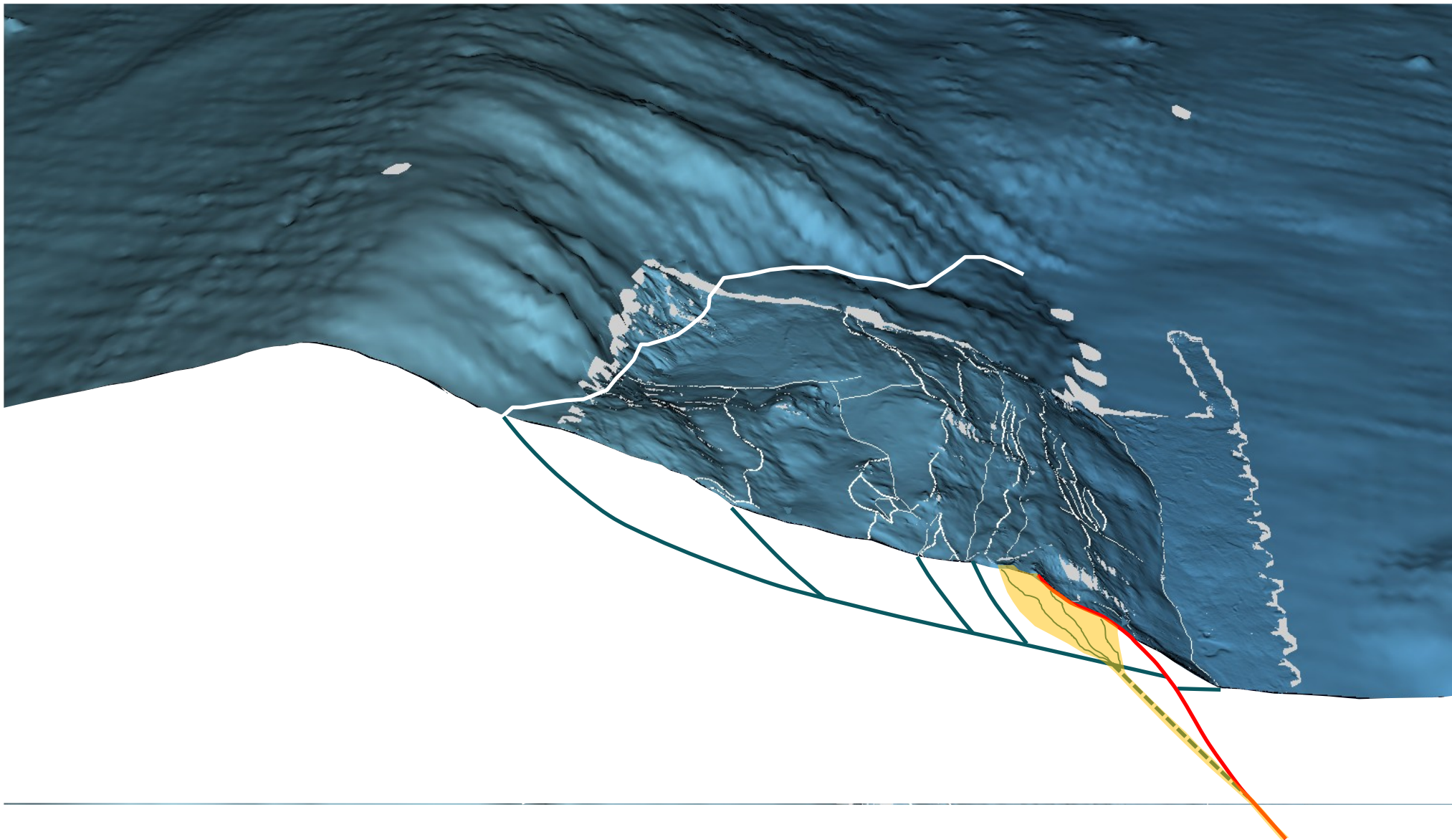
Modell for tektonisk reaktivering av skrent



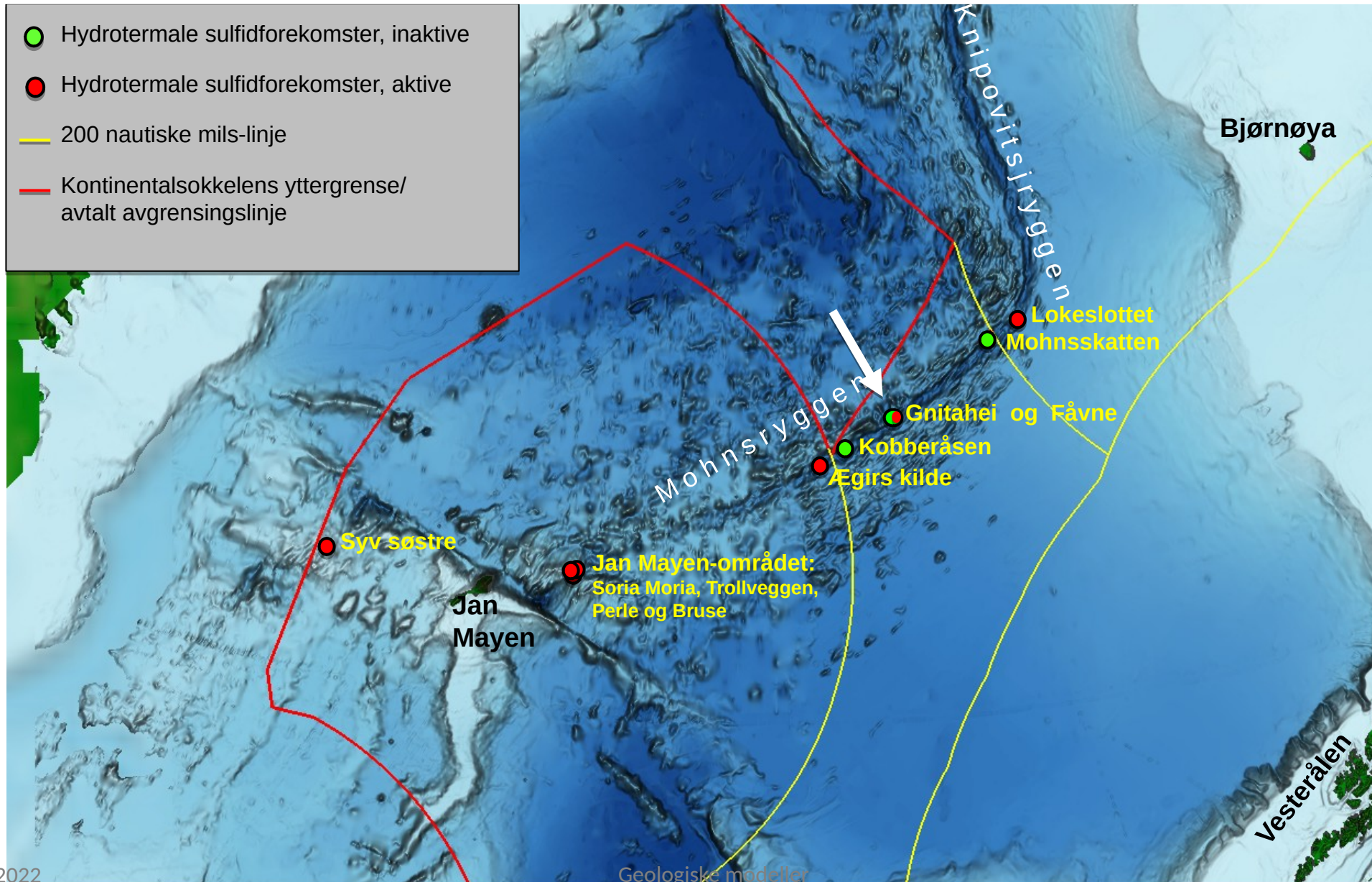
Tektonisk reaktivering og mineralisering



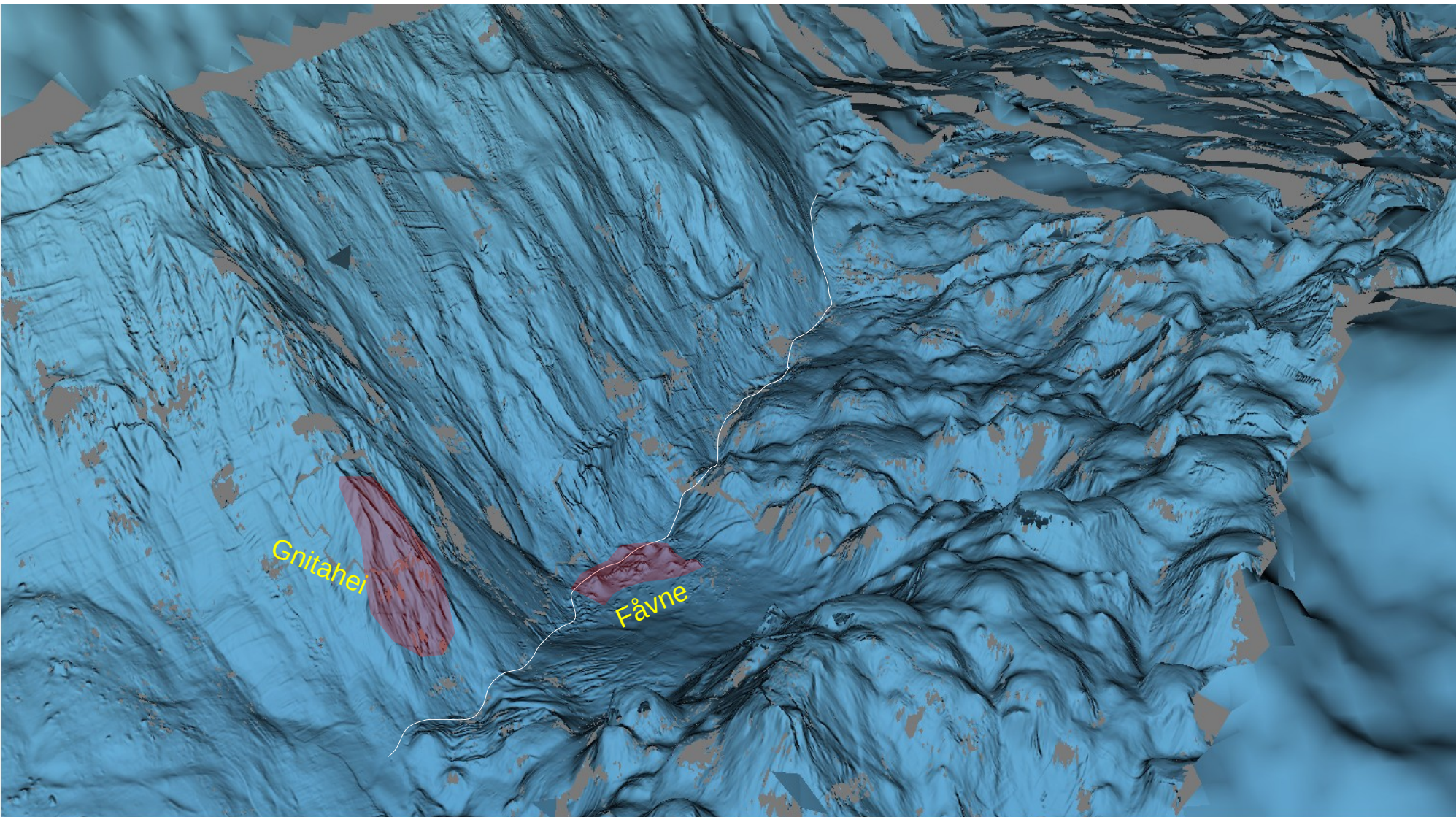
3D-framstilling

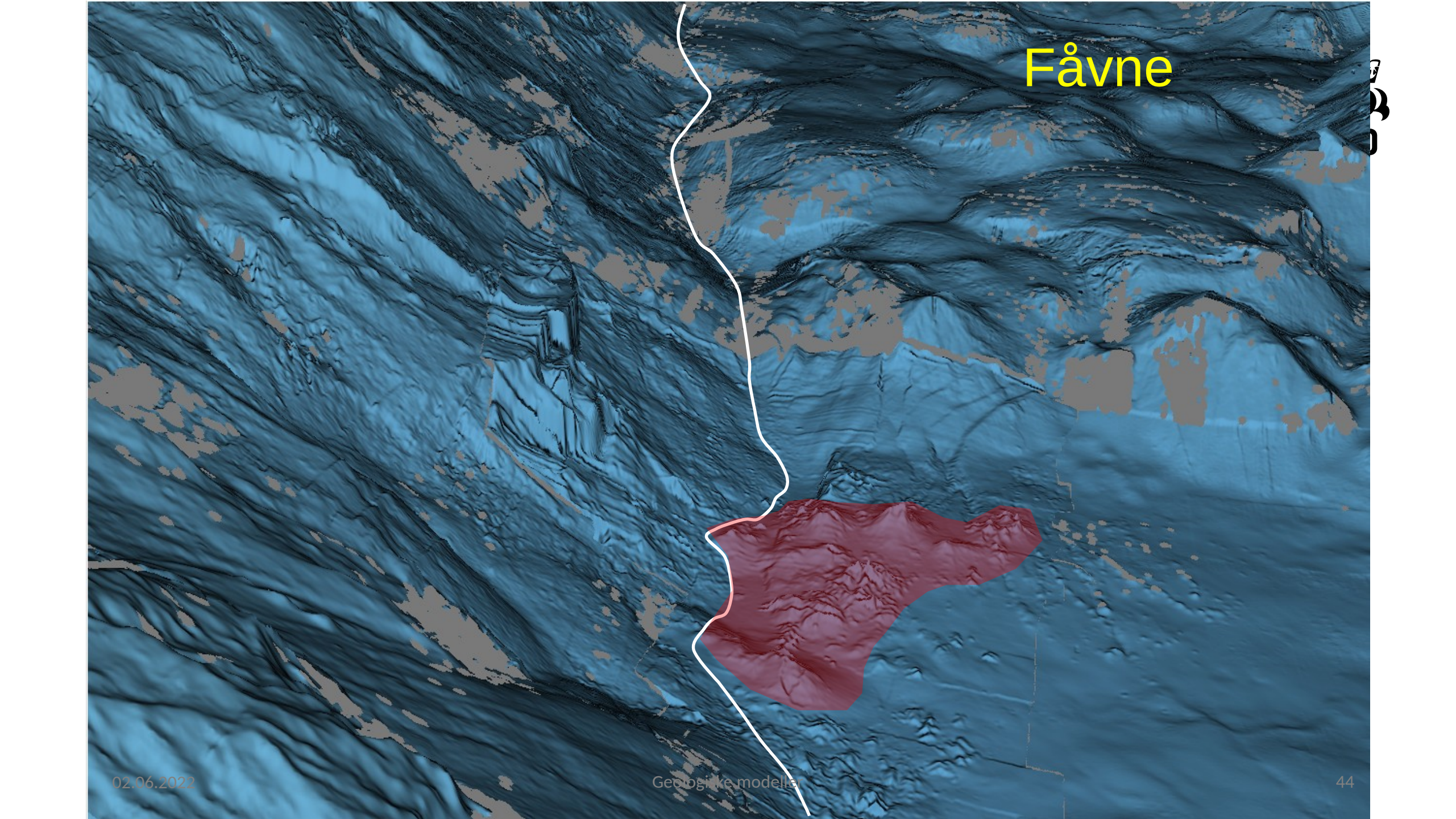


Kjente hydrotermalforekomster på norsk sokkel



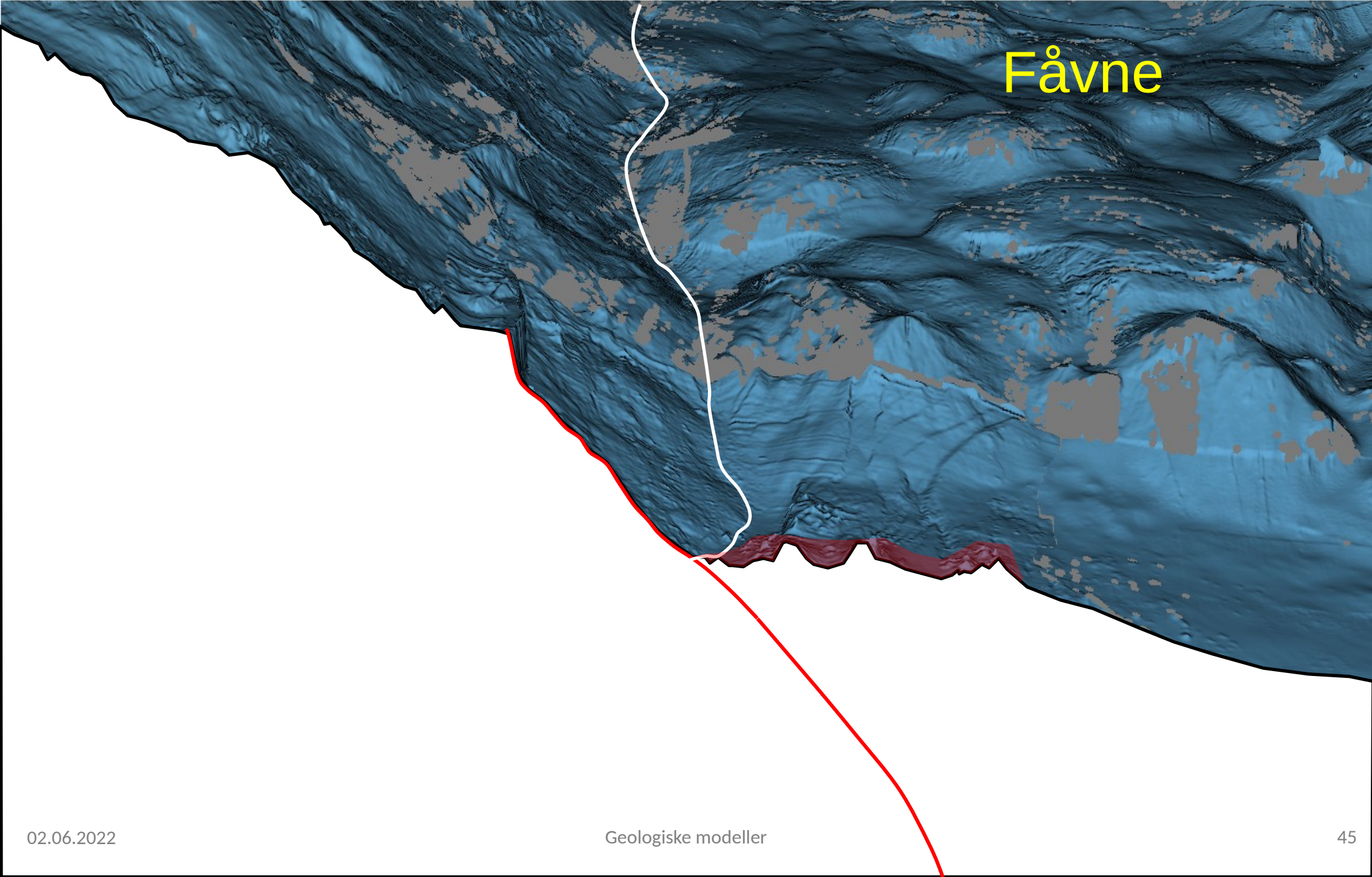
Gnithei og Fåvne, tektonisk ramme



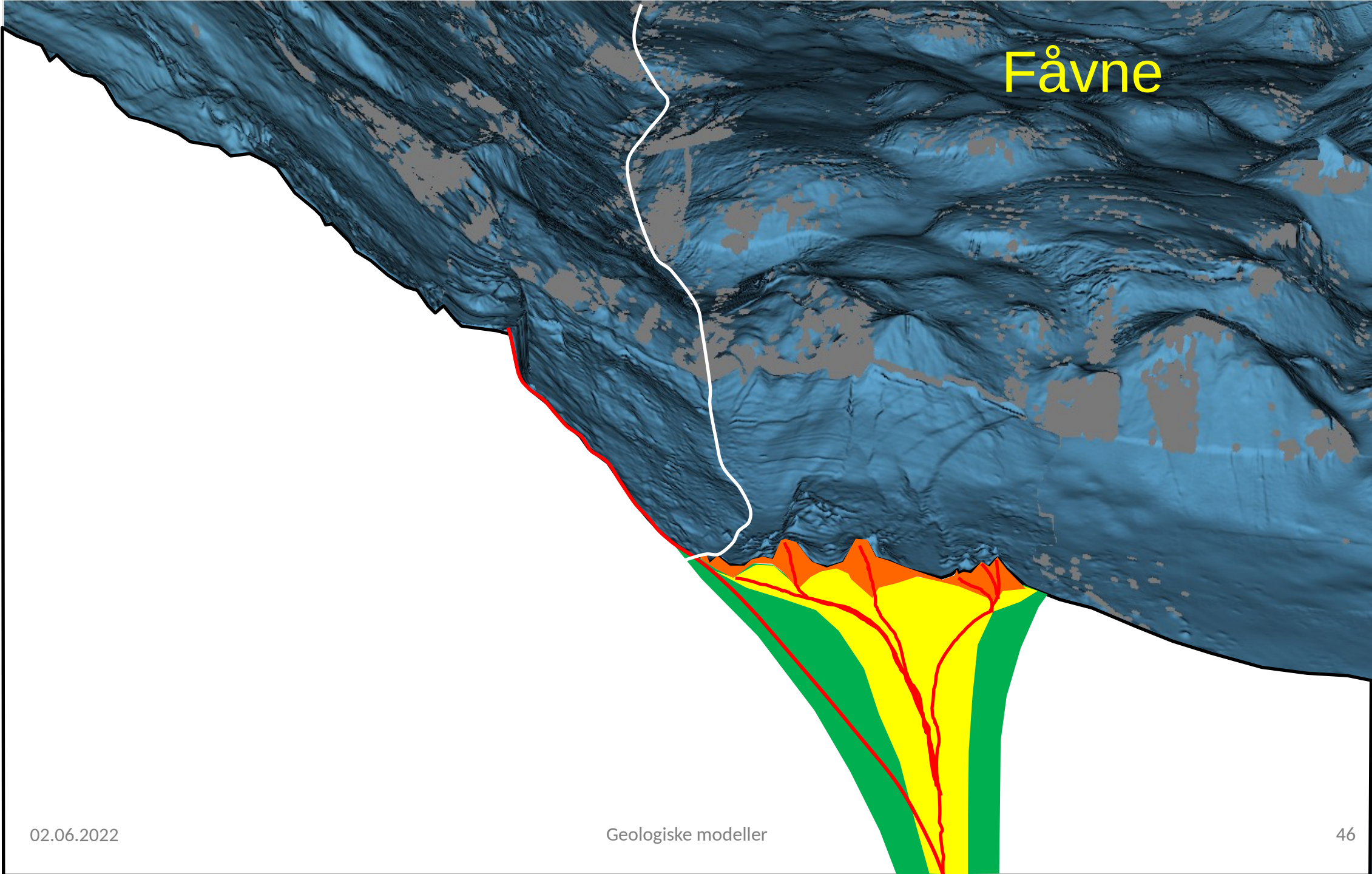


Fåvne

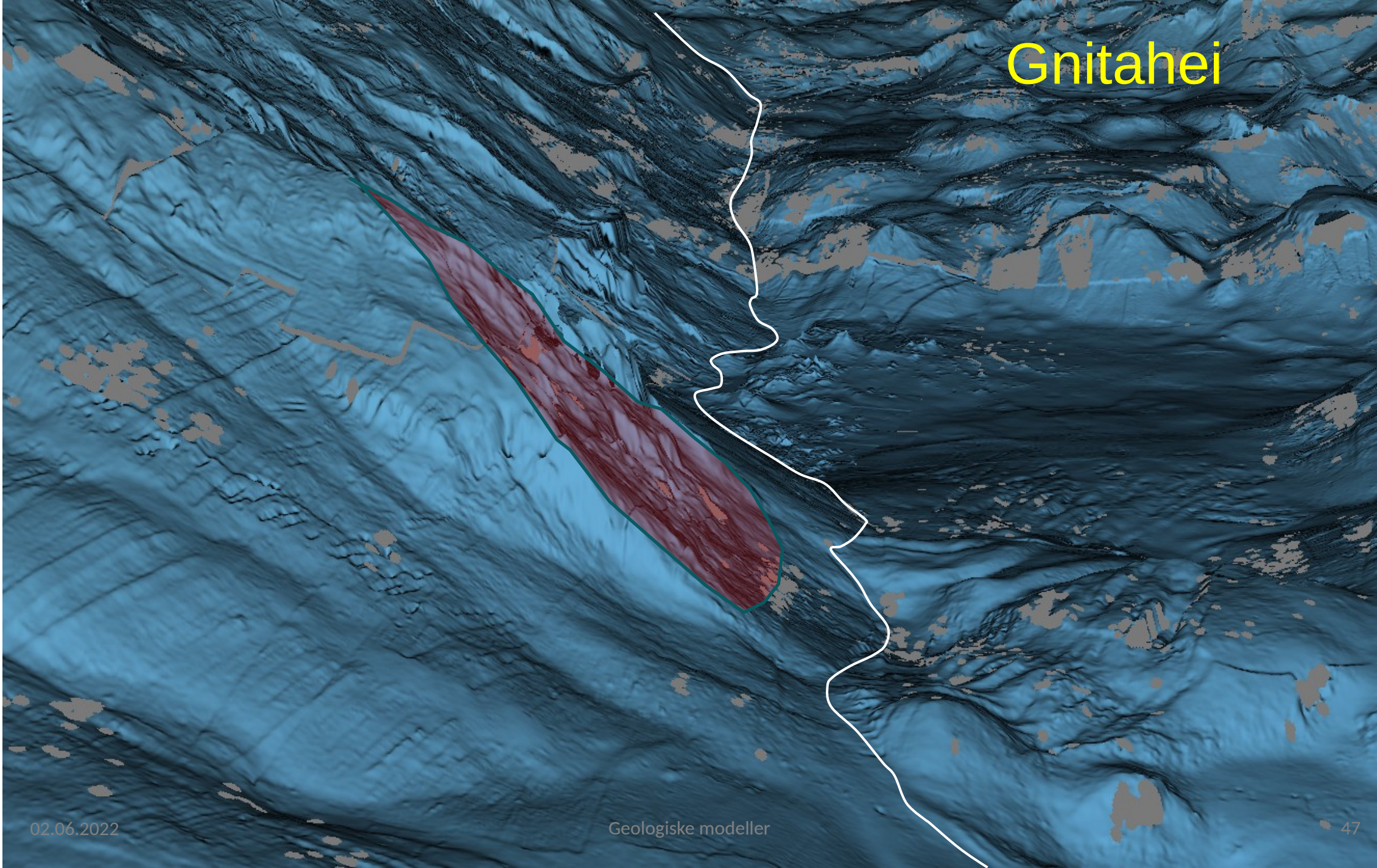
3
2
1



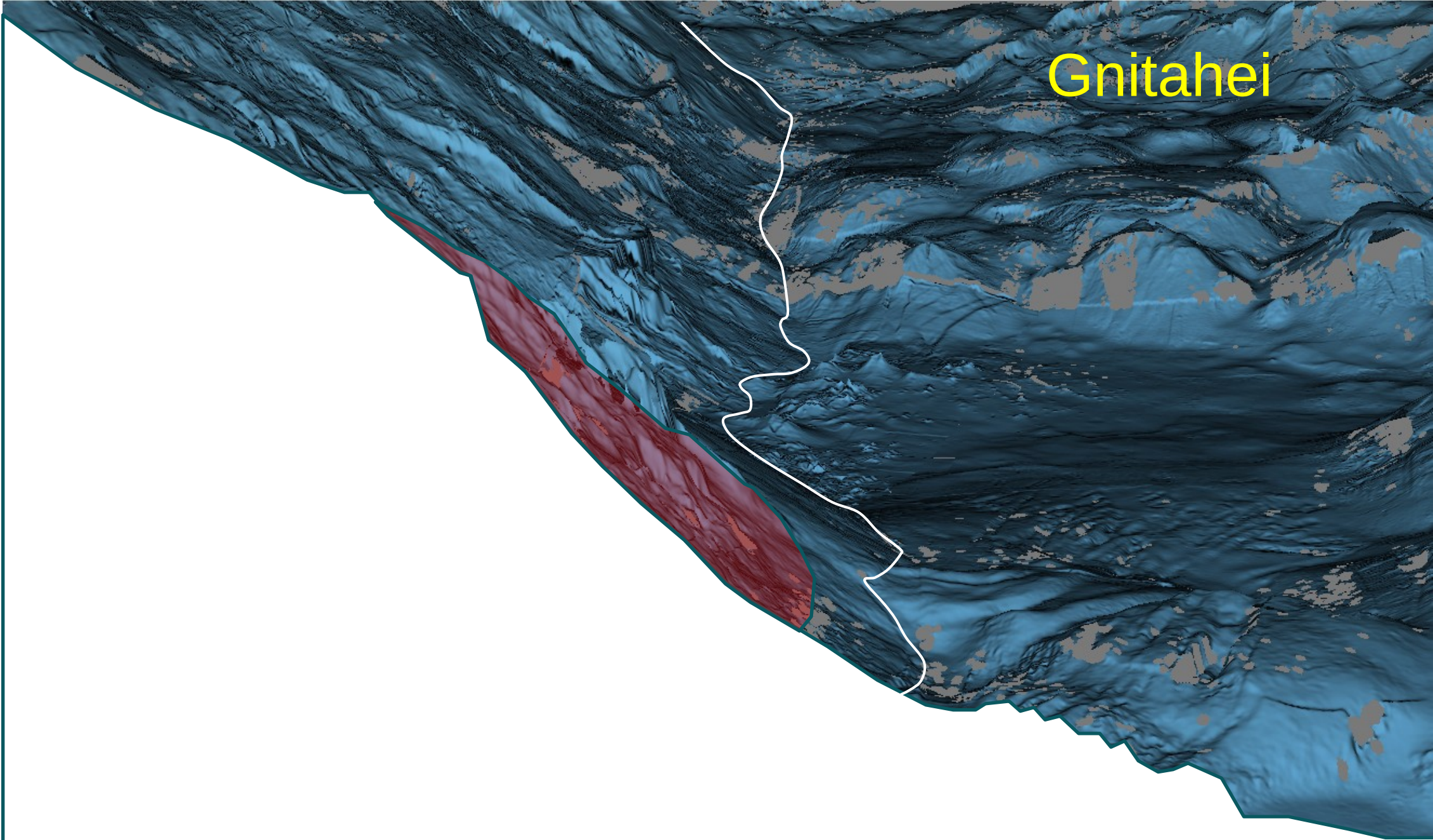
Fåvne



Fåvne



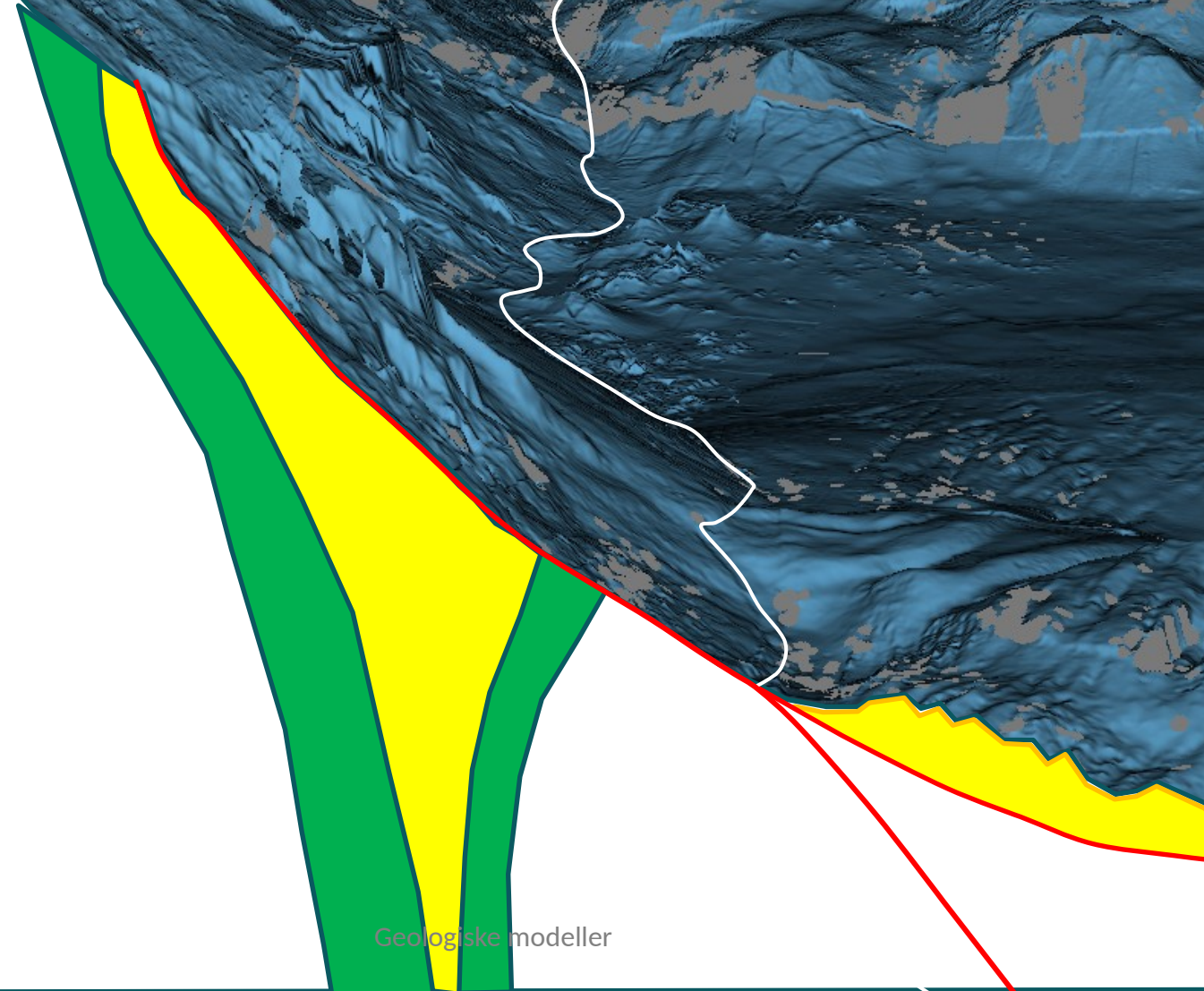
Gnithei



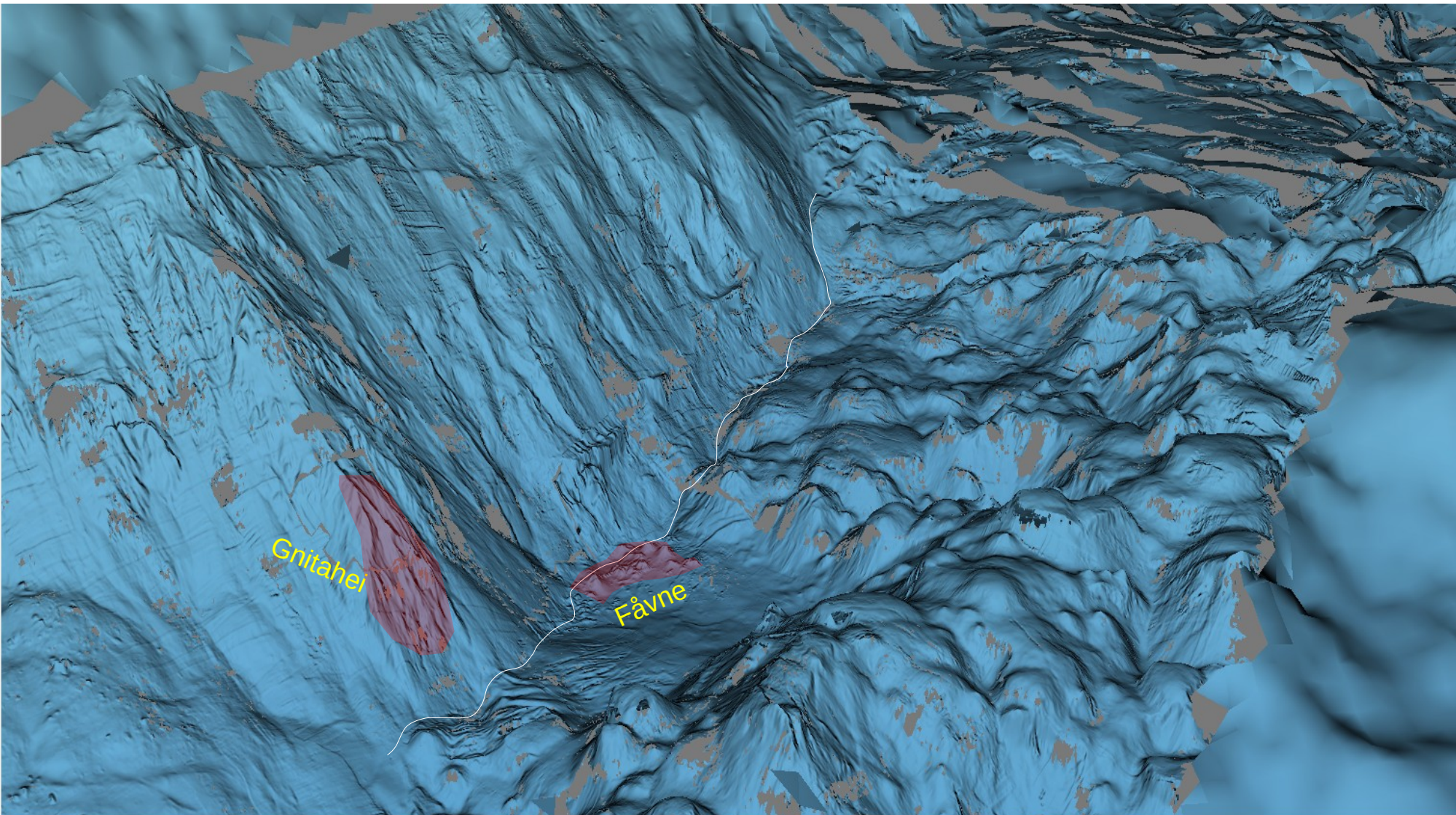
Gnithei

Gnithei

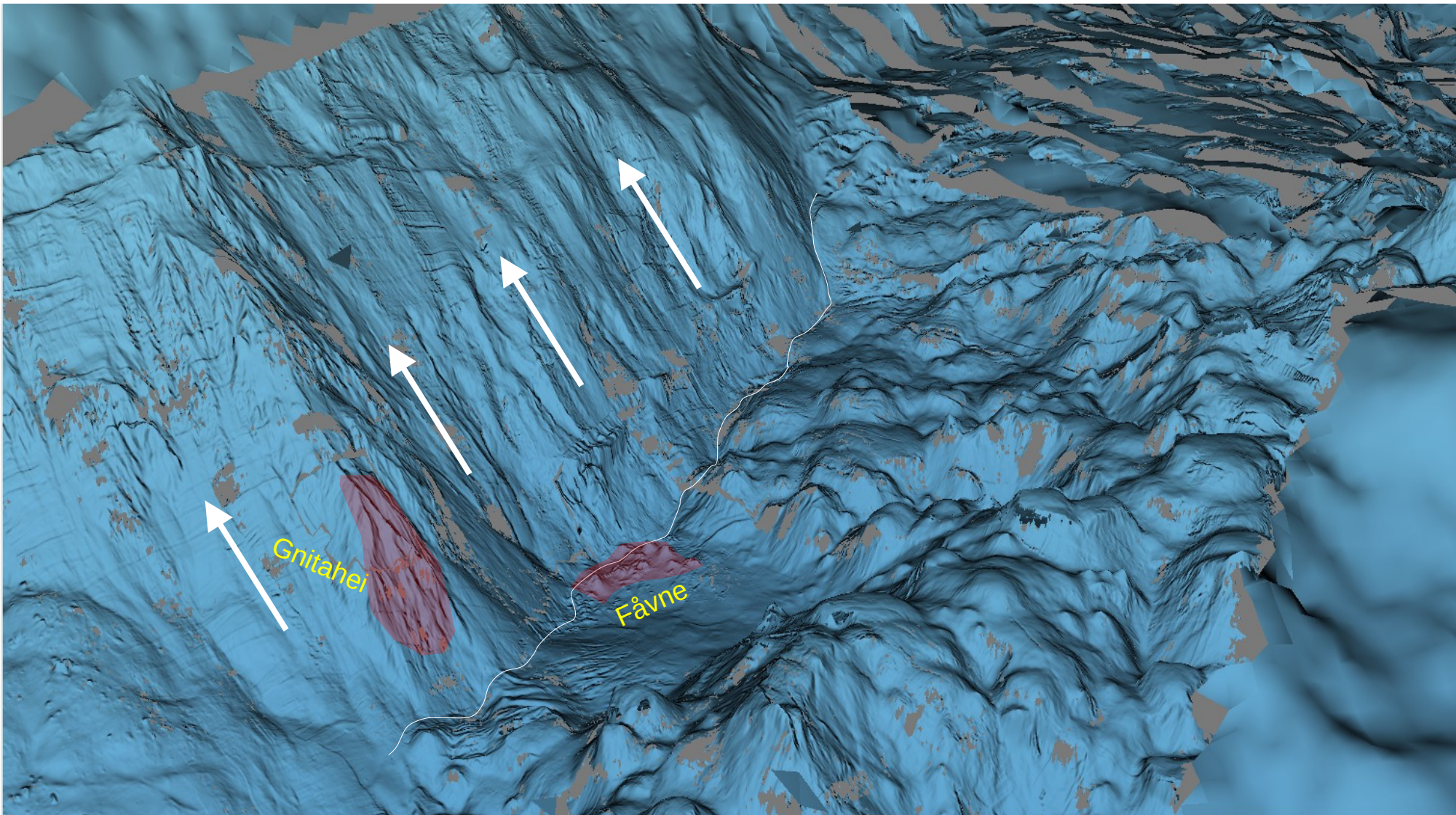
B
C
D



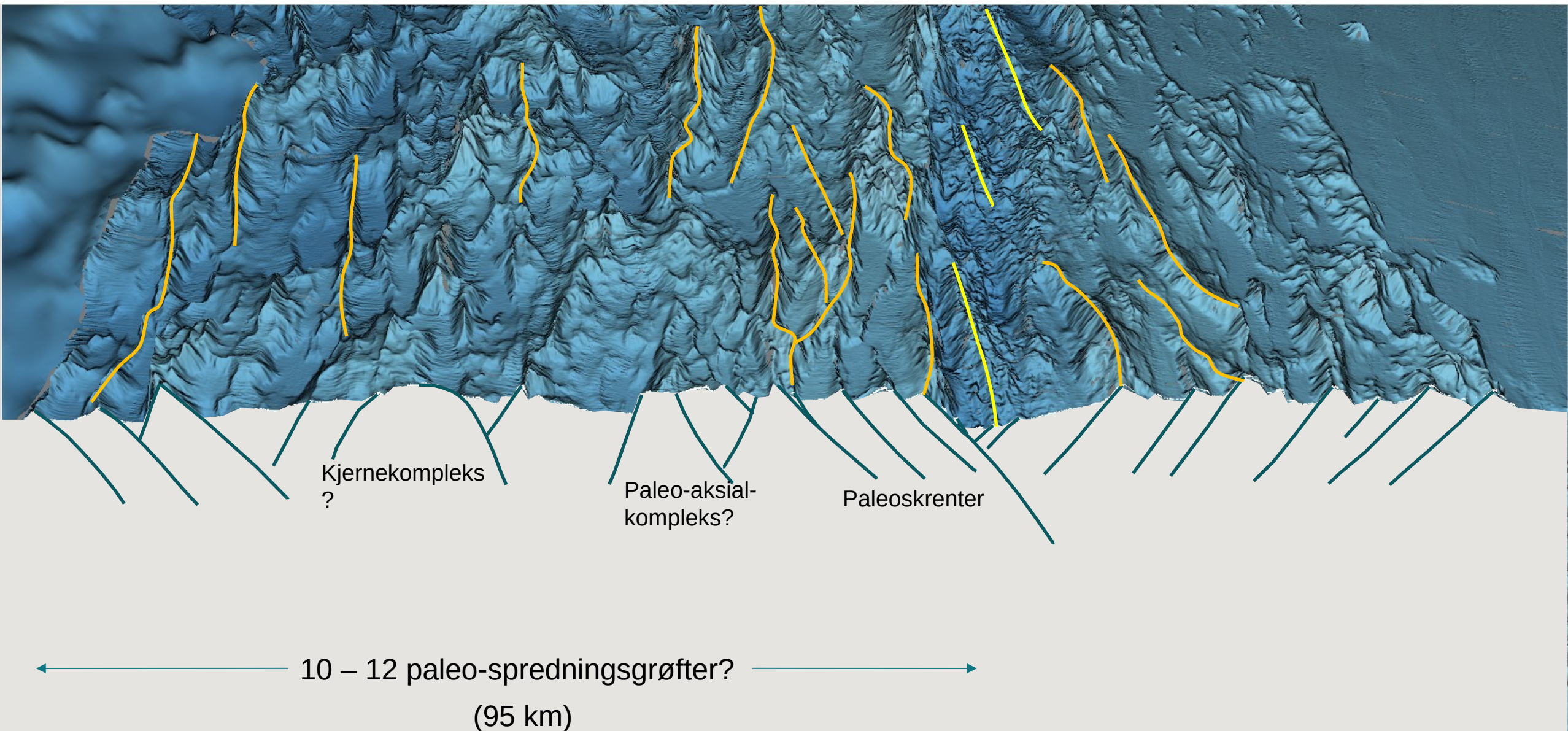
Gnitahei og Fåvne, veien videre



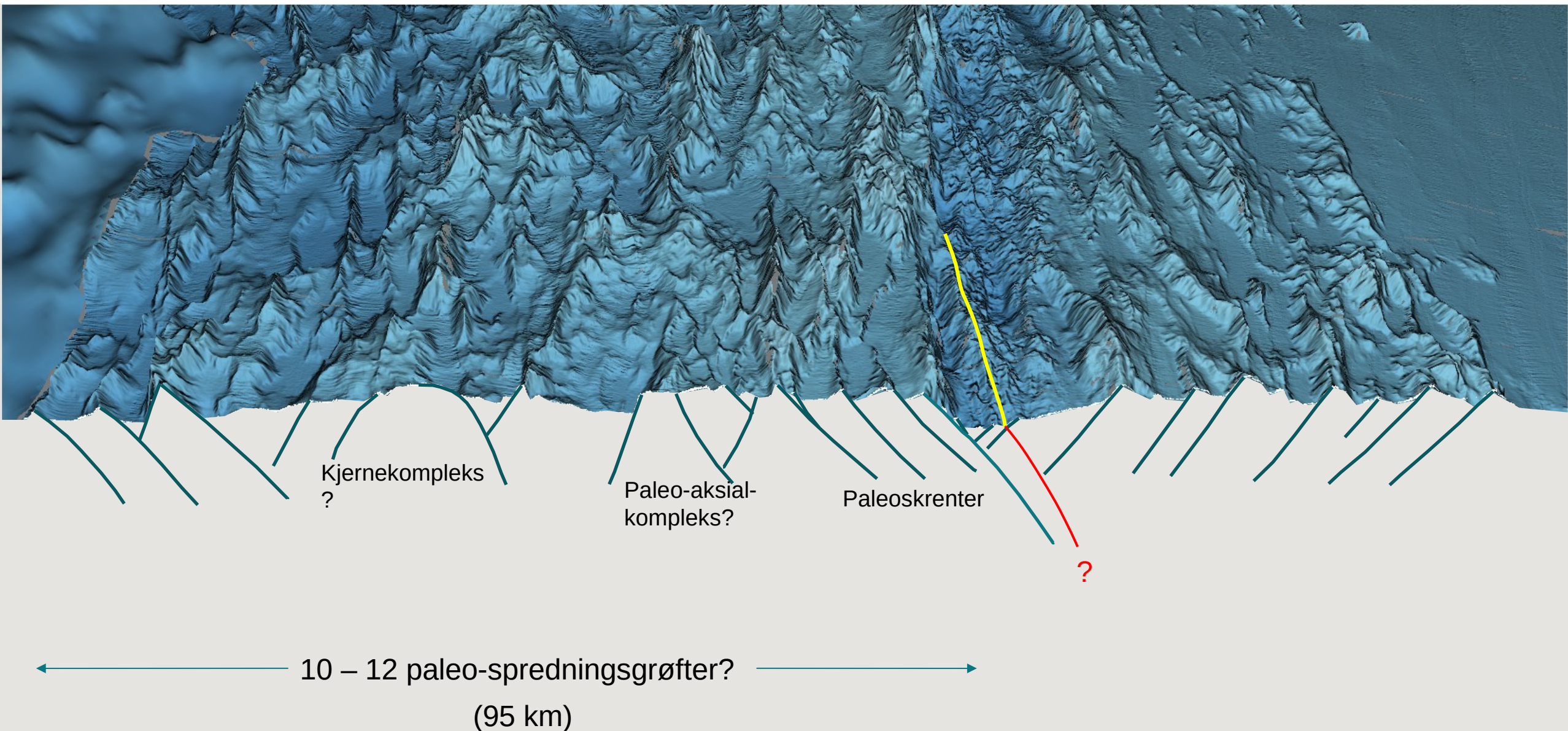
Gnitahei og Fåvne, veien videre



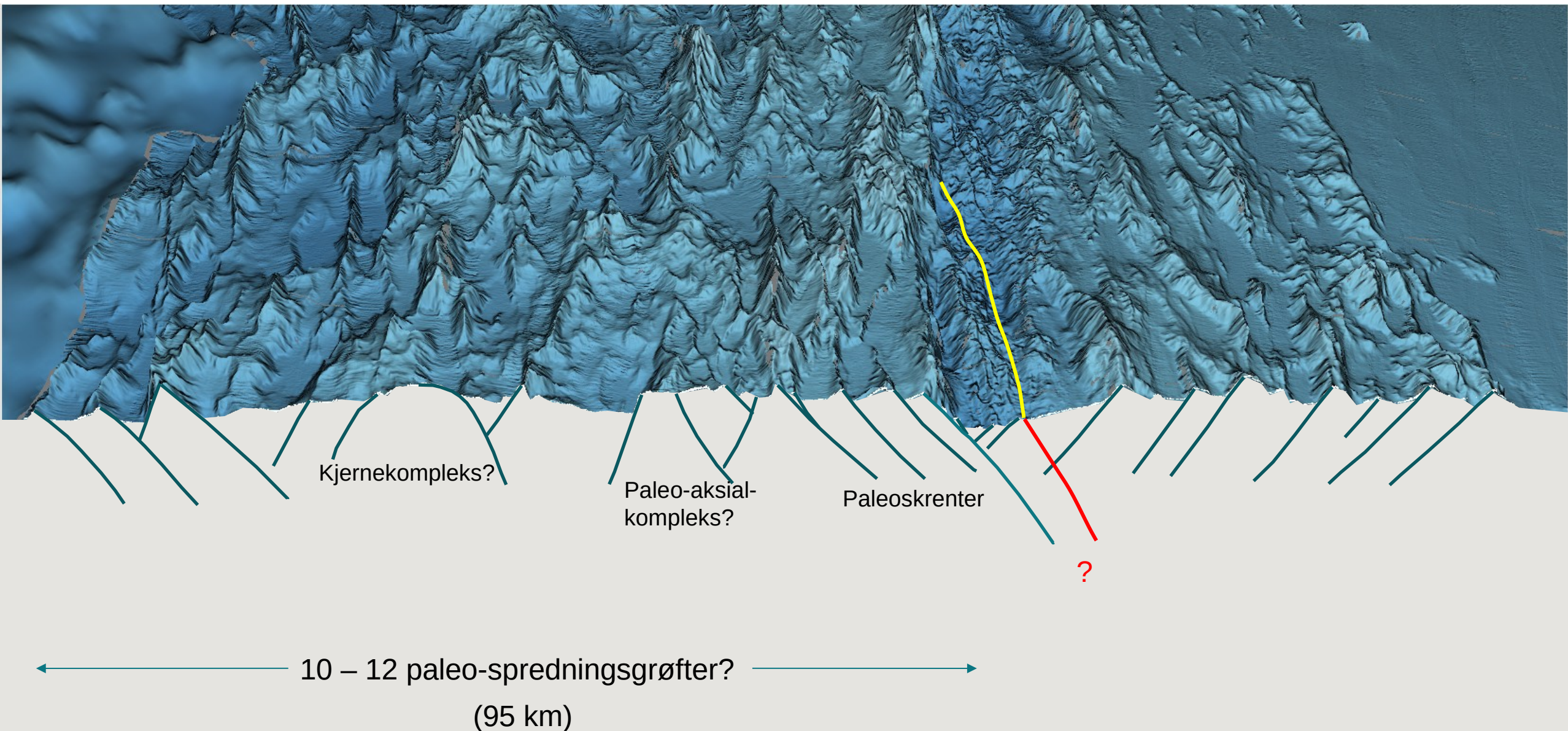
Nordlige Mohnsryggen, snitt



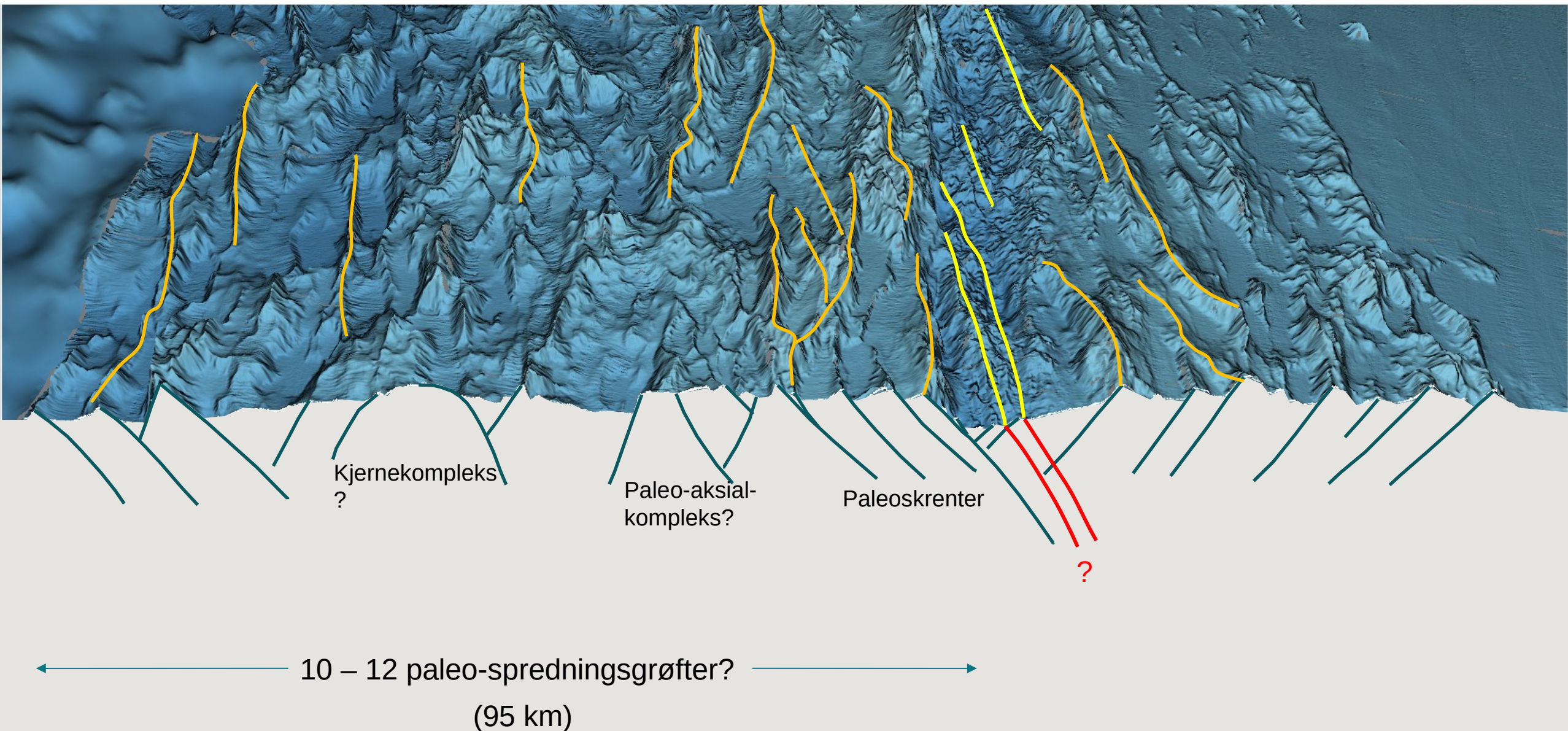
Nordlige Mohnsryggen, snitt



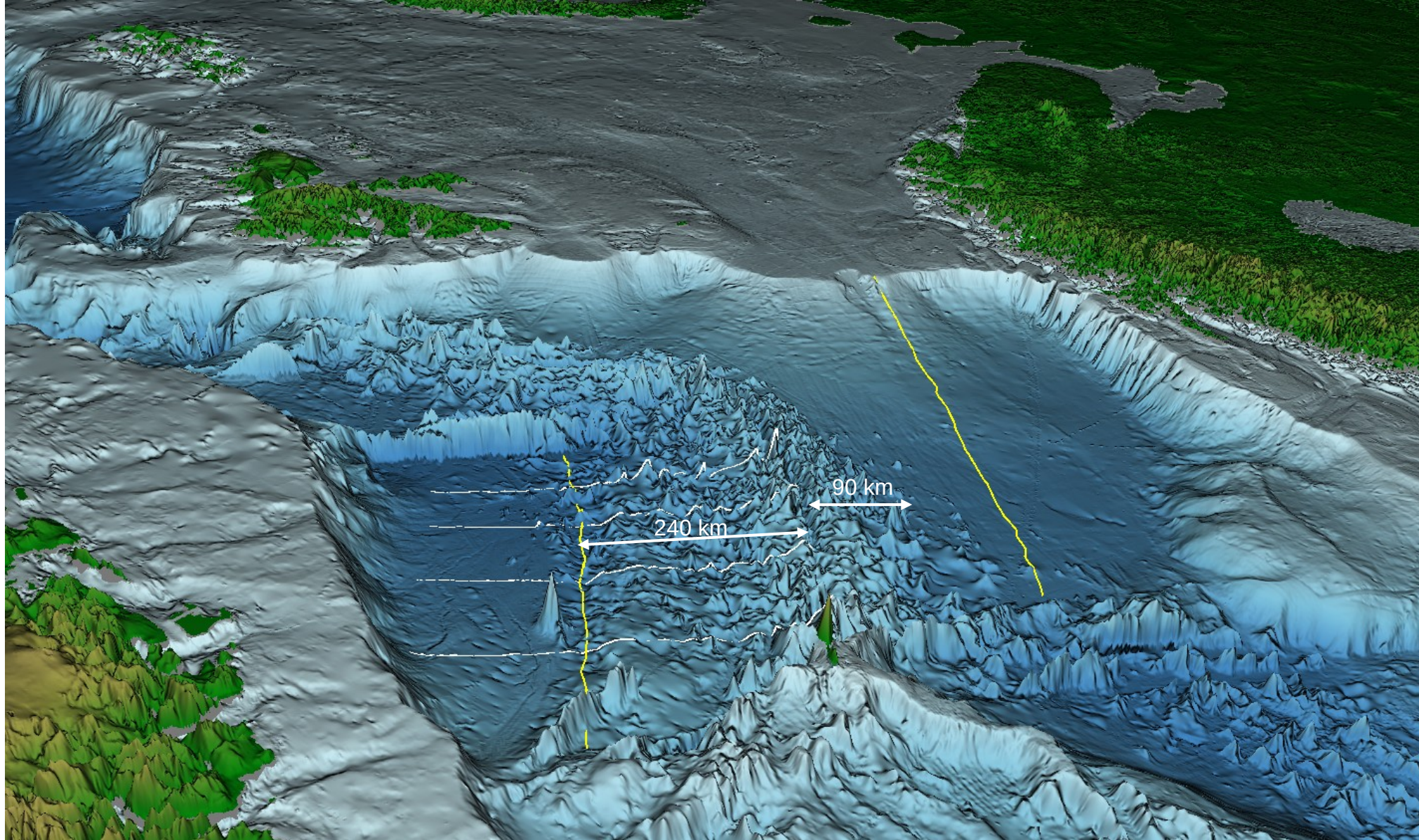
Nordlige Mohnsryggen, snitt



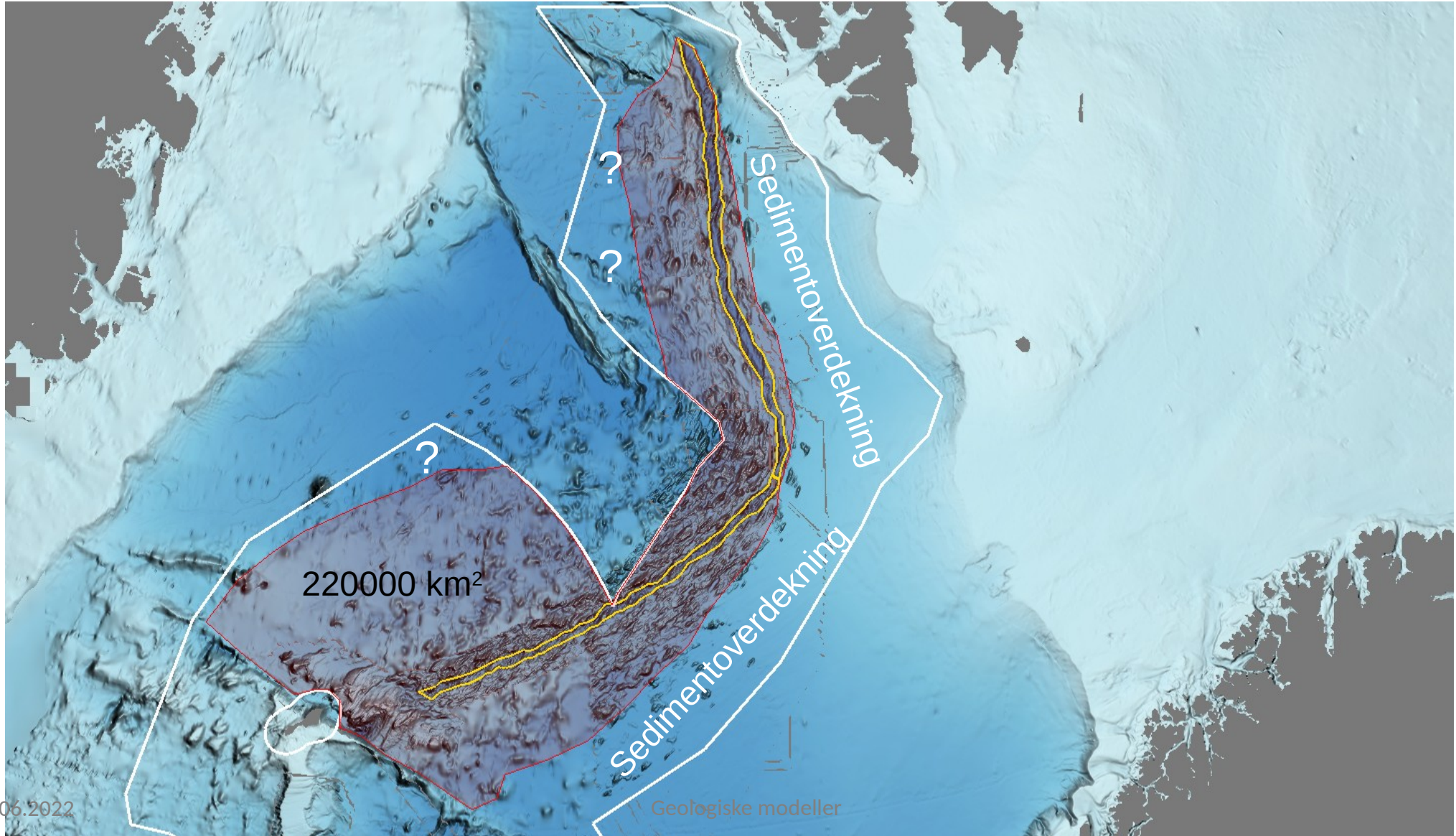
Nordlige Mohnsryggen, snitt



Havbunnstopografi og sulfidforekomster



Områder med mulige sulfidforekomster



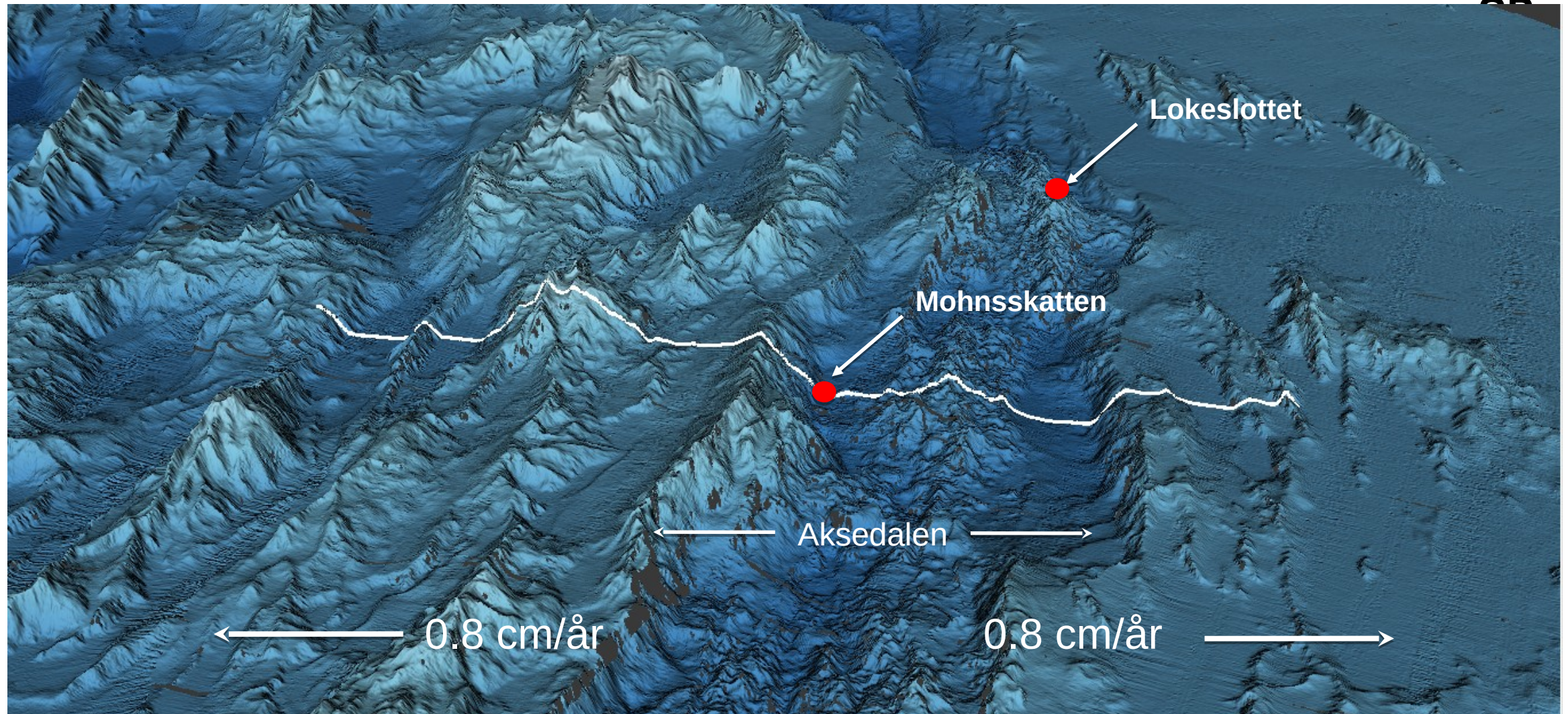
Kort oppsummering

- Mohnsryggen:
 - Går fra intermediære til ultra-sakte spredningshastigheter ved anomali 13 (33 Ma)
 - Spredningshastighet påvirker havbunnstopografi og fordeling av ressurser
 - Nedarvet spredningsakse i dypet; asymmetrisk rifting; spredning skeivt på aksen
 - Dominert av intermediær magmafluks og plane flankeforkastninger; mulige kjernekomplekser påvist
- To grupper med sulfidavsetninger ut fra tektonisk posisjon:
 - Fra hydrotermal aktivitet i aksiale vulkankomplekser
 - Fra hydrotermal aktivitet i grabenskrentene
- Grabenskrentene utsatt for reaktiveringer som kan utløse hydrotermal aktivitet
- Mesteparten av sulfidmineralressursene bevart i paleo-grabenkomplekser utover i flankeområdene
- Sulfidavsetninger i grabenskrentene har antagelig best sjanse for å bli bevart i overflaten

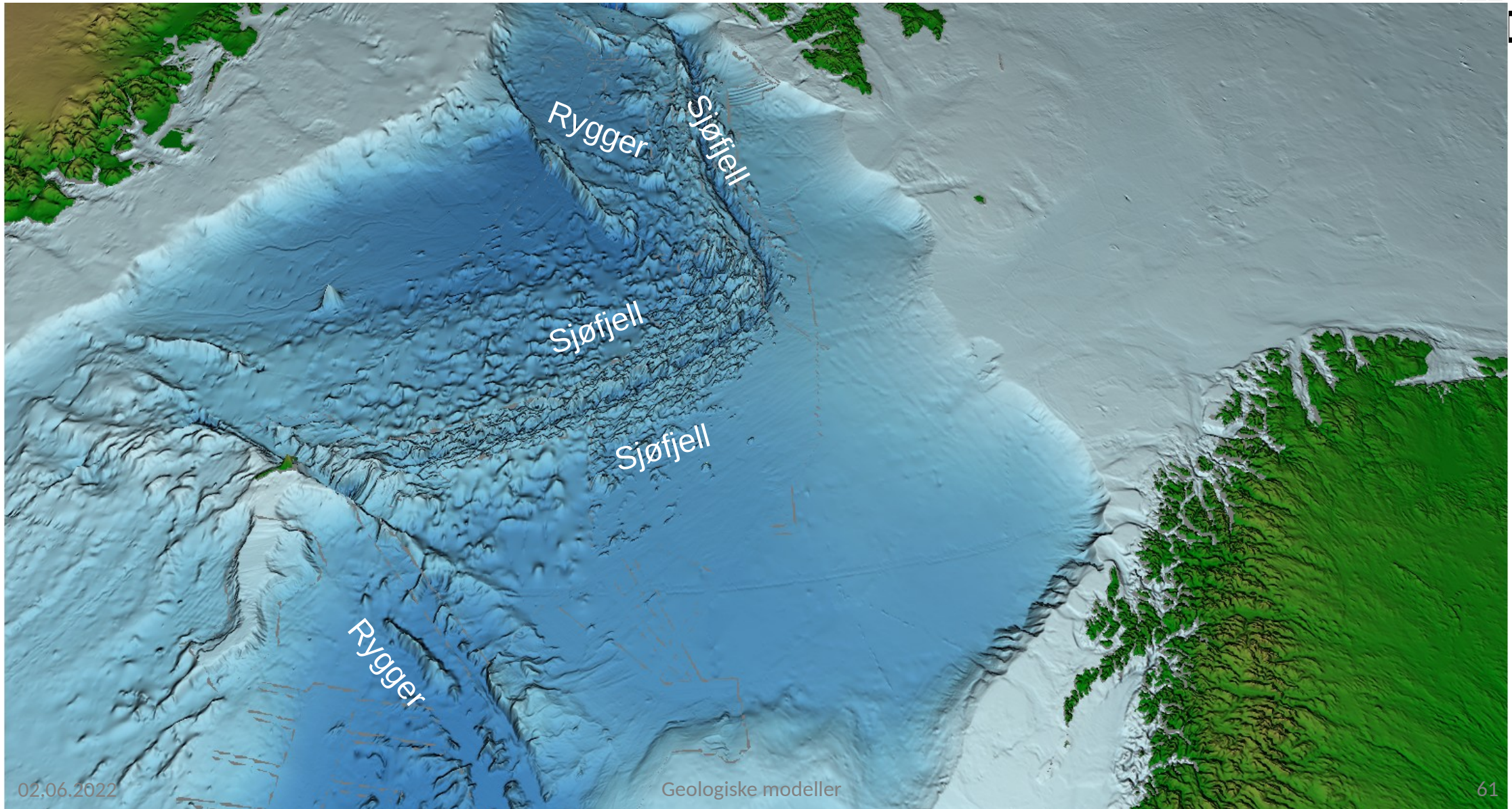


Letemodeller og beregningsparametere

Tektonisk sammenheng - sulfidforekomster



Tektonisk sammenheng - skorpeforekomster



Klassifisering (populasjonskriterier)



- Sulfidforekomster
 - Tektonisk sammenheng (letmodell)
 1. Grabenskrent (flankeforkastning) *Gnithei, Fåvne, Mohnsskatten, Kobberåsen*
 2. Aksialt vulkankompleks *Ægirs kilde, Lokeslottet*
 - Skorpeforekomster
 - Tektonisk sammenheng (letmodell)
 1. Sjøfjell
 2. Undersjøiske rygger

Sentrale kjemiske analyser fra sulfidprøver



Fåvne 2018

Element	Average	MEDIAN	STDV	Max	N
Cu %	4,51	3,72	4,13	14,90	15
Zn %	2,13	0,26	5,50	22,40	15
Co %	0,330	0,404	0,233	0,730	15
Fe %	35,1	37,4	9,4	46,8	15
Ni ppm	5	4	4	18	15
Au ppm	0,37	0,39	0,238	0,737	15
Ag ppm	9,7	4,1	12,4	44,5	15

Gnitahei 2019

Element	Average	MEDIAN	STDV	Max	N
Cu %	0,150	0,070	0,189	0,670	16
Zn %	0,199	0,152	0,194	0,680	16
Co %	0,039	0,024	0,035	0,100	16
Fe %	35,8	42,5	13,1	54,8	16
Ni ppm	32	11	49	207	16
Au ppm	1,07	0,52	1,02	2,19	16
Ag ppm	8	2,35	14	30,6	16

Mohnsskatten 2020

Element	Average	MEDIAN	STDV	Max	N
Cu %	0,91	0,48	1,92	14,30	65
Zn %	2,70	0,13	5,19	24,40	65
Co %	0,014	0,005	0,031	0,140	65
Fe %	21,7	21,7	11,3	49,3	65
Ni ppm	19	9	26	141	65
Au ppm	2,58	1,16	3,62	19,2	65
Ag ppm	64,5	8,25	123,5	548	65

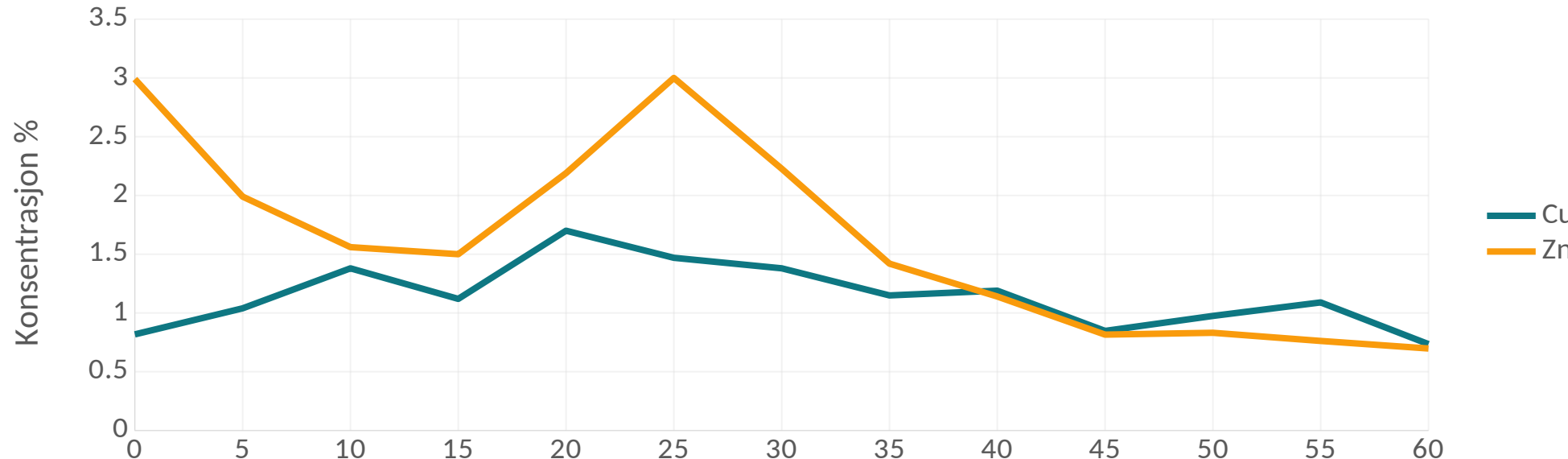
Lokeslottet, Snook et al 2018

Element	Average	MEDIAN	STDV	Max	N
Cu %	0,42	0,135	0,532	2,05	16
Zn %	0,82	0,175	1,762	7,38	16
Co %	0,0003	0,0003	0,0003	0,0012	16
Fe %	4,98	2,1	6,2	21,27	16
Ni ppm	909	1027	660	1998	16
Au ppm	2,8	2,8	1,8	6,3	12
Ag ppm	57,8	20,3	87,1	340	16

Cuttings, Fåvne 7



Sylinder 2





Sulfidforekomster - beregningsparametere

Letemodeller	Parameter	Min	Med	Max
Aksialt vulkankompleks	Forekomst - størrelse			
Grabenskrent (flankeforkastning)	Areal (10^6 m 2)	x	x	x
	Tykkelse (m)	x	x	x
	Volum (10^6 m 3)	x	x	x
	Tetthet malm (tonn/m 3)	x	x	x
	Total masse (10^6 tonn)	x	x	x
	Forekomst - antall			
	Totalt antall forekomster	x	x	x
	Gehalt			
	Cu (% wt)	x	x	x
	Zn (% wt)	x	x	x
	Co (% wt)	x	x	x
	Ag (ppm)	x	x	x
	Au (ppm)	x	x	x

Skorpeforekomster - beregningsparametre

Leteområder	Parameter	Min	Med	Max
Havjell	Forekomst - størrelse			
Rygger	Areal (km ²)	x	x	x
	Tykkelse (m)	x	x	x
	Volum (m ³)	x	x	x
	Tetthet malm (tonn/m ³)	x	x	x
	Total masse (tonn)	x	x	x
	Forekomst - antall			
	Frekvens (forekomst/10000 km ²)	x	x	x
	Modellareal (km ²)	x	x	x
	Totalt antall forekomster	x	x	x
	Gehalt			
	Mn (% wt)	x	x	x
	Ti (% wt)	x	x	x
	Sc (ppm)	x	x	x
	V (ppm)	x	x	x
	ΣREE (ppm)	x	x	x

Ressursevaluering

- Mye analogt med letemodell-metodikk for petroleumsressurser
- Foreløpig to letemodeller for sulfidforekomster og to for skorpeforekomster basert på tektoniske forhold
- Usikkert om entydig sammenheng mellom letemodeller og gehalter - må foreløpig kompenseres med spredning i verdier
- Usikker sammenheng mellom overflateareal og volum - spredning må foreløpig baseres på modeller kalibrert av egne og i stor grad publiserte data
- Data fra forekomster i ofiolitter på land vil være gi verdifull kalibrering av sulfidressursene, men krever kvalitetssikring for å unngå skeive fordelinger